



ISSN 0002-3078

АЗӘРБАЙНАН ССР ЕЛМЛӘР АКАДЕМИЯСЫ
АКАДЕМИЯНАУН АЗЕРБАЙДЖАНСКОЙ ССР

МӘРУЗӘЛӘР ДОКЛАДЫ

том XL чилд

6 • 1984

6 № 6

ДАН Азәрб. ССР публикует краткие сообщения об оригинальных, нигде не публикованных ранее, результатах научных исследований, представленные академиками АН Азәрб. ССР, которые тем самым берут на себя ответственность за научные достоинства представляющей статьи.

В «Докладах» не публикуются крупные статьи, механически разделенные на ряд отдельных сообщений, статьи полемического характера, без новых фактических сообщений, статьи полемического характера, без новых фактических данных, статьи с описанием промежуточных опытов, без определенных выводов и обобщений, чисто методические статьи, если предлагаемый метод не является принципиально новым, а также статьи по систематике растений и животных (за исключением описания особо интересных для науки находок).

Будучи органом срочной информации, журнал «ДАН Азәрб. ССР» принимает и отбирает к печати статьи, объем которых допускает их публикацию в установленные решением Президиума АН Азәрб. ССР сроки.

В связи со всеми перечисленными ограничениями отклонение статьи редакцией «Доклады АН Азәрб. ССР» означает только, что она не согласуется с требованиями и возможностями этого журнала и не исключает ее публикации в других изданиях.

ПРАВИЛА ДЛЯ АВТОРОВ

Редакция журнала «Доклады АН Азәрб. ССР» просит авторов руководствоваться приведенными правилами и надеется, что авторы ознакомятся с ними прежде, чем пришлют статью в редакцию.

Статьи, присланные без соблюдения этих правил, к рассмотрению не принимаются.

1. Статьи, направляемые в редакцию, должны иметь представление члена АН СССР или академика АН Азәрб. ССР, если оно требуется (см. выше).

Статьи с просьбой направить их на представление редакцией не принимаются.

2. Статья публикуется по мере поступления. Единственным поводом для внеочередной публикации является исключительная важность сообщения и соображения приоритета. Для этого необходимо специальное решение редакции.

3. Как правило, редакция направляет представленные статьи на рецензию.

4. «Доклады» помещают не более трех статей одного автора в год. Это правило не распространяется на членов АН СССР, академиков Академии наук Азәрб. ССР.

5. Авторы должны определить раздел, в который следует поместить статью, а также дать индекс статьи по Универсальной десятичной классификации (УДК). К статье прилагается отпечатанный на машинке реферат в двух экземплярах, предназначенный для передачи в один из реферативных журналов ВИНИТИ.

6. В конце статьи нужно указать полное название учреждения, в котором выполнено исследование, фамилии всех авторов а также полный почтовый адрес и номер телефона (служебный и домашний) каждого соавтора.

Кроме того, авторский коллектив должен указать лицо, с которым редакция будет вести переговоры и переписку.

7. Возвращение рукописи автору на доработку не означает, что статья принята к печати. После получения доработанного текста рукопись вновь рассматривается редакцией. Доработанный текст автор должен вернуть вместе с первоначальным экземпляром статьи, а также ответом на все замечания. Датой поступления считается день получения редакцией окончательного варианта статьи.

8. В «Докладах» публикуются статьи, занимающие не более $\frac{1}{4}$ авторского листа (6 страниц машинописи). В этот объем входят текст, таблицы, библиография (не больше 15 источников), и рисунки, число которых не должно превышать четырех, включая и обозначения «а», «б» и т. д. в том числе вклейки на мелованной бумаге. Вклейки даются только для микрофотографий большого увеличения. Штриховые рисунки (карты, схемы и т. п.) на вклейках не печатаются, а даются на кальке. Текст и графический материал представляются в двух экземплярах. Повторение одних и тех же данных в тексте, таблицах и графиках недопустимо. Рисунки должны быть выполнены четко, в формате, обеспечивающем ясность передачи всех деталей. Фотографии представляются на глянцевой бумаге. Подписи к рисункам должны быть напечатаны в 2-х экземплярах через два интервала на отдельной странице. На обороте рисунков мягким карандашом указываются фамилии авторов, название статьи и номер рисунка.

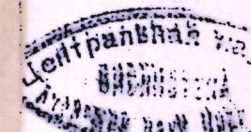
(Продолжение на третьей странице обложки)

МӘРҮЗӘЛӘР

ДОКЛАДЫ

ТОМ XL ЧИЛД

№ 6



РЕДАКЦИОННАЯ КОЛЛЕГИЯ:

Э. Ю. Салаев (главный редактор), Г. Б. Абдуллаев, М. Т. Абасов,
 Ал. А. Ализаде (зам. главного редактора), В. С. Алиев, Г. А. Алиев,
 Дж. А. Алиев, И. Г. Алиев, Дж. Б. Гулиев, И. А. Гулиев,
 М. З. Джабаров, Ф. Г. Максудов, А. А. Надиров,
 Ю. М. Сейдов (зам. главного редактора),
 М. А. Усейнов, Г. Г. Зейналов (ответств. секретарь).

УДК 517.97+519.2

МАТЕМАТИКА

Член-корр. АН Азерб. ССР Дж. Э. АЛЛАХВЕРДИЕВ, А. Э. БАШИРОВ

О ДВОЙСТВЕННОСТИ МЕЖДУ ЗАДАЧАМИ УПРАВЛЕНИЯ
И ИНТЕРПОЛЯЦИИ

Существует известная двойственность между линейно-квадратичной задачей управления с независимыми помехами и задачей фильтрации [1]. В настоящей статье показано, что если помехи в линейно-квадратичной задаче управления зависимы, то такая задача двойственна с задачей интерполяции.

Рассмотрим

$$\xi(t) = S(t, 0)\xi_0 + \int_0^t S(t, s)\Phi(s)d\varphi(s), t \geq 0, \quad (1)$$

$$\eta(t) = \int_0^t B(s)\xi(s)ds + \int_0^t \Psi(s)d\psi(s), t \geq 0, \quad (2)$$

где S —эволюционный оператор, B , Φ , Ψ —операторные коэффициенты, ξ_0 —случайная величина с ковариационным оператором $\text{cov } \xi_0 = Q_0$, φ , ψ —случайные процессы с $\text{cov } \varphi(t) = tW$, $\text{cov } \psi(t) = tV$, ξ_0 , φ , ψ —взаимно независимы. Задачей линейного оценивания называется нахождение наилучшей (в среднеквадратическом смысле) линейной оценки $\hat{\xi}(t; T)$ состояния $\xi(t)$ относительно наблюдений $\eta(s)$, $0 < s < T$. В случае $t < T$ эта задача называется задачей линейной интерполяции, а в случае $t = T$ —задачей линейной фильтрации. Известно, что при некоторых условиях решение задачи линейной интерполяции (1)–(2) имеет вид (см. [2]).

$$\begin{aligned} \hat{\xi}(t; T) = & \int_0^t U(t, s)Q(s)B^*(s)G^{-1}(s)d\eta(s) + \\ & + Q(t) \int_t^T U^*(s, t)B^*(s)G^{-1}(s)d\gamma(s), \end{aligned} \quad (3)$$

где B^* —сопряженный оператору B , $F(t) = \Phi(t)W\Phi^*(t)$, $G(t) = \Psi(t)V\Psi^*(t)$,

$$d\gamma(t) = d\eta(t) - B(t)\hat{\xi}(t; t)dt, \quad (4)$$

$$\hat{\xi}(t; t) = \int_0^t U(t, s)Q(s)B^*(s)G^{-1}(s)d\eta(s), \quad (5)$$

 Q —решение уравнения Риккати

$$Q(t) = U(t, 0)Q_0U^*(t, 0) +$$

$$+ \int_0^t U(t, s) [F(s) + Q(s) B^*(s) G^{-1}(s) B(s) Q(s)] U^*(t, s) ds, \quad (6)$$

U —возмущенный эволюционный оператор:

$$U(t, s) = S(t, s) - \int_s^t U(t, r) Q(r) B^*(r) G^{-1}(r) B(r) S(r, s) dr, \quad (7)$$

Обозначим

$$\begin{aligned} \tilde{S}(t, s) &= S^*(T-s, T-t), \quad \tilde{B}(t) = B^*(T-t), \quad \tilde{F}(t) = F(T-t), \\ \tilde{G}(t) &= G(T-t) \end{aligned} \quad (8)$$

и рассмотрим задачу стохастического оптимального управления

$$x(t) = \int_0^t \tilde{S}(t, s) \tilde{B}(s) u(s) ds + \int_0^t \tilde{S}(t, s) \Lambda(s) d\lambda(s), \quad 0 < t < T, \quad (9)$$

$$z(t) = \int_0^t C(s) x(s) ds + v(t), \quad 0 < t < T, \quad (10)$$

$$\begin{aligned} I(u) = M \left\{ \int_0^T [< u(t), \tilde{G}(t) u(t) > + < x(t), \tilde{F}(t) x(t) >] dt + \right. \\ \left. + < x(T), Q_0 x(T) > \right\}, \quad (11) \end{aligned}$$

где Λ и C —операторные коэффициенты, λ и v —случайные процессы, $M[\cdot]$ —математическое ожидание, $<\cdot, \cdot>$ —скалярное произведение. Множество допустимых управлений определим, как в [3]. Показано, что при некоторых условиях, допускающих зависимость случайных процессов λ и v , оптимальное управление \hat{u} в задаче управления (9)–(11) имеет следующий вид обратной связи (см. [3]):

$$\begin{aligned} \hat{u}(t) = - \tilde{G}^{-1}(t) \tilde{B}^*(t) \tilde{Q}(t) M^{\frac{1}{2}t} \{ \hat{x}(t) \} - \\ - \tilde{G}^{-1}(t) \tilde{B}^*(t) M^{\frac{1}{2}t} \left\{ \int_t^T \tilde{U}^*(s, t) \tilde{Q}(s) \Lambda(s) d\lambda(s) \right\}, \quad (12) \end{aligned}$$

где \hat{x} —состояние, соответствующее оптимальному управлению \hat{u} , $M^{\frac{1}{2}t}[\cdot]$ —условное математическое ожидание относительно наблюдений до момента t , соответствующих оптимальному управлению \hat{u} , \tilde{Q} —решение уравнения Риккати

$$\begin{aligned} \tilde{Q}(t) = \tilde{U}^*(T, t) Q_0 \tilde{U}(T, t) + \int_0^T \tilde{U}^*(s, t) [\tilde{F}(s) + \\ + \tilde{Q}(s) \tilde{B}(s) \tilde{G}^{-1}(s) \tilde{B}^*(s) \tilde{Q}(s)] \tilde{U}(s, t) ds, \quad (13) \end{aligned}$$

\tilde{U} —возмущенный эволюционный оператор:

$$\tilde{U}(t, s) = \tilde{S}(t, s) - \int_s^t \tilde{S}(t, r) \tilde{B}(r) \tilde{G}^{-1}(r) \tilde{B}^*(r) \tilde{Q}(r) \tilde{U}(r, s) dr. \quad (14)$$

Обозначим

$$d\alpha(t) = \Lambda(t) d\lambda(t), \quad (15)$$

$$d\beta(t) = d\alpha(t) + \tilde{B}(t) \hat{y}(t) dt, \quad (16)$$

$$\hat{y}(t) = - \tilde{G}^{-1}(t) \tilde{B}^*(t) M^{\frac{1}{2}t} \left\{ \int_t^T \tilde{U}^*(s, t) \tilde{Q}(s) d\alpha(s) \right\}. \quad (17)$$

Тогда с помощью (9) и (14)–(12) можно расписать в виде

$$\begin{aligned} \hat{u}(t) = - \tilde{G}^{-1}(t) \tilde{B}^*(t) \tilde{Q}(t) M^{\frac{1}{2}t} \left\{ \int_0^t \tilde{U}(t, s) d\beta(s) \right\} - \\ - \tilde{G}^{-1}(t) \tilde{B}^*(t) M^{\frac{1}{2}t} \left\{ \int_t^T \tilde{U}^*(s, t) \tilde{Q}(s) d\alpha(s) \right\}. \quad (18) \end{aligned}$$

Далее из (8) следует, что решения уравнений (6), (7) и (13), (14) связаны между собой следующим образом:

$$\tilde{U}(t, s) = U^*(T-s, T-t), \quad \tilde{Q}(t) = Q(T-t). \quad (19)$$

Обозначим

$$M(t, s) = U(t, s) Q(s) B^*(s) G^{-1}(s), \quad (20)$$

$$N(t, s) = Q(t) U^*(s, t) B^*(s) G^{-1}(s). \quad (21)$$

Тогда с помощью (20), (21) и с учетом (8), (19) выражения (3) и (18) можно расписать соответственно в виде

$$\hat{\epsilon}(t; T) = \int_0^t M(t, s) d\eta(s) + \int_t^T N(t, s) d\gamma(s), \quad (22)$$

$$\hat{u}(t) = - M^{\frac{1}{2}t} \left\{ \int_0^t M^*(T-s, T-t) d\beta(s) + \int_0^T N^*(T-s, T-t) d\alpha(s) \right\}. \quad (23)$$

Формулы (22) и (23) выражают двойственность между задачами интерполяции и управления: если коэффициенты, входящие в задачи (1)–(2) и (9)–(11), связаны между собой, как в (8), то коэффициенты при решениях этих задач связаны подобным же образом. Переход из одних коэффициентов в другие получается следующими операциями: а) обращением времени, б) сопряжением, в) соответствующей перестановкой. Наконец, отметим, что двойственность наблюдениям η и обновляющему процессу γ (см. (4)) ставит в соответствие случайные процессы β (16) и α (см. (15)) соответственно, а линейному оптимальному фильтру $\hat{\epsilon}(t; t)$ (см. (5)) соответствует $\hat{y}(t)$ (см. (17)).

Литература

- Браммер К., Зифлинг Г. Фильтр Калмана—Бьюси. М.: Наука, 1982.
- Curtain R. F. SIAM J. Contr. Optim., 14, 1976, № 6, 114–1150. З. Баширов А. Э. Автореф. канд. дисс. Киев, 1980.

Ч. Е. Аллахвердиев, А. Э. Бэширов
ИДАРӨЕТМӘ ВӘ ИНТЕРПОЛЯСИЈА МЭСЭЛӘЛӘРИНИИ ГОШМА
ОЛМАСЫ НАГГЫНДА

Мәгәләдә асылы тәсадүфи һәјәчәнләнмәја мә'рүз галмыш хәтти квадратик идарә. етмә мәсәләси илә интерполясија мәсәләсинин гошма олмасындан бәһс едилir.

Dj. E. Allahverdiyev, A. E. Bashirov

ON DUALITY BETWEEN CONTROL AND SMOOTHING PROBLEMS

It is shown that there exists duality between the linear quadratic cost control problem with the dependent noises and the smoothing problem.

АЗӘРБАЙЧАН ССР ЕЛМЛӘР АКАДЕМИЈАСЫНЫН МӘРҮЗӘЛӘРИ

ДОКЛАДЫ АКАДЕМИИ НАУК АЗЕРБАЙДЖАНСКОЙ ССР

ТОМ XL ЧИЛД

№ 6

1984

УДК 513.83

МАТЕМАТИКА

В. Ш. ЮСУФОВ

ПОЛУГРУППЫ ГОМЕОМОРФНЫХ ОТОБРАЖЕНИЙ
БИКОМПАКТОВ

(Представлено академиком АН Азербайджанской ССР Ф. Г. Максудовым)

Характеризуемость компактов с непустой внутренностью конечномерных евклидовых пространств различными их полугруппами гомеоморфных преобразований (отображений в себя) рассмотрена в [1–3]. В настоящей статье посредством полугрупп гомеоморфных преобразований изучаются бикомпакты некоторых подклассов класса всех бикомпактов.

Пусть X —бикомпакт, содержащий такое открытое подпространство Ω_X , что для любых двух точек $\xi, \eta \in \Omega_X$ и каждой окрестности V_ξ точки ξ существует гомеоморфизм a пространства X в себя с условием, что $aX \subseteq V_\xi$, $a\eta = \xi$ и множество $a\Omega_X$ открыто в X . Обозначим класс всех таких бикомпактов через P . Далее, пусть X —нульмерный бикомпакт, такой, что для любых двух точек $\xi, \eta \in X$ и каждой окрестности V_ξ точки ξ существует открытый гомеоморфизм a пространства X в себя с условием, что $aX \subseteq V_\xi$, $a\eta = \xi$. Обозначим класс всех таких нуль-мерных бикомпактов через P' . Ясно, что обобщенные канторовы дисконтиныумы D^τ бесконечного веса принадлежат классу P' . Очевидно, что $P' \subset P$. Легко также видеть, что компакты с непустой внутренностью конечномерных евклидовых пространств принадлежат классу P .

Пусть $X \in P$ и a —такой гомеоморфизм X в Ω_X , что множество $a\Omega_X$ открыто. Обозначим множество всех таких гомеоморфизмов через $H(\Omega_X)$. Пусть $\{K_i\}_{i \in I}$ —система бикомпактов, содержащихся в Ω_X с условием, что $\bigcup_{i \in I} \text{Int } K_i = \Omega_X$. Через $H_{\{K_i\}}(\Omega_X)$ обозначим полугруппу,

состоящую из всех таких $a \in H(\Omega_X)$, что $aX \subseteq K_{i_a}$, где $i_a \in I$. Пусть теперь a —такой гомеоморфизм X в X , что $a\Omega_X \subseteq \Omega_X$ и множество $a\Omega_X$ открыто. Обозначим множество всех таких гомеоморфизмов через $H_X(\Omega_X)$, а через D_{Ω_X} обозначим подполугруппу полугруппы $H_X(\Omega_X)$ с условием, что $H_{\{K_i\}}(\Omega_X) \subseteq D_{\Omega_X} \subseteq H_X(\Omega_X)$. Для пространства $Y \in P$ вводятся аналогичные полугруппы $H(\Omega_Y)$, $H_{\{K_j\}}(\Omega_Y)$, где $\bigcup_{j \in J} \text{Int } K_j = \Omega_Y$,

$H_Y(\Omega_Y)$, D_{Ω_Y} .

5
7

Теорема 1. Если полугруппы D_{Ω_X} и D_{Ω_Y} изоморфны, то подпространства Ω_X и Ω_Y гомеоморфны.

Как следствие теоремы 1 получим следующую теорему:

Теорема 2. Если $X, Y \in P$ и полугруппы D_{Ω_X} и D_{Ω_Y} изоморфны, то топологические ранги пространств X и Y одинаковы.

Следствие 1. Обозначим через $\times(Z)$ такое кардинальнозначное топологическое свойство, что если Z — замкнутое подмножество Z , то $\times(Z') < \times(Z)$. Тогда если $X, Y \in P$ и полугруппы D_{Ω_X} и D_{Ω_Y} изоморфны, то $\times(X) = \times(Y)$.

Следствие 2. Обозначим через ρ топологическое свойство, которое наследственно по замкнутым подмножествам. Пусть $X \in P$ и обладает свойством ρ . Тогда, если $Y \in P$ и полугруппы D_{Ω_X} и D_{Ω_Y} изоморфны, то и Y обладает свойством ρ .

Предложение 1. Если $X \in P$ и не является пространством, состоящим только из одной точки, то $|X| \geq c$.

Предложение 2. Если $|X| > 1$, то $|D_{\Omega_X}| \geq c$.

Предложение 3. Пусть $X \in P$ и Y — такое бикомпактное подпространство X , что $\text{Int}_X(Y \cap \Omega_X) \neq \emptyset$, тогда $Y \in P$.

Предложение 4. Тихоновское произведение X семейства бикомпактов $\{X_\alpha \in P\}_{\alpha \in A}$ принадлежит классу P , если все сомножители X_α , за исключением конечного их числа, являются нульмерными бикомпактами класса P' .

Пусть X — локально-бикомпактное хаусдорфово пространство, удовлетворяющее следующему условию:

а) для любых точек $\xi, \eta \in X$ и каждой окрестности V_ξ точки ξ существует открытый гомеоморфизм a пространства X , такой, что $aX \subseteq V_\xi$, $a\eta = \xi$. Обозначим класс всех таких пространств через R' .

Предложение 5. Пусть $X \in R'$ и Y — бикомпактное подпространство X , такое, что $\text{Int}_X Y \neq \emptyset$. Тогда $Y \in P$. Наоборот, каждый бикомпакт Y класса P гомеоморфен бикомпакту с непустой внутренностью некоторого пространства X класса R' .

Пусть $X \in P$ и удовлетворяет следующему условию:

б) Для каждого бикомпакта $K \subseteq \Omega_X$ и произвольной точки $\xi \in \Omega_X \setminus K$ существуют гомеоморфизмы a, b пространства X в себя, такие, что $a\Omega_X \subseteq \Omega_X$, $b\Omega_X \subseteq \Omega_X$, множества $a\Omega_X$ и $b\Omega_X$ открыты в X , $a\eta = b\eta$, когда $\eta \in K$, но $a\xi \neq b\xi$. Обозначим класс всех таких бикомпактов через P .

Обобщенные канторовы дисконтины L бесконечного веса \mathbb{N}_0 и компакты с непустой внутренностью конечномерных евклидовых пространств принадлежат классу P .

Предложение 6. Пусть $X \in P$ и Y — такое бикомпактное подпространство X , что $\text{Int}_X(Y \cap \Omega_X) \neq \emptyset$. Тогда $Y \in P$.

Пусть $X \in P$ и удовлетворяет следующему условию:

в) Для каждой точки $\xi \in \Omega_X$ и каждой окрестности V_ξ точки ξ найдутся окрестность \bar{V}_ξ и гомеоморфизм a с областью определения \bar{V}_ξ , такие, что $\bar{V}_\xi \subseteq \Omega_X \cap V_\xi$, $a\bar{V}_\xi = \bar{V}_\xi$, $a\xi \neq \xi$, но $a\eta = \eta$, когда $\eta \in \text{Fr } V_\xi$. Если $X \in P$ и удовлетворяет условию в), то легко показать, что X будет удовлетворять и условию б), т. е. $X \in P$.

Предложение 7. Пусть $X \in P$ и удовлетворяет условию в), а $Y \in P$ и нульмерно. Тогда $X \times Y \in P$ и удовлетворяет условию в), а значит, и подавно $X \times Y \in P$.

Для компактов X с непустой внутренностью конечномерных евклидовых пространств, где, например, $\Omega_x = \text{Int}^+ X$, и обобщенных канторовых дисконтинах бесконечного веса, условие в) выполняется.

Предложение 8. Пусть $X \in P$ и удовлетворяет условию в), а Y — такое бикомпактное подпространство X , что $\text{Int}_X(Y \cap \Omega_X) \neq \emptyset$. Тогда $Y \in P$ и удовлетворяет условию в).

Под характеристизуемостью топологического пространства X класса К полугруппой $F(X)$ (непрерывных, замкнутых, открытых, гомеоморфных и т. д.) отображений пространства X в себя понимается выполнение следующего утверждения.

Для любых двух пространств X и Y класса К из (алгебраической) изоморфности $F(X)$ и $F(Y)$ вытекает гомеоморфность пространств X и Y .

Теорема 3. Пусть $X, Y \in P$. Если полугруппы D_{Ω_X} и D_{Ω_Y} изоморфны, то подмножества Ω_X и Ω_Y изотопны относительно пространств X и Y .

Следствие. Полугруппа D_{Ω_X} характеризует пространство X класса P' .

Пусть $X \in P'$ и $X = \bar{\Omega}_X$. Класс этих пространств обозначим через P'' .

Теорема 4. Пусть $X, Y \in P''$ и полугруппы D_{Ω_X} и D_{Ω_Y} изоморфны. Каждый изоморфизм ϕ полугруппы D_{Ω_X} на D_{Ω_Y} имеет вид

$$\phi a = \bar{f} a \bar{f}^{-1}, \forall a \in D_{\Omega_X},$$

где \bar{f} — гомеоморфизм пространства X на Y , являющийся продолжением гомеоморфизма f подпространства Ω_X и Ω_Y , индуцированного изоморфизмом ϕ полугруппы D_{Ω_X} на D_{Ω_Y} .

Следствие. Пусть $X \in P''$. Каждый автоморфизм ϕ полугруппы D_{Ω_X} на себя имеет вид

$$\phi a = \bar{g} a \bar{g}^{-1}, \forall a \in D_{\Omega_X},$$

где \bar{g} — гомеоморфизм пространства X на себя, являющийся продолжением гомеоморфизма g подпространства Ω_X на себя, индуцированного автоморфизмом ϕ полугруппы D_{Ω_X} .

Литература

- Глускин Л. М., Изв. вузов. Математика. 19, 1960, № 6, 62.
- Gluskin L. M. Semigroup Forum, 14, 1977, № 2, 95.
- Юсуфов В. Ш. ДАН Азерб. ССР, XXXII 1976, № 11.

Институт математики
и механики АН Азерб. ССР

Поступило 26. II 1982

В. Ш. Юсифов

БИКОМПАКТЛАРЫН ҮОМЕОМОРФ ИН'ИКАСЛАРЫНЫН
ЈАРЫМГРУПЛАРЫ

Мәгәләдә бүтүн бикомпактлар синфинин мүэjjән алт синфи үомеоморф ин'икасларын мұхтәлиф јарымгруппалары васитәсилә харakterизә олунмушдур.

V. Sh. Yusufov

SEMIGROUPS OF HOMEOMORPHIC MAPS OF COMPACT
HAUSDORFF SPACES

In this paper the space of some subclass of the class of all compact Hausdorff spaces by different semigroups of its homeomorphic maps is characterized.

АЗЭРБАЙЧАН ССР ЕЛМЛӘР АКАДЕМИЯСЫНЫҢ МӘРУЗӘЛӘРИ

ДОКЛАДЫ АКАДЕМИИ НАУК АЗЕРБАЙДЖАНСКОЙ ССР

ТОМ XL ЧИЛД

№ 6

1984

УДК 517.984

МАТЕМАТИКА

Г. Ш. ГУСЕЙНОВ, Ф. А. АСКЕРОВ

ЗАДАЧА РАССЕЯНИЯ ДЛЯ НЕСАМОСОПРЯЖЕННОГО
РАЗНОСТНОГО УРАВНЕНИЯ ВТОРОГО ПОРЯДКА НА ОСИ

(Представлено академиком АН Азербайджанской ССР Ф. Г. Максудовым)

1. Рассмотрим бесконечную систему уравнений

$$a_{n-1}y_{n-1} + b_n y_n + a_n y_{n+1} = \lambda y_n, n = 0, \pm 1, \pm 2, \dots, \quad (1)$$

где $\{y_n\}_{-\infty}^{\infty}$ — искомое решение, λ — комплексный параметр и

$$a_n, b_n \in C, a_n \neq 0 (n = 0, \pm 1, \pm 2, \dots), \sum_{n=-\infty}^{\infty} e^{\epsilon|n|} (|1-a_n| + |b_n|) < \infty. \quad (2)$$

Мы обозначили через C поле комплексных чисел, а через ϵ — фиксированное положительное число. В уравнении (1) положим $\lambda = 2 \cos z$, где $z = \xi + i\tau$. Из работы [1] следует, что при условии (2) уравнение (1) имеет единственное решение $\{f_n(z)\}_{-\infty}^{\infty}, \{g_n(z)\}_{-\infty}^{\infty}$, регулярные в полуплоскости $\operatorname{Im} z > -\frac{\epsilon}{2}$ (ϵ — то же число, что и в условии (2)), непрерывные вплоть до прямой $\operatorname{Im} z = -\frac{\epsilon}{2}$ и представимые в виде

$$\begin{aligned} f_n(z) = a_n e^{inz} \left(1 + \sum_{m=1}^{\infty} A_{nm} e^{imz} \right), \quad g_n(z) = b_n e^{-inz} \left(1 + \right. \\ \left. + \sum_{m=-1}^{\infty} B_{nm} e^{-imz} \right). \end{aligned} \quad (3)$$

При этом имеют место соотношения

$$a_n^2 = \frac{a_{n+1}^2}{a_n^2} = \frac{\beta_n^2}{\beta_{n+1}^2}, \quad b_n = A_{n1} - A_{n-1,1} = B_{n-1} - \\ - B_{n+1,-1} \quad (n = 0, \pm 1, \pm 2, \dots)$$

и для A_{nm} и B_{nm} справедливы оценки

$$|A_{nm}| \leq C_a e^{-\epsilon(n+\frac{m}{2})}, \quad |B_{nm}| \leq D_a e^{-\epsilon(n+\frac{m}{2})}$$

соответственно при $n \geq a$ и при $n \leq a$, где C_a и D_a — конечные положительные числа.

При $|\operatorname{Im} z| \leq \frac{\epsilon}{2}, z \neq \kappa\pi$ ($\kappa = 0, \pm 1, \dots$), пары $\{f_n(z)\}_{-\infty}^{\infty}, \{f_n(-z)\}_{-\infty}^{\infty}$

и $\{g_n(z)\}_{-\infty}^{\infty}, \{g_n(-z)\}_{-\infty}^{\infty}$ образуют две фундаментальные системы решений уравнения (1) с $\lambda = 2 \cos z$.

Имеют место соотношения

$$\begin{aligned} f_n(z) &= a(z) g_n(-z) + b(z) g_n(z), \\ g_n(z) &= -b(-z) f_n(z) + a(z) f_n(-z). \end{aligned}$$

При этом функция $a(z)$ аналитична в полуплоскости $\operatorname{Im} z > -\frac{\epsilon}{2}$.

Корни функции $a(z)$, расположенные в полуполосе

$$\Pi_+ = \left\{ z = \xi + i\tau \mid -\frac{\pi}{2} < \xi < \frac{3\pi}{2}, \tau > 0, z \neq 0, \infty \right\},$$

будем называть сингулярными числами уравнения (1). При условии (2) множество сингулярных чисел уравнения (1) конечно. Невещественные сингулярные числа обозначим через z_1, \dots, z_α , а вещественные — через $z_{\alpha+1}, \dots, z_\beta$. Кратность m_k корня z_k уравнения $a(z) = 0$ назовем кратностью сингулярного числа z_k ($k = 1, \dots, \beta$). Существуют цепочки чисел $\{x_0^1, \dots, x_{m_1-1}^1\}$ и $\{x_0^\alpha, \dots, x_{m_\beta-1}^\alpha\}$, такие, что справедливы равенства

$$\frac{f_n^{(p)}(z_j)}{p!} = \sum_{v=0}^p x_{p-v}^j \frac{g_n^{(v)}(z_j)}{v!}, \quad \frac{g_n^{(p)}(z_j)}{p!} = \sum_{v=1}^p x_{p-v}^j \frac{f_n^{(v)}(z_j)}{v!}$$

($p = 0, 1, \dots, m_j-1$, $j = 1, \dots, \alpha$), при этом $x_0^1 x_0^\alpha = 1$. Положим $r(z) = -\frac{b(-z)}{a(z)}$, $r_1(z) = \frac{b(z)}{a(z)}$ при $|\operatorname{Im} z| \leq \frac{\epsilon}{2}$ и

$$M_{nk} = ie^{-inz_k} \sum_{p=0}^{m_k-1} x_{m_k-p}^k \frac{1}{p!} \frac{d^p}{dz^p} \left[\frac{(z-z_k)^{m_k}}{a(z)} e^{inz} \right]_{z=z_k}. \quad (4)$$

Функция $r(z)$ называется коэффициентом отражения. M_{nk} является многочленом по n степени m_k-1 , где m_k — кратность сингулярного числа z_k , и называется нормированным многочленом.

Определение. Совокупность величин $\{r(z); z_1, \dots, z_\alpha; M_{nk}; \dots, M_{n\alpha}\}$ будем называть данными рассеяния уравнения (1).

2. Обозначим через L замкнутый оператор, порожденный операцией $(Ly)_n = a_{n-1}y_{n-1} + l_n y_n + a_n y_{n+1}$ в гильбертовом пространстве $L_2(-\infty, \infty)$ векторов $y = \{y_n\}_{-\infty}^{\infty}$, таких, что $\sum_{-\infty}^{\infty} |y_n|^2 < \infty$, со скалярным произведением $(x, y) = \sum_{-\infty}^{\infty} x_n \bar{y}_n$. Для оператора L можно установить следующие утверждения.

1. При условии (2) оператор L имеет непрерывный спектр, заполняющий сегмент $[-2, 2]$, а его дискретный спектр может состоять лишь из конечного числа точек, лежащих вне сегмента $[-2, 2]$.

Пусть $\lambda_k = 2 \cos z_k$ ($k = 1, \dots, \beta$), где z_k ($k = 1, \dots, \beta$) — сингулярные числа уравнения (1). Числа λ_k ($k = 1, \dots, \alpha$) являются собственными значениями, и других собственных значений оператора L нет.

Числа $\lambda_{\alpha+1}, \dots, \lambda_\beta$ принадлежат непрерывному спектру и называются спектральными особенностями оператора L . Кратности $m_1, \dots,$

m_α сингулярных чисел z_1, \dots, z_α совпадают с кратностями собственных значений $\lambda_1, \dots, \lambda_\alpha$.

2. Если уравнение (1) не имеет спектральных особенностей, то для любого вектора $h = \{h_n\}_{-\infty}^{\infty}$ из пространства $L_2(-\infty, \infty)$ справедлива следующая формула разложения:

$$h_n = \sum_{k=1}^{\alpha} \left\{ \frac{d^{m_k-1}}{dz^{m_k-1}} M_k(z) f_n(z) G_h(z) \right\}_{z=z_k} + \frac{1}{4\pi} \int_{-\pi}^{\pi} \frac{1}{a(\xi)a(-\xi)} [f_n(\xi) F_h(-\xi) + g_n(\xi) G_h(-\xi)] d\xi, \quad (5)$$

где

$$M_k(z) = \frac{(z-z_k)^{m_k}}{2ia(z)(m_k-1)!}, \quad F_h(\xi) = \sum_{-\infty}^{\infty} h_n f_n(\xi), \quad G_h(\xi) = \sum_{-\infty}^{\infty} h_n g_n(\xi).$$

При наличии спектральных особенностей интеграл в формуле (5) расходится и требует подлежащей регуляризации, что вполне осуществимо. По этому поводу в случае полуоси см. [2, 3].

3. Имеют место следующие уравнения, связывающие коэффициенты представлений (3) с данными рассеяния:

$$F_{2n+m} + A_{nm} + \sum_{k=1}^{\alpha} A_{nk} F_{k+m+2n} = 0, \quad m = 1, 2, 3, \dots,$$

$$\frac{1}{a_n^2} = 1 + F_{2n} + \sum_{k=1}^{\alpha} A_{nk} F_{k+2n},$$

$$\Phi_{2n+m} + B_{nm} + \sum_{k=-1}^{\alpha} B_{nk} \Phi_{k+m+2n} = 0, \quad m = -1, -2, -3, \dots,$$

$$\frac{1}{b_n^2} = 1 + \Phi_{2n} + \sum_{k=-1}^{\alpha} B_{nk} \Phi_{k+2n},$$

где

$$F_n = \sum_{k=1}^{\alpha} M_{nk} e^{inz_k} + F_n^{(1)}, \quad \Phi_n = \sum_{k=1}^{\alpha} M_{nk} e^{-inz_k} + \Phi_n^{(1)},$$

$$F_n^{(1)} = \frac{1}{2\pi} \int_{-\frac{\pi}{2}+i\delta}^{\frac{3\pi}{2}+i\delta} r(z) dz, \quad \Phi_n^{(1)} = \frac{1}{2\pi} \int_{-\frac{\pi}{2}+i\delta}^{\frac{3\pi}{2}+i\delta} r_1(z) dz;$$

числа \hat{M}_{nk} строятся по формуле (4) заменой в ней чисел x_m^j на x_m^α , число $\delta > 0$ и достаточно маленькое. Заметим, что функция $r_1(z)$ числа \hat{M}_{nk} однозначно выражается через данные рассеяния.

Сформулируем необходимые условия на данные рассеяния.

Теорема. При условии (2) данные рассеяния уравнения (1) обладают следующими необходимыми свойствами:

1) $r(z)$ мероморфна в полосе $|\operatorname{Im} z| < \epsilon_0$ и $r(z+2\pi) = r(z)$, где

$$\epsilon_0 = \min \left\{ \frac{\epsilon}{2}, \epsilon_1 \right\}, \quad \epsilon_1 — \text{расстояние от оси } \operatorname{Im} z = 0 \text{ до невещественных}$$

нулей функции $a(z)$;

2) $r(z)$ не имеет невещественных полюсов в полосе $|Im z| < \varepsilon_0$, и если $r(\xi_0) = \infty$, $\xi_0 \neq k\pi$ ($k = 0, \pm 1, \dots$), то $r(-\xi_0) \neq 0$;

3) Если $z \neq k\pi$ ($k = 0, \pm 1, \dots$), то $1 - r(z)r(-z) \neq 0$ и

$$\lim_{z \rightarrow \pm\infty} |\sin^2 z [1 - r(z)r(-z)]^{-1}| < \infty;$$

4) При каждом конечном N_1 и N_2 имеют место оценки

$$\sum_{m=N_1}^{\infty} e^{\frac{t}{2}m} |F_m^{(1)} - F_m^{(1)}| < \infty, \quad \sum_{m=-\infty}^{m=N_2} e^{-\frac{t}{2}m} |\Phi_{m+2}^{(1)} - \Phi_m^{(1)}| < \infty;$$

5) Уравнения

$$h_m + \sum_{k=1}^{\infty} h_k F_{k+m+2} = 0, \quad m = 1, 2, 3, \dots,$$

$$u_m + \sum_{k=-1}^{k=-1} u_k \Phi_{k+m+2} = 0, \quad m = -1, -2, -3, \dots,$$

при каждом n ($n = 0, \pm 1, \dots$) имеют только тривиальные решения, удовлетворяющие соответственно условиям

$$\sum_{m=1}^{\infty} e^{-\frac{t}{2}m} |h_m| < \infty, \quad \sum_{m=-\infty}^{m=-1} e^{\frac{t}{2}m} |u_m| < \infty.$$

В заключение отметим, что задача, подобная рассмотренной в настоящей статье, в случае несамосопряженного разностного уравнения на полуоси изучалась в [4].

Литература

1. Гусейнов Г. Ш. ДАН СССР, 231, 1976, № 5, 1'89–1292. 2. Лянце В. Э. Укр. матем. ж., 20, 1968, № 4, 489–503. 3. Лянце В. Э. Укр. матем. ж., 21, 1969, № 4, 461–474. 4. Гусейнов Г. Ш., Мухтаров Ф. Ш. ИЗВ. АН Азерб. ССР, серия физ.-техн. и матем. наук, II, 1982, № 1, 16–21.

Институт математики
и механики АН Азерб. ССР

Поступило 6. I 1983

Г. Ш. Гусейнов, Ф. Э. Аскеров

БҮТҮН ОХ ҮЗЭРИНДЭ ӨЗ-ӨЗҮНЭ ГОШМА ОЛМАЈАН ИКИНЧИ ТЭРТИБ ФЭРГ ТЭНЛИЈИ ҮЧҮН СӘПИЛМЭ МАСЭЛЭСИ

Мэголадэ бүтүн ох үзэриндэ өз-өзүнэ гошма олмајан икинчи тэртиб фэрг тэнлиji үчүн сәпилмэ вериләнләри тэ'ини единимиш, онларын зэрүүри хассәләри өјрәнилмиш мөхсүсі үе гошуулмуш векторлар үзрэ ажрылма дүстүру верилшидир.

G. Sh. Guseinov, F. A. Askerov

THE SCATTERING PROBLEM FOR DIFFERENCE NONSELF-ADJOINT EQUATION OF THE SECOND ORDER ON THE WHOLE AXIS

Necessary properties of the scattering date for difference nonself-adjoint equation of the second order on the whole axis are discussed.

АЗЭРБАЙЧАН ССР ЕЛМЛӨР АКАДЕМИЯСЫНЫН МЭРҮЗЭЛЭРИ

ДОКЛАДЫ АКАДЕМИИ НАУК АЗЕРБАЙДЖАНСКОЙ ССР

ТОМ XL ЧИЛД

№ 6

1984

УДК 517.538.5

МАТЕМАТИКА

Дж. И. МАМЕДХАНОВ, В. В. САЛАЕВ

ЛОКАЛЬНЫЕ СВОЙСТВА СИНГУЛЯРНЫХ ИНТЕГРАЛОВ

(Представлено академиком АН Азербайджанской ССР И. И. Ибрагимовым)

Вопросы, связанные с локальным поведением функции, следует разделить на чистолокальные и локально-внутренние. К задачам с чистолокальными свойствами мы относим такие, в которых определяющим является поведение функции в любой окрестности определенной точки. Если же поведение функции задается вне любой окрестности некоторого числа точек, то такие свойства назовем локально-внутренними.

В данной статье на единичной окружности γ_0 изучаются чистолокальные свойства сингулярного (особого) интеграла

$$\tilde{f}(t) = \frac{1}{\pi i} \int_{\Gamma} \frac{f(\xi)}{\xi - t} d\xi, \quad t \in \gamma_0, \quad (1)$$

в зависимости от таких же свойств плотности $f(\xi)$.

Работа возникла на базе [1–3]. Г. Фройдом [1] рассмотрено множество $C(\varphi)$ непрерывных 2π -периодических функций, удовлетворяющих условию

$$|f(x+h) - f(x)| \leq A(f) \varphi(|h|) \quad (0 < h \leq \pi),$$

где $A(f)$ —постоянная, не зависящая от x и h , а $\varphi(h)$ —положительная неубывающая функция, для которой $\varphi(+0) = 0$,

$$\varphi(2h) \leq 2\varphi(h) \quad \left(0 < h \leq \frac{\pi}{2}\right)$$

и $E B > 1$ такое, что

$$1 < B < \lim_{h \rightarrow 0^+} \frac{\varphi(Bh)}{\varphi(h)} < \lim_{h \rightarrow 0^+} \frac{\varphi(Bh)}{\varphi(h)} < 0^{-1} B < B.$$

Кроме того, рассмотрено множество $m_\varphi(f)$ точек x , для которых равномерно по x

$|f(x+h) - f(x)| = 0(\varphi(h)) \quad (x \in m_\varphi(f))$ при $h \rightarrow 0$,
т. е. множество, характеризуемое тем, что в его точках локальное поведение функции $f(x)$ лучше глобального.

В работе [1] показано, что

$$m_\varphi(f) = m_\varphi(\tilde{f}), \quad (3)$$

также

$$\tilde{f}(x) = -\frac{1}{2\pi} \int_0^{2\pi} f(\xi) \operatorname{ctg} \frac{\xi - x}{2} d\xi \quad (4)$$

выражается сингулярным (особым) интегралом с ядром Гильберта.* Это предложение Г. Фройда очевидно развивает классическую теорему Племеля—Привалова, которая гласит: если $f(x) \in H_a([0, 2\pi])$ ($0 < a < 1$) (H_a —класс Гельдера с показателем a), то и

$$\bar{f}(x) \in H_a([0, 2\pi]) \quad (0 < a < 1).$$

В связи с этим А. А. Гончаром [2] была поставлена следующая задача: пусть $f \in H_a([0, 2\pi])$ ($0 < a < 1$), а в некоторой точке $x_0 \in [0, 2\pi]$ вместо 0 в соотношении

$$|f(x_0 + h) - f(x_0)| = 0(|h|^a), \quad h \rightarrow 0,$$

задана некоторая скорость стремления к нулю, например,

$$|f(x_0 + h) - f(x_0)| = 0(|h|^{\alpha+\beta}) \quad (\beta > 0).$$

Как будет вести себя особый интеграл \bar{f} в этой же точке x_0 ? В [2] показано, что при $\alpha + \beta < 1$

$$|\bar{f}(x_0 + h) - \bar{f}(x_0)| = 0(|h|^{\alpha+\beta-\frac{\beta}{1+\alpha}}).$$

В [3] введен в рассмотрение следующий класс функций. Пусть γ —замкнутая жорданова κ -кривая (т. е. кривая, удовлетворяющая условию $\exists \kappa \geq 1, s(t, \tau) \leq \kappa |t - \tau|$, где $s(t, \tau)$ —небольшая из длин дуг, стягивающих точки $t, \tau \in \gamma$ и точки $\pm 1 \in \gamma$. Через $L_a^{\beta}(\pm 1)$ ($0 < a < 1, \beta \geq 0$) обозначен класс функций, для которых

$$\forall z_1, z_2 \in \gamma: |f(z_1) - f(z_2)| \leq \text{const} \cdot \max(|1 - z_1|^{\beta}, |1 - z_2|^{\beta}) |z_1 - z_2|^a.$$

Для этого класса функций в [3] выведено соотношение

$$f \in D_a^{\beta}(\pm 1) \Leftrightarrow \bar{f} \in D_a^{\beta}(\pm 1) \text{ при } \alpha + \beta < 1.$$

Анализ результатов приводит к следующим классам функций.

Обозначим через H_a класс функций, удовлетворяющих условию

$$|f(t) - f(\tau)| = 0(|t - \tau|^a), \quad \forall t, \tau \in \gamma_0, \quad 0 < a < 1.$$

Через $H_a^{\alpha+\beta}(t_0)$ обозначим множество тех $f \in H_a$, для которых в точке $t_0 \in \gamma_0$ выполнено условие

$$|f(t) - f(t_0)| = 0(|t - t_0|^{\alpha+\beta}), \quad t \in \gamma_0 \quad (0 < a < 1, \beta \geq 0),$$

Через $D_a^{\beta}(t_0)$ —множество функций, определенных на γ_0 и удовлетворяющих условию

$$|f(\tau) - f(t)| = 0((\max(|t - t_0|, |\tau - t_0|))^{\beta} |\tau - t|^a), \quad t, \tau \in \gamma_0, \quad 0 < a < 1, \beta \geq 0,$$

где $t_0 \in \gamma_0$ —фиксированная точка.

Очевидно, $D_a^{\beta}(t_0) \subset H_a^{\alpha+\beta}(t_0)$. Несмотря на внешнее различие в определении этих классов, они могут быть выражены в одинаковых терминах. Для этой цели приведем следующее описание класса $H_a^{\alpha+\beta}(t_0)$.

Лемма 1. $f \in H_a^{\alpha+\beta}(t_0) \Leftrightarrow |f(t_1) - f(t_2)| \leq$

$$< \text{const} \cdot \min\{(\max(|t_1 - t_0|, |t_2 - t_0|))^{\alpha+\beta}, |t_1 - t_2|^a\}.$$

Это дает основание ввести метрическую характеристику функций, непрерывных на γ_0 . Пусть $f \in C(\gamma_0)$ ($C(\gamma_0)$ —множество непрерывных на γ_0 функций) и пусть $t_0 \in \gamma_0$. Обозначим

* Особые интегралы (1) и (4) отличаются на регулярный интеграл.

$$\gamma_{\eta}(t_0) = \{t_0 \in \gamma_0 : |t - t_0| \leq \eta\},$$

$$\omega_{t_0}^{\delta, \eta}(\delta, \eta) = \max_{\substack{|t - t_0| \leq \delta \\ t, t_0 \in \gamma_{\eta}(t_0)}} |f(t) - f(t_0)|, \quad \delta, \eta \geq 0.$$

Функцию $\omega_{t_0}^{\delta, \eta}(\delta, \eta)$ назовем чистоэкальным модулем непрерывности функций f в точке t_0 . В терминах $\omega_{t_0}^{\delta, \eta}(\delta, \eta)$ классы $H_a^{\alpha+\beta}(t_0)$, $D_a^{\beta}(t_0)$ описываются следующим образом:

$$f \in H_a^{\alpha+\beta}(t_0) \Leftrightarrow \omega_{t_0}^{\delta, \eta}(\delta, \eta) = 0 \quad (\min\{\delta^a, \eta^{\alpha+\beta}\}),$$

$$f \in D_a^{\beta}(t_0) \Leftrightarrow \omega_{t_0}^{\delta, \eta}(\delta, \eta) = 0 \quad (\delta^a \eta^{\beta}).$$

Кроме того, нами доказаны следующие предложения.

1°. Предложение Г. Фройда, а именно $m_{\varphi}(f) = m_{\varphi}(\bar{f})$, и без дополнительного условия равномерности по x в соотношении (2) остается в силе.

2°. Улучшен результат работы [2], а именно: доказана

Теорема 1. Пусть $f \in H_a^{\alpha+\beta}(t_0)$, $0 < a < 1, \beta \geq 0$. Тогда справедливы следующие неравенства:

1) при $\alpha + \beta \leq 1$

$$|\bar{f}(t) - \bar{f}(t_0)| = 0\left(|t - t_0|^{\alpha+\beta} \ln \frac{2}{|t - t_0|}\right),$$

2) при $\alpha + \beta > 1$

$$|\bar{f}(t) - \bar{f}(t_0)| = 0(|t - t_0|).$$

3°. Показано, что полученный в теореме 1 результат окончен, при этом доказана

Теорема 2. Пусть $\alpha \in (0, 1)$, $\beta > 0$, $\alpha + \beta < 1$. Тогда существует 2π -периодическая на $[-\pi, \pi]$ функция $f(x) \in H_a^{\alpha+\beta}(0)$, такая, что для последовательности $x_n = 16^{-n}$, $n = 0, 1, 2, \dots$, существует n_0 , такое, что

$$|\bar{f}(x_n) - \bar{f}(0)| > C_{\alpha, \beta} x_n^{\alpha+\beta} \ln \frac{1}{x_n}, \quad \forall n \geq n_0,$$

где $C_{\alpha, \beta}$ —постоянная, зависящая лишь от α и β .

4°. С помощью теорем 1 и 2 дан окончательный ответ на вопрос А. А. Гончара.

5°. Доказано, что имеет место правильное вложение $D_a^{\beta}(t_0) \subset H_a^{\alpha+\beta}(t_0)$, в частности показано, что функция

$$f(x) = \begin{cases} x^{\alpha+\beta} \sin \frac{1}{x^{\beta}} & \text{при } x \in (0, 1], \\ 0 & \text{при } x = 0 \end{cases}$$

принадлежит классу $H_a^{\alpha+\beta}(0)$, но не принадлежит классу $D_a^{\beta}(0)$.

6°. Даны описания классов $H_a^{\alpha+\beta}(t_0)$ и $L_a^{\beta}(t_0)$, а именно доказаны следующие леммы.

Лемма 2. $f \in H_a^{\alpha+\beta}(t_0) \Leftrightarrow$

$$\left\{ \begin{array}{l} 1) |f(\xi) - f(t)| = 0 (|\xi - t|^{\alpha}) \text{ при } \xi \in \gamma_{|t-t_0|^{1+\beta/\alpha}}(t) \left(\epsilon = \frac{1}{2 \cdot 2^{\alpha/\beta}} \right) \\ 2) |f(\xi) - f(t)| = 0 (|t - t_0|^{\alpha+\beta}) \text{ при } \xi \in \gamma_{|t-t_0|^{1+\beta/\alpha}}(t_0) \setminus \gamma_{|t-t_0|^{1+\beta/\alpha}}^{(t)} \\ 3) |f(\xi) - f(t)| = 0 (|\xi - t_0|^{\alpha+\beta}) \text{ при } \xi \in \gamma \setminus \gamma_{|t-t_0|^{1+\beta/\alpha}}(t_0). \end{array} \right.$$

Лемма 3. $f \in D_a^3(t_0) \Leftrightarrow$

$$\left\{ \begin{array}{l} 1) |f(\xi) - f(t)| = 0 (|\xi - t|^{\alpha} |t - t_0|^{\beta}) \text{ при } \xi \in \gamma_{|t-t_0|^{1/2}}(t) \\ 2) |f(\xi) - f(t)| = 0 (|t - t_0|^{\alpha+\beta}) \text{ при } \xi \in \gamma_{|t-t_0|^{1/2}}(t_0) \setminus \gamma_{|t-t_0|^{1/2}}^{(t)} \\ 3) |f(\xi) - f(t)| = 0 (|\xi - t_0|^{\alpha+\beta}) \text{ при } \xi \in \gamma_0 \setminus \gamma_{|t-t_0|^{1/2}}^{(t_0)} \end{array} \right.$$

7°. Справедлива следующая

Теорема 3. Пусть $f \in D_a^3(t_0)$, $0 < \alpha < 1$, $\beta \geq 0$. Тогда при $\alpha + \beta < 1$ $\tilde{f} \in D_a^3(t_0)$. В противном случае, для любых $t_1, t_2 \in \gamma_0$ (обозначим $\delta = |t_1 - t_2|$) и, не уменьшая общности, будем считать $|t_1 - t_0| > |t_2 - t_0|$ имеем

$$\left\{ \begin{array}{ll} |\tilde{f}(t_1) - \tilde{f}(t_2)| \leq & \\ \max \left\{ \delta \ln \frac{2}{|t_1 - t_0|}, |t_1 - t_0|^{\beta} \delta^{\alpha} \right\} & \text{при } \alpha + \beta = 1, \alpha < 1, \\ \delta \ln \frac{2}{\delta} & \text{при } \alpha + \beta = 1, \alpha = 1, \\ \max \{ \delta, |t_1 - t_0|^{\beta} \delta^{\alpha} \} & \text{при } \alpha + \beta > 1, \alpha < 1, \\ \delta \max \left\{ 1, |t_1 - t_0|^{\beta} \ln \frac{|t_1 - t_0|}{\delta} \right\} & \text{при } \alpha + \beta > 1, \alpha = 1. \end{array} \right.$$

В заключение отметим, что в работах [1,2] доказательства основаны на методах теории приближения, а результаты данной статьи доказаны непосредственно.

Литература

1. Freud G. Studia Sci. Math., Hungar., 5, 1970, 141–150.
2. Salia M. Studia Sci. Math., Hungar., 6, 1971, 427–429.
3. Мамедханов Дж. И. Тез. докл. к союз. 70-летию акад. С. Л. Соболева. Новосибирск, 1979.
- АГУ им. С. М. Кирова

Поступило 9. III 1982

АЗЭРБАЙЧАН ССР ЕЛМЛЭР АКАДЕМИЯСЫНЫН МӘРҮЗӘЛӘРИ

ДОКЛАДЫ АКАДЕМИИ НАУК АЗЕРБАЙДЖАНСКОЙ ССР

ТОМ XL ЧИЛД

№ 6

1984

УДК 539.376

МЕХАНИКА

Л. Х. ТАЛЫБЫ

К СООТНОШЕНИЯМ ТЕРМО-ВЯЗКОПЛАСТИЧНОСТИ ПРИ ЦИКЛИЧЕСКИХ НАГРУЖЕНИЯХ

(Представлено академиком АН Азербайджанской ССР А. К. Мирзаджанзаде)

1. Уравнения состояния. Здесь вязкопластичными называются реономные деформируемые среды, свойства которых при нагружении и разгрузке являются различными [1].

Допустим, что при времени $t < t_1$ в вязкопластическом теле происходит исходное нагружение объемными силами F_i^0 , поверхностными силами R_i^0 , заданными из части S_0 граничной поверхности, при наличии граничного перемещения U_0 на части S_u граничной поверхности и нестационарного неоднородного температурного поля $T'(x, t)$. При этом возникающие в теле напряжения $\sigma_{ij}(x, t)$ и деформации $\epsilon_{ij}(x, t)$ удовлетворяют уравнениям состояния [2]

$$2G_0 \dot{\epsilon}_{ij} = f_1(\sigma_u, T') s_{ij}' + \int_0^t \Gamma(t-\tau) f_2[\sigma_u(\tau), T'(\tau)] s_{ij}'(\tau) d\tau \quad (1.1)$$

или

$$2G_0 \dot{\epsilon}_{ij} = f_1^0 \left(\frac{\sigma_u'}{b_r} \right) s_{ij}' + \int_0^t \Gamma(t-\tau) f_2^0 \left[\frac{\sigma_u'(\tau)}{b_r(T'(\tau))} \right] s_{ij}'(\tau) d\tau \quad (1.2)$$

и

$$\theta' = \frac{\sigma'}{K} + 3\alpha_0 \Delta T'. \quad (1.3)$$

Здесь обозначено: $s_{ij}' = \sigma_{ij} - \sigma' \delta_{ij}$ — девиатор тензора напряжений, $\dot{\epsilon}_{ij}' = \epsilon_{ij}' - \epsilon' \delta_{ij}$ — девиатор тензора деформаций, δ_{ij} — символы Кронекера, $\sigma' = \sigma_{ii}/3$ — среднее напряжение, $\epsilon' = \epsilon_{ii}/3$ — средняя деформация $\sigma_u' =$

$$= \left(\frac{3}{2} s_{ij}' s_{ij}' \right)^{1/2} \text{ — интенсивность напряжений.}$$

Предполагается, что мгновенный модуль сдвига G_0 и функция наследственности $\Gamma(t)$ соответствуют некоторой эталонной температуре T_0' , фиксированной из интересующего температурного диапазона, K — модуль объемной деформации, α_0 — коэффициент линейного расширения, $\Theta = 3\epsilon$ — относительное изменение объема, $\Delta T = T' - T^{10}$, T^{10} — начальная температура тела. Функции f_1 и f_2 характеризуют степень физической нелинейности и влияние температуры на механические свойства среды, $f_1^0 = f_1(\sigma_u, T_0')$, b_r — экспериментально определяе-

мая функция материала [2], причем $b_r(T'_0) = 1$, $0 < b_r < 1$ при $T' > T'_0$, $b_r > 1$ при $T' < T'_0$.

Альтернативными к уравнениям (1.2) являются соотношения

$$\frac{s_{ij}}{2G_0} = \varphi_1^0 \left(\frac{\epsilon_u}{v_t} \right) \dot{\epsilon}_{ij} - \int_0^t R(t-\tau) \varphi_2^0 \left[\frac{\epsilon_u(\tau)}{v_t(T'(\tau))} \right] \dot{\epsilon}_{ij}(\tau) d\tau, \quad (1.4)$$

где $\epsilon_u = \left(\frac{2}{3} \dot{\epsilon}_{ij} \dot{\epsilon}_{ij} \right)^{\frac{1}{2}}$ — интенсивность деформаций, $\varphi_1^0, \varphi_2^0, R(t) v_t$ — экспериментально определяемые функции, причем $v_t(T'_0) = 1$.

Пусть теперь начиная со времени $t = t_1$ в каждой точке тела происходят разгрузка и последующее знакопеременное нагружение объемными силами F_i , поверхностными силами R_i на части S_u граничной поверхности при наличии граничного перемещения U_{0i} на части S_u граничной поверхности и нестационарного температурного поля $T''(x, t)$. При этом в теле возникают напряжения $\sigma_{ij}(x, t)$, деформации $\epsilon_{ij}(x, t)$ и перемещения $U_i(x, t)$.

Введем следующие разности:

$$\sigma_{ij}^* = \sigma_{ij} - \sigma_{ij}^*, \quad \epsilon_{ij}^* = \epsilon_{ij} - \epsilon_{ij}^* (t \geq t_1), \quad (1.5)$$

где $\sigma_{ij}(x, t)$, $\epsilon_{ij}(x, t)$ — напряжения и деформации, возникающие в рассматриваемом теле при его продолжающемся исходном нагружении не зависящими от времени параметрами $F_i(x, t_1)$, $R_i(x, t_1)$, $U_{0i}(x, t_1)$, $T'(x, t_1)$.

При составлении уравнений состояния вязкопластических сред при циклических нагрузлениях с учетом влияния температуры воспользуемся аналогией с уравнениями (1.1), неявно предполагая, что области физической нелинейности не могут распространяться на зоны тела, в которых при предшествующем нагружении сохранялись области физической линейности.

$$2G_0 \dot{\epsilon}_{ij}^* = f_1^*(\sigma_u^*, T') s_{ij}^* + \int_0^{t_*} \Gamma_*(t_* - \tau) f_2^* [\sigma_u^*(\tau), T'(\tau)] s_{ij}^*(\tau) d\tau, \quad (1.6)$$

$$\Theta^* = \frac{\sigma^*}{K} + 3\alpha_0 \Delta T^*, \quad (1.7)$$

где $t_* = t - t_1$, $\Delta T^*(x, t) = T'(x, t_1) - T'(x, t)$. Здесь функции f_1^* , f_2^* считаются не зависящими от вида напряженного состояния. Кроме того, при некоторой эталонной температуре $T'' = T'_0$ эти функции, как f_1 и f_2 , удовлетворяют условию $f_1^*(\sigma_u^*, T'_0) = f_2^*(\sigma_u^*, T'_0) = 1$. При этом уравнения (1.6) становятся линейными и потому функция наследственности $\Gamma_*(t)$ при циклическом нагружении совпадает с функцией наследственности $\Gamma(t)$ при нагружении из естественного состояния.

Функция f_1^* определяется с помощью кривых нелинейной ползучести циклического нагружения, полученных при $t \rightarrow 0$ ($t \rightarrow t_1$) и при разных температурах $T' = T_k = \text{const}$: $f_1^*(\sigma_u^*, T') = 3G_0 \epsilon_u^*(0, T') / \sigma_u^*$. В дальнейшем, принимая в (1.2) $\sigma_u^* = \sigma_u^{*(k)} = \text{const}$ и $T' = T_k = \text{const}$, находим $f_2^*(\sigma_u^{*(k)}, T_k) = [3G_0 \epsilon_u^* / \sigma_u^{*(k)} - f_1^*(\sigma_u^{*(k)}, T_k)] / (\psi - 1)$, где $\psi(t) = \int_0^t \Gamma(\xi) d\xi$.

Уравнения (1.6) в другой, более общей, форме предложены В. В. Москвитиным [1]. Они в случае $f_i^* = f_i(\sigma_u)$ совпадают с уравнениями циклического изотермического нагружения вязкопластических сред [1], в случае отсутствия интегральных слагаемых с уравнениями термопластичности при переменных нагрузлениях В. В. Москвитина [1].

Введем теперь аналогично функцию b_r^* , соответствующей исходному нагружению, функции $b_r^*(T'')$ при циклическом нагружении, предполагая, что кривые f_1 и f_2 при разных постоянных температурах T_k ($k=1, 2, \dots$) могут быть совмещены с кривыми f_1^* и f_2^* при эталонной температуре T'_0 путем их смещения вдоль оси $\ln \sigma_u$ на определенные отрезки $\omega^*(T_k)$ ($k=1, 2, \dots$) соответственно. Если принять $\omega^*(T'') = -\ln b_r^*(T'')$, то $b_r^*(T'_0) = 1$, $0 < b_r^* < 1$ при $T' > T'_0$, $b_r^* > 1$ при $T' < T'_0$. При этом $f_i^*(\sigma_u^*, T') = f_i^*(\sigma_u^*/b_r^*)$, где $f_i^* = f_i(\sigma_u^*, T'_0)$ ($i=1, 2$).

Теперь уравнения (1.6) преобразуются к виду

$$2G_0 \dot{\epsilon}_{ij}^* = f_1^* \left(\frac{\epsilon_u^*}{b_r^*} \right) s_{ij}^* + \int_0^{t_*} \Gamma(t_* - \tau) f_2^* \left(\frac{\epsilon_u^*(\tau)}{b_r^*(T'(\tau))} \right) s_{ij}^*(\tau) d\tau. \quad (1.8)$$

Если в качестве уравнений состояния среды при нагружении из естественного состояния принимаются (1.4), то аналогичные уравнения при циклическом нагружении (альтернативные к (1.8)) представят в следующем виде:

$$\frac{s_{ij}^*}{2G_0} = \varphi_1^0 \left(\frac{\epsilon_u^*}{v_t^*} \right) \dot{\epsilon}_{ij}^* - \int_0^{t_*} R(t_* - \tau) \varphi_2^0 \left(\frac{\epsilon_u^*(\tau)}{v_t^*(T'(\tau))} \right) \dot{\epsilon}_{ij}^*(\tau) d\tau. \quad (1.9)$$

Функции, входящие в уравнения (1.9), определяются с использованием кривых релаксации при переменном нагружении вязкопластического материала, соответствующих разным постоянным температурам. При эталонной температуре T'_0 , $\varphi_1^0(T'_0) = 1$.

Отметим, что в уравнениях (1.2), (1.4), (1.8) и (1.9) согласно формам кривых f_1^* и f_2^* , φ_1^0 и φ_2^0 , f_1^* и f_2^* , φ_1^0 и φ_2^0 при эталонных температурах можно воспользоваться аппроксимациями $f_2^* = A f_1^*$, $\varphi_2^0 = B \varphi_1^0$, $f_2^* = A^* f_1^*$, $\varphi_2^0 = B^* \varphi_1^0$ ($A, B, A^*, B^* = \text{const}$). Аналогичные уравнения вязкопластической среды с учетом влияния температуры могут быть написаны для n -го циклического нагружения.

2. Постановка несвязанной задачи. Аналог теоремы о переменном нагружении В. В. Москвитина с учетом нестационарности и неоднородности температурного поля. Компоненты напряжений σ_{ij} , деформаций ϵ_{ij} и перемещений U_i , возникающие при исходном нагружении, удовлетворяют уравнениям равновесия, граничным условиям и соотношениям Коши:

$$\sigma_{ij,j} + F_i = 0, \quad \sigma_{ij} l_j = R_i \text{ на } S_u, \quad U_i = U_{0i} \text{ на } S_u, \quad 2\epsilon_{ij} = U_{i,j} + U_{j,i}. \quad (2.1)$$

Кроме того, имеют место (1.2), (1.3) или (1.4), (1.3). При $t \geq t_1$ справедливы соотношения (1.7), (1.8) или (1.7), (1.9) и

$$\sigma_{ij,j} + F_i = 0; \quad \sigma_{ij} l_j = R_i \text{ на } S_u, \quad U_i = U_{0i} \text{ на } S_u; \quad 2\epsilon_{ij} = U_{i,j} + U_{j,i}. \quad (2.2)$$

Если учесть (1.5), (2.1) и (2.2), то придет к соотношениям

$$\sigma_{ij,j} + F_i = 0; \quad \sigma_{ij} l_j = R_i \text{ на } S_u, \quad U_i = U_{0i} \text{ на } S_u, \quad 2\epsilon_{ij} = U_{i,j} + U_{j,i}. \quad (2.3)$$

де

$$F_i^* = F_i(x, t_1) - F_i(x, t), R_i^* = R_i(x, t_1) - R_i(x, t), U_{0i}^* = U_{0i}(x, t_1) - U_{0i}(x, t).$$

Пусть функции $j_1^0, j_2^0, b'_\tau, j_1^{*0}, f_2^{*0}, l_\tau^*$ представимы в виде

$$f_i^0(\sigma_U) = \sum_{k=0}^{m_1} a_k^{(i)} (\sigma_U)^{k^{(i)}}, b'_\tau(T') = \sum_{k=0}^n d_k \left(\frac{T_0'}{T'}\right)^{k^{*}},$$

$$f_i^{*0}(\sigma_U^*) = \sum_{k=0}^{m_1} a_k^{*(i)} (\sigma_U^*)^{k^{*(i)}}, b'_\tau(T'') = \sum_{k=0}^n d_k^* \left(\frac{T_0''}{T''}\right)^{k^{**}},$$

где $i=1, 2, m_1, m_2, n$ — конечные числа, $a_k^{(i)}, a_k^{*(i)}, d_k, d_k^*, a_k^{(1)}, a_k^{*(1)}, d_k^*, \delta_k$ — константы.

Сравнивая соотношения (1.2), (1.3), (2.1) с соответствующими соотношениями (1.8), (1.7), (2.3), приходим в выводу, что если

$$\sigma_{ij}^* = \sigma_{ij}'(x, t, a_k^{(1)}, a_k^{*(1)}, a_k^{(2)}, a_k^{*(2)}, d_k, \delta_k, F_i, R_i, U_{0i}, T_0, \Delta T'),$$

$$\varepsilon_{ij}^* = \varepsilon_{ij}'(x, t, a_k^{(1)}, a_k^{*(1)}, a_k^{(2)}, a_k^{*(2)}, d_k, \delta_k, F_i, R_i, U_{0i}, T_0, \Delta T'),$$

то

$$\sigma_{ij}^* = \sigma_{ij}'(x, t, a_k^{*(1)}, a_k^{(1)}, a_k^{*(2)}, a_k^{(2)}, d_k^*, \delta_k^*, F_i^*, R_i^*, U_{0i}^*, T_0^*, \Delta T'),$$

$$\varepsilon_{ij}^* = \varepsilon_{ij}'(x, t, a_k^{*(1)}, a_k^{(1)}, a_k^{*(2)}, a_k^{(2)}, d_k^*, \delta_k^*, F_i^*, R_i^*, U_{0i}^*, T_0^*, \Delta T').$$

После определения величин $\sigma_{ij}^*, \varepsilon_{ij}^*$ искомые напряжения σ_{ij} и деформации ε_{ij} находятся по формулам (1.5).

Таким образом мы, с учетом нестационарного неоднородного температурного поля, доказали теорему — аналог известной теоремы В. В. Москвитина о переменном нагружении, которая без решения дополнительной краевой задачи позволяет определить напряженно-деформированное состояние вязкопластического тела при его переменном неизотермическом нагружении по известному решению соответствующей задачи при неизотермическом нагружении из естественного состояния. Не представляет трудности доказать аналогичную теорему, если в качестве уравнения состояния использовать соотношения (1.9). Подобным образом доказывается теорема о переменном нагружении для любого n -го нагружения.

Литература

1. Москвитин В. В. Циклические нагрузки элементов конструкций. М.: Наука, 1981.
2. Талыбы Л. Х. Изв. АН Азерб. ССР, серия физ.-техн. и матем. наук, II, 1982, № 6.

Институт математики и механики
АН Азерб. ССР

Поступило 3. V 1982

Л. Х. Талыбы

ТЕРМОӨЗҮЛУ ПЛАСТИКЛИИН ДӘЛИШЭН ЙҮКЛӘНМӘДЭ МУНАСИБӘТЛӘРИНӘ ДАИР.

Мәгәләдә өзүлү пластик мұбытләри (йүкләнмәдә вә йүкден башалмада мұхтәлиф хассасләре малик деформасијаланан реоном мұбытләри) дәлишэн йүкләнмә тән-

ликләри—В. В. Москвитинин мәлүм тәнликләриини варианты тәхлиф өзүнур вә бу тәнликләрә дахил олан функцияларын, сабитләрни тәчрүби тә'жин едилмәсі үсулу верилир. Башланғыч йүкләнмә тәнликләри кими дәлишэн йүкләнмә тәнликләри дәриазын јолла мәсәлә һәллинә тәтбиг үчүн даһа әлвериши мұнасибәтләре кәтирилир. Гејри-гәрарлашмыш вә гејри-бирчынс температур саңасини нәзәрә алмагла, дәлишэн гејри-изотермик йүкләнмәдә чысмий кәркинилек-деформасија вәзијәтини тә'жин етмәжे имкан берән теорем—В. В. Москвитинин дәлишэн йүкләнмә гаргында теореминин аналогу исбат олунур.

L. Kh. Talyby

TO THE RELATIONS OF THE THERMO-VISCOUS-PLASTICITY UNDER THE REPEATED LOADINGS

The article offers the equations of the repeated loading of the viscous-plastic medium (the reconomical deformable medium, properties of which under the loading and off-loading are different) taking into account the sufficiently general image of the temperature on the mechanical property. It is reduced to the method of the experimental definition of the material function and constant appearing in these equations. It is converted similarly to the equation of initial loading. Taking into account the non-stationarity and non-homogeneity of temperature field, the theorem-analogue of the V. V. Moskvitin theorem on the variable loading is proved, which permits without solution of the complementary problem to define the stress-deformable condition of the body under the repeated non-isothermal loading by the certain solution of the corresponding problem under the loading from natural conditions.

Г. М. НИФТИЕВ, С. А. АБУШОВ, Б. Г. ТАГИЕВ

ОСОБЕННОСТИ ФОТОПРОВОДИМОСТИ ЛЕГИРОВАННЫХ МОНОКРИСТАЛЛОВ GaSe <Sn>

(Представлено академиком АН Азербайджанской ССР М. И. Алисевым)

Одной из особенностей селенида галлия является резко выраженная анизотропия свойства, обусловленная слоистостью структуры и анизотропией химической связи. Связь между атомами внутри слоев носит в основном ковалентный характер, а между слоями она является слабой связью типа Ван-дер-Ваальса. Каждый слой кристалла построен из четырех гексагональных плотноупакованных одноатомных подслоев, расположенных в последовательности Se—Ga—Ga—Se. В зависимости от упаковки слоев существуют β , ϵ , γ - и δ -политипы [1,2]. Из-за структурных особенностей слоистые кристаллы, в том числе GaSe, стали объектом многих экспериментальных и теоретических исследований, обзоры которых приведены в [3,4].

В работе [5] исследована фотопроводимость образцов монокристаллов GaSe, омические контакты у которых созданы на одной зеркальной поверхности, перпендикулярной к оптической оси С. Направление поляризованного света параллельно слоям. Хотя в этом случае возможна реализация случая $E \parallel C$, однако при такой конфигурации электродов электрическое поле, которое обуславливает перенос образованных photoносителей, распределяется в тонком приповерхностном слое. Следовательно, не все photoносители, созданные светом в объеме полупроводника, оказываются во внешнем поле и потому дают незначительный вклад в фотопроводимость.

В [6] рассмотрено влияние анизотропии подвижности носителей заряда на фотопроводимость нелегированных монокристаллов GaSe при различных конфигурациях токовых контактов. Но образцы всех конфигураций освещаются светом, направление которого параллельно оптической оси С, что не позволяет реализовать случай $E \parallel C$.

Спектральное распределение фотоэдс и фототока нелегированных монокристаллов GaSe с n - и p -типа проводимости при различных конфигурациях токовых контактов и различных направлениях распространения света относительно оси С кристалла рассмотрено также в [7].

Однако в [5–7] не учтены роль примесей и влияние полярности приложенного напряжения на спектр фотопроводимости в зависимости от конфигурации контактов.

Целью настоящей статьи является выяснение роли структурных особенностей в фотоэлектрических свойствах, определение механизма примесной фотопроводимости и влияние полярности освещаемых при-

контактных областей на спектр фотопроводимости монокристаллов GaSe, легированных оловом.

Для достижения поставленной цели нами приготовлены образцы двух конфигураций. В первом случае оба контакта наносились напылением индия в вакууме на одну из зеркальных поверхностей, перпендикулярных к оптической оси С кристалла, а свет падал в направлении вдоль оси С. Во втором случае сплошные токовые контакты нанесены на противоположные зеркальные поверхности, перпендикулярные к оси С, а световой зонд направлен вдоль слоев.

Эксперименты проводились при температурах 293 и 77 К. Монокристаллы в-модификации p -GaSe:0,01 ат. % Sn выращены методом Бриджмена. Удельное сопротивление при 293 К вдоль слоев $\rho_{\parallel} = 3,5 \times 10^7$ Ом·сл и поперек слоев $\rho_{\perp} = 1,4 \cdot 10^8$ Ом·сл.

Для исследования спектрального распределения фотопроводимости использовался свет, модулированный дисковым модулятором частотной модуляции 19 Гц. Сигнал фотопроводимости снимался с нагрузочного сопротивления и усиливался селективным микровольтметром типа У2-6, а затем после синхронного детектирования записывался на самописце КСП-4.

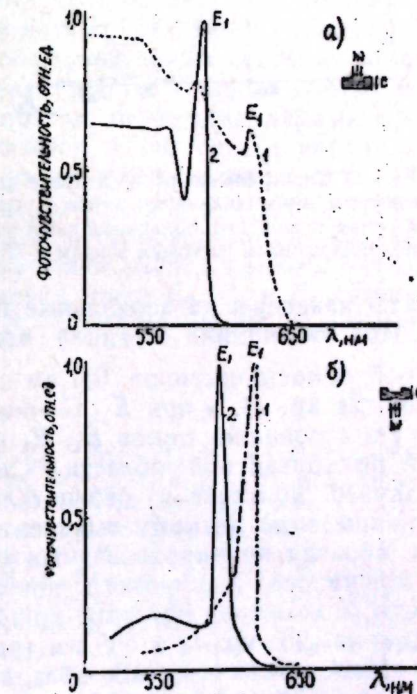


Рис. 1. Спектральное распределение фоточувствительности монокристаллов GaSe при расположении токовых контактов на освещаемой (а) и неосвещаемой (б) поверхностях образца при 293 и 77 К. Толщина кристалла 2 мм

На рис. 1 при 77 и 293 К представлены кривые спектрального распределения фоточувствительности для случая освещения противоположных поверхностей, перпендикулярных к оси С, на одной из которых созданы токовые контакты. Рис. 1а показывает, что при 293 К, когда свет направлен вдоль оси С, со стороны токовых контактов на спектральном распределении фотопроводимости появляются два максимума при длинах волн 583 и 618 нм (кр. 1), а при 77 К на

спектре фоточувствительности выявлены один ярко выраженный максимум ($\lambda = 588$ нм) и глубокий минимум ($\lambda = 575$ нм)—кр. 2. В случае, когда свет падает на бесконтактную поверхность кристалла вдоль оси С при 293 К на спектре выявлен ярко выраженный узкий пик ($\lambda = 618$ нм), который при 77К смещается в область коротких волн $\lambda = 588$ нм (рис. 1б).

(Кривые спектрального распределения фоточувствительности в случае, когда световой зонд направлен перпендикулярно к оси С кристалла, представлены на рис. 2. При этом сплошные токовые кон-

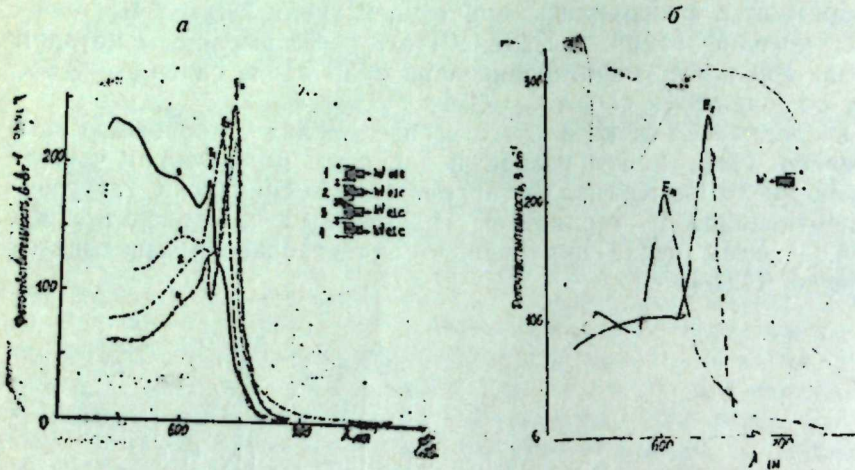


Рис. 2. Спектральное распределение фоточувствительности монокристаллов GaSe при освещении перпендикулярно к оси С кристалла. Расстояние между контактами 2 мм: а — при освещении поляризованным световым зондом и 293 К; б — при освещении неполяризованным световым зондом и 77 К (кр. 1); 293 К (кр. 2)

такты нанесены на зеркальные поверхности, перпендикулярные к оси С. При освещении средней части образца световым зондом в виде узкой полосы шириной 0,5 мм в случае $E \perp C$ выявляется пик E_2 (рис. 2а кр. 1), а при $E \parallel C$ —пики E_1 и E_3 (рис. 2а, кр. 2). Величина и существование пиков E_1 , E_2 и E_3 зависят от полярности освещаемой приконтактной области. Смещение светового зонда от положительного контакта к отрицательному приводит к росту пика E_3 и одновременно четкому выявлению пика E_1 (рис. 2а, кр. 4). Освещение образца неполяризованным светом приводит к появлению одного интенсивного и широкого примесного пика в спектре фотопроводимости, положение которого при 293 и 77К соответствует длинам волн 642 (рис. 2б, кр. 1) и 605 нм (рис. 2б, кр. 2) соответственно.

Монокристаллы GaSe обладают зеркальной поверхностью и малой концентрацией поверхностных дефектов [8]. Существование высокой чувствительности в области коротких длии волн в случае, когда токовые контакты расположены на освещаемой поверхности, связано с малой вероятностью поверхностной рекомбинации. Сужение области спектральной фоточувствительности в случае, когда токовые контакты расположены на неосвещаемой поверхности, перпендикулярной оси С (рис. 1б), связано с межслоевыми барьерами и анизотропией подвижности носителей заряда [9–11]. Резкое уменьшение фоточувстви-

тельности в области коротких длии волн ($\hbar\nu \geq E_g$) происходит из-за малой подвижности носителей заряда вдоль оси С. При этом очень незначительная часть созданных носителей заряда участвует в фотопроводимости.

Следует отметить, что в целегированных монокристаллах GaSe независимо от способа освещения и конфигурации kontaktов выявляется только пик E_1 , который связан с распадом прямого экситона на дефектах, обусловленных упаковкой слоев и неконтролируемыми примесями.

При введении в GaSe примеси Sn в запрещенной зоне образуются мелкие акцепторные центры, которые частично могут термооптически заполняться электронами. Эти центры при освещении положительного или отрицательного электрода заполняются дырками или электронами и инжектированными электрическими полями и светом. При освещении положительной приконтактной области примесная фотопроводимость очень слабая, а в случае освещения отрицательной приконтактной области она становится резко выраженной. Поэтому с движением светового зонда от середины к отрицательному электроду примесная фотопроводимость растет.

Исследование спектрального распределения фотопроводимости при различных конфигурациях токовых kontaktов и направлений света показывает, что для изучения примесных состояний в слоистых полупроводниках GaSe удобным является случай, когда световой зонд направлен перпендикулярно к оси С кристалла, а токовые контакты находятся на противоположных поверхностях, перпендикулярных оси С, так как длина пути света увеличивается и тем самым увеличивается число fotoносителей, вносящих вклад в фотопроводимость.

Сравнение полученных данных с результатами исследований поглощения [11], электропоглощения [12] и фотопроводимости [13, 14] позволяет заключить, что за пик E_1 ответствен распад прямого экситона на дефектах кристаллической решетки, пики E_2 , E_3 и E_4 связаны с переходом электронов с уровнями $E_v + 0,069$, $E_v + 0,098$, $E_v + 0,106$ эВ в зону проводимости.

Литература

1. Jellinek F. a. Hahn H. Zs. Naturf., 16, 1961, 713.
2. Abdullaeva S. G. a. Mamedov H. S. Phys. Stat. Sol. (a), 40, 1977, k 7.
3. Evans B. L. Optical and electrical properties of layer structures, ed. P. A. Lee. Dordrecht, 1976, 1.
4. Williams P. M. Optical and electrical properties of layer structures, ed. P. A. Lee. Dordrecht, 1976, 273.
5. Мехтиев Н. М., Рудь Ю. В., Салаев Э. Ю. ФТП, 12, 1978, вып. 8, 1566.
6. Kaznicki Z. T., Muschke K., Shimid P. J. Phys. Sol. Stat. Phys., 12, 1979, 3749.
7. Adduci F., Ferrà M., Pantalo P., Cingolani A., Minafra A. Phys. Stat. Sol. (a), 15, 1973, 303.
8. Manfredotti C., Molinari A. M., Mukli R., Rizzo A. a. Vasanelli L. V. Il Nuovo Cimento, 39B, 1977, 257.
9. Shimid P. H. a. Moose K. Helv. Phys. Acta, 45, 1972, 870.
10. Тагиев Б. Г., Нифтыханов Г. М., Алиев Н. А., Плиев Ф. И., Меджидов А. Б., Гасанов И. А. Изв. АН Азерб. ССР, серия физ.-техн. и матем. наук, 1978, №4, 67.
11. Sasaki S. V., Hamaguchi C. IL Nakai Japan. J. Appl. Phys., 14, 1975, 494.
12. Thaun Le Chia, Depeursinge C. Solid State Communication, 21, 1977, 317.
13. Беленький Г. Л., Дильтазов Т. Г., Нейманзаде Н. К. Салаев Э. Ю., Сулайманов Р. А., Мамедов Ш. С. Изв. АН Азерб. ССР, серия физ.-техн. и матем. и наук, 1976, № 4, 47.
14. Алиев И. М., Гаджиев А. Р., Тагиев Б. Г. ФТП, 15, 1981, вып. 12, 2407.

Институт физики АН Азерб. ССР

Поступило 12. III 1982

К. М. Нифтиев, Б. И. Тағыев, С. А. Абушов

АШГАРЛЫ $\text{GaSe}_{\langle \text{Sn} \rangle}$ МОНОКРИСТАЛЛАРЫНЫН
ФОТОКЕЧИРИЧИЛИЖИННИН ХУСУСИЙЛӘТЛӘРИ

Мұхтәлиф конфигурациялы чәрәжан контактлары одан $\text{Ga} > \text{Se}$ нүмүнәләринин фотодәссаслыгынын спектрал нағламасы ишығын полјаризација векторунун кристалын С охуна наәзәрән мұхтәлиф вәзијәтләрендә вә мұхтәлиф гүтбұлу электронлары ишыгландырмагда тәддиге едилмишdir. Дағы узунлугуни 618 нм (E_1) 630 нм (E_2) вә 638 нм (E_3) гијметләрненде вә 642 нм (E_4) дөрд пик ашқар едилмишdir. $E \parallel C$ олдугда E_x , $E \perp C$ олдугда E_1 вә E_3 , полјаризә олунмамыш ишығ зонду илә ишыгландырылғада исә дағла (E_4) пики мушаһиде олунур. Мүәйжін едилмишdir ки, E_1 пики дүз экситонни кристал гәфесинин дефектләрненде парчаламасы, E_2 вә E_3 вә E_4 пикләри исәлектроплары $E_v + 0,07$, $E_v + 0,098$ вә $E_v + 0,106$ сәвијјәләрненде кечиричи зонада кечмәси илә әлагәдардыр.

G. M. Niftiev, S. A. Abushov, B. G. Tagiev

PHOTOCONDUCTIVE PECULIARITIES IN DOPED $\text{GaSe}_{\langle \text{Sn} \rangle}$
MONOCRYSTALS

The spectral distribution of photosensitivity under different configurations of current leading with the polarized light vector directed to the C -axis of the crystal and towards the polarity of the illuminated electrodes was investigated. Three peaks at the wave lengths of 618 (E_1), 630 (E_2), 638 (E_3) and 642 (E_4) nanometers were revealed in the photosensitive spectra. In case of $E \parallel C$ peak E_2 and $E \perp C$ peak E_1 and E_3 were manifested. Under the illumination of non-polarised light, the wide mixed impurity peak was observed at the wave-length of 642 nanometers. It is established that for peak E_1 decay of direct excitons on the defective crystal lattice is responsible. Peaks E_2 and E_3 are related with the electron junction (transfer) level $E_v + 0.069$ eV, $E_v + 0.098$ eV, $E_v + 0.106$ eV in the conduction band.

АЗӘРБАЙЧАН ССР ЕЛМЛӘР АКАДЕМИЈАСЫНЫН МӘРҮЗӘЛӘРИ

ДОКЛАДЫ АКАДЕМИИ НАУК АЗЕРБАЙДЖАНСКОЙ ССР

ТОМ XL ЧИЛД

№ 6

1984

УДК 611.315.592

ФИЗИКА ПОЛУПРОВОДНИКОВ И ДИЭЛЕКТРИКОВ

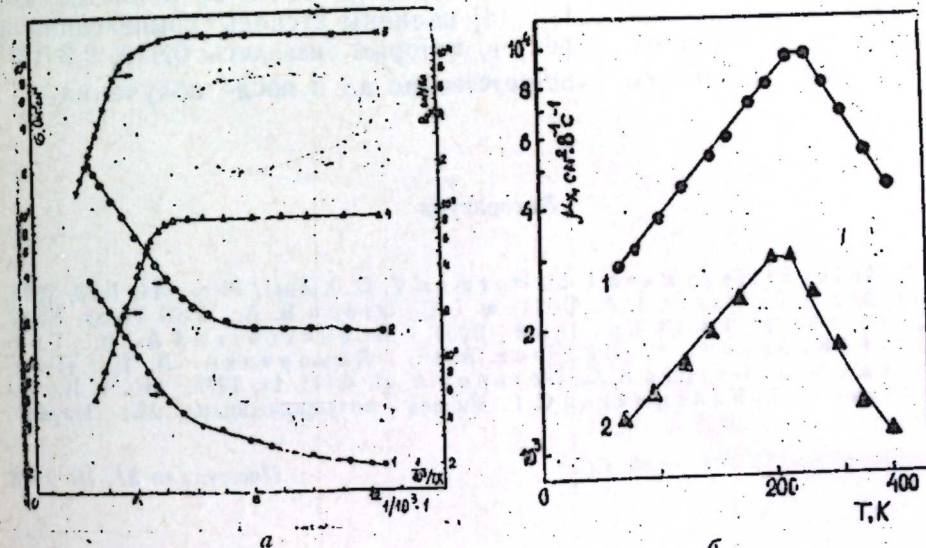
Член-корр. АН Азерб. ССР Э. Ю. САЛАЕВ, А. Ш. АБДИНОВ,
К. А. АСКЕРОВ, Ф. И. МАМЕДОВ, Г. С. СЕИДЛИ

ЭЛЕКТРИЧЕСКИЕ СВОЙСТВА ОБЛУЧЕННЫХ БЫСТРЫМИ
ЭЛЕКТРОНАМИ МОНОКРИСТАЛЛОВ $n\text{-Cd}_x\text{Hg}_{1-x}\text{Te}$

Исследование влияния электронного облучения на электрические свойства $\text{Cd}_x\text{Hg}_{1-x}\text{Te}$ проведено при низких температурах ($T < 80$ К) и небольших интегральных потоках электронов (до $\Phi = 5 \cdot 10^{15} \text{ см}^{-2}$) [1,2], при $T = 300$ К, $\Phi \leq 2,2 \cdot 10^{18} \text{ см}^{-2}$, $\epsilon = 2$ МэВ для кристаллов с $x = 0,24 - 0,28$ [3].

В данной статье приведены результаты исследования электрических свойств кристаллов $n\text{-Cd}_{0,2}\text{Hg}_{0,8}\text{Te}$, облученных при $T=300$ К интегральными потоками электронов до 10^{16} см^{-2} с $\epsilon = 25$ МэВ.

Изучаемые образцы размером $0,05 \times 0,20 \times 0,10 \text{ см}^3$ вырезались из монокристаллических слитков, выращенных методом Бриджмена—



Стокбаргера. Исходная (до облучения) нескомпенсированная концентрация и подвижность свободных носителей заряда (электронов) в них при 77 К составляли соответственно $3 \cdot 10^{14} \text{ см}^{-3}$ и $3 \cdot 10^3 \text{ см}^2 \cdot \text{В}^{-1} \cdot \text{с}^{-1}$.

Перед измерением образцы подвергались химическому трагению и припаиванием на открытом воздухе снабжались индивидуальными токовыми и холловскими контактами. В диапазоне 77–335 К измерялись температурные зависимости электропроводности (σ), постоянной Холла (R_H) и холловской подвижности (μ_x). Измерения производились в режиме постоянного тока и постоянного магнитного поля ($H=4$ кЭ).

Установлено, что в рассмотренных условиях конверсии типа проводимости изучаемых образцов не происходит. На рисунке (а) приведены характерные кривые температурной зависимости σ (кр. 1 и 2 до и после облучения соответственно) и R_x (кр. 3 и 4 до и после облучения соответственно), а на рисунке б— μ_x (кр. 1 и 2 соответственно до и после облучения). Как видно из рисунков, электронное облучение фактически не влияет на ход зависимостей $\sigma(T)$, $R_x(T)$ и $\mu_x(T)$, оно меняет лишь численные значения этих параметров. В частности после электронного облучения проводимость изучаемых образцов и концентрация свободных носителей тока в них увеличиваются, а подвижность свободных носителей заряда уменьшается.

Полученные результаты свидетельствуют о том, что при электронном облучении изучаемые образцы вводятся точечные радиационные дефекты донорного типа. Относительное изменение электрических параметров $(\mu_x = \frac{\sigma - \sigma_0}{\sigma_0}, \gamma_n = \frac{n - n_0}{n_0}, \gamma_p = \frac{\mu - \mu_0}{\mu_0})$, где σ_0, n_0, μ_0 и σ, n, μ —значения этих параметров при данной температуре до и после облучения соответственно) зависит от температуры и свое наибольшее значение получает при низких температурах (где доминирует примесная проводимость). При 77 К $\gamma_0 \approx 9, \gamma_n \approx 20; \gamma_p = 1,4$. В области относительно высоких температур (где преобладает собственная проводимость) с ростом температуры γ_0 и γ_n уменьшаются (почти до ~ 4 и ~ 3 соответственно), а γ_p почти не меняется. По формуле Конуэлла—Вайскопфа [4] оценены степень компенсации и концентрация точечных дефектов, которые оказались $0,999, 9,3 \cdot 10^{17} \text{ см}^{-3}$ и $0,995; 2,2 \cdot 10^{18} \text{ см}^{-3}$ соответственно до и после облучения.

Литература

1. Meingailis J., Ruan I. L., Hartman T. C. J. Appl. Phys., 44, 1973, 2647.
2. Mallon C. E., Nabeg I. A., Collew I. E., Green B. A. IEEE Trans. Nucl. Sci., 1973, NS-20, 214.
3. Брудный В. Н., Войцеховский А. В., Груш З. Г., Кривов М. А., Липенко А. И., Лимаренко Л. Н., Пашковский М. В., Петров А. С., Потапов А. И. ФТП, 11, 1977, 540.
4. Бонч-Бруевич В. Л., Калашников С. Г. Физика полупроводников, М., "Наука", 1977.

Институт физики АН Азерб. ССР

Поступило 31. III 1983

Е. І. Салаев, Э. Ш. Абдинов, К. Э. Эскеров, Ф. И. Мамедов,
Г. С. Сейидли

СҮР'ЭТЛИ ЕЛЕКТРОН ДАСТАСИ ИЛЭ ШУАЛАНДЫРЫЛМЫШ $n-Cd_{0,2}Hg_{0,8}Te$ МОНОКРИСТАЛЛАРЫНЫН ЕЛЕКТРИК ХАССӘЛӘРИ

Мәгәләдә 300 К температурда сүр'этли электрон дастаси илэ шуаландырылмыш $n-Cd_{0,2}Hg_{0,8}Te$ монокристалларында электрик кечиричилини, нола сабитине вә јүјүрүклюје шуаланмасы тәсир иеရәнилмишиdir. Мүәјјәнәшдирилмишиdir ки, электрон шуаланмасы һәмни кәмијэтләрин температур асылылыгына тәсир көстәрми,

жалныз онларын эдәй гијметини дәжишдирир. Алымныш нәтиҗәләр шуаланма заманы ерәнилән нүмүнәләрә негтәви радиасија дефектләринин дахил олмасы илэ изән едилir. Шуаланмамыш вә шуаландырылмыш нүмүнәләр учун негтәви дефектләрин концентрацијасы ($\sim 9,3 \cdot 10^{17}$ вә $2,2 \cdot 10^{18} \text{ см}^{-3}$) вә компенсација дәрәҗәси (0,999 вә 0,995) тәјин едилмишиdir.

E. Yu. Salaev, A. Sh. Abdinov, K. A. Askerov, F. I. Mamedov, G. S. Seidli

ELECTRICAL PROPERTIES OF $n-Cd_xHg_{1-x}Te$ SINGLE CRYSTALS IRRADIATED BY HIGH-SPEED ELECTRONS

The temperature dependence of electrical parameters of $n-Cd_xHg_{1-x}Te$ single crystals irradiated by high-speed electrons in 77–300 K temperature region was investigated. Results may be explained by implantation of point donors defects on irradiation. The levels of compensation and concentration of point defects are obtained.

Э. И. ГАСАНОВ

**ОБОБЩЕННЫЙ ТЕСТОВО-ДИФФЕРЕНЦИАЛЬНЫЙ АЛГОРИТМ
ПОВЫШЕНИЯ ТОЧНОСТИ ИНФОРМАЦИОННО-
ИЗМЕРИТЕЛЬНЫХ СИСТЕМ**

(Представлено академиком АН Азербайджанской ССР А. А. Эфендизаде)

Широкое применение в информационно-измерительных системах (ИИС) микропроцессорной техники привело к качественно новым методам и средствам построения ИИС. Если раньше основное внимание разработчика было сосредоточено на схемотехнике ИИС, то в настоящее время в связи с использованием микропроцессоров наибольшее внимание обращено на системотехнику, алгоритмическое и программное обеспечение ИИС.

Среди программного обеспечения особое значение приобрели алгоритмы повышения точности, которые позволяют строить системы требуемыми метрологическими характеристиками на базе неточных исходных элементов. Синтез алгоритмов повышения точности является важнейшим научным направлением информационно-измерительной техники. Решение этой задачи в настоящее время усложняется тем обстоятельством, что существенно расширился круг физических величин, подлежащих измерению. Одновременно возросло разнообразие функций преобразования измерительных систем, для которых должны быть синтезированы алгоритмы повышения точности. Наметился переход от измерительных систем с линейными функциями преобразования к системам с существенно нелинейными функциями, описываемыми полиномами высоких степеней. В этой связи весьма актуальными является получение обобщенных алгоритмов повышения точности, справедливых практически для всех видов функций преобразования, из которых как частный случай могут быть получены все другие алгоритмы.

В статье впервые делается попытка получения обобщенного тестово-дифференциального алгоритма, на базе которого могут быть построены практические ИИС, служащие для измерения электрических и особенно неэлектрических величин [1,2].

В самом общем случае функция преобразования любой измерительной системы может быть представлена в виде

$$y = \sum_{i=1}^n a_i x^{i-1}. \quad (1)$$

В соответствии с общей теорией дифференциальных измерительных систем [1] процесс измерения строится таким образом, что одновременно двумя каналами измеряются величины $(x_0 + x)$ и $(x_0 - x)$, а результаты y_0 и y_0' их измерения вычитаются; с учетом (1) получим

$$y_0 - y_0' = \sum_{i=2}^n a_i (x_0 - x)^{i-1} - \sum_{i=2}^n a_i (x_0 + x)^{i-1}. \quad (2)$$

Таким образом, в результате чистодифференциального алгоритма функционирования, как видно из (2), удается полностью исключить аддитивную погрешность, обусловленную параметром a_1 функции преобразования, который не входит в выражение (2).

Не нарушая общности рассуждений, положим в (2), что n — четное число; тогда (2) можно записать в виде

$$y_0 - y_0' = xb_1 + x^3b_2 + x^5b_3 + \dots + x^{n-1}b_{n/2}, \quad (3)$$

где

$$b_j = \sum_{i=j+1}^n a_i \frac{(i-1)(i-2)\dots(i-j)}{j!} x_0^{i-j+1}. \quad (4)$$

Как видно из (3), дифференциальный алгоритм не позволяет исключить мультипликативные составляющие погрешности, обусловленные параметрами a_2, a_3, \dots, a_n функции преобразования (1) или параметрами $b_1, b_2, \dots, b_{n/2}$ функции преобразования (3).

Для исключения как аддитивных, так и мультипликативных составляющих погрешности применим комбинированный тестово-дифференциальный метод [1], согласно которому проводят дополнительные тактовые преобразования аддитивных тестов вида $x + \theta_j$, где θ_j — известные приращения измеряемой величины. Каждое дополнительное тактовое преобразование осуществляется дифференциальным методом, в результате чего получается разность

$$y_j - y_0^j = (x + \theta_j) b_1 + (x + \theta_j)^3 b_2 + \dots + (x + \theta_j)^{n-1} b_{n/2}. \quad (5)$$

Очевидно, чтобы исключить мультипликативные погрешности, обусловленные влиянием параметров $b_1, b_2, \dots, b_{n/2}$, необходимо осуществить $n/2$ дополнительных тактовых преобразований аддитивных тестов, после чего получим систему уравнений вида

$$\left. \begin{aligned} y_0 - y_0^j &= xb_1 + x^3b_2 + \dots + x^{n-1}b_{n/2}, \\ y_1 - y_1^j &= (x + \theta_1) b_1 + (x + \theta_1)^3 b_2 + \dots + (x + \theta_1)^{n-1} b_{n/2}, \\ &\dots, \\ y_{n/2} - y_{n/2}^j &= (x + \theta_{n/2}) b_1 + (x + \theta_{n/2})^3 b_2 + \dots + (x + \theta_{n/2})^{n-1} b_{n/2}. \end{aligned} \right\} \quad (6)$$

В принципе получение обобщенного тестово-дифференциального алгоритма повышения точности ИИС сводится к решению системы уравнений (6) относительно измеряемой величины x при одновременном исключении влияния на результат измерения параметров $a_1, b_2, \dots, b_{n/2}$, связанных с параметрами a_2, a_3, \dots, a_n функции преобразования ИИС зависимостью (5).

Для выполнения поставленной задачи необходимо, как и при реализации любого тестового алгоритма, в качестве неизвестных рассмотреть не только изменяемую величину x , но и параметры $b_1, b_2, \dots, b_{n/2}$. В этом случае мы фактически имеем систему нелинейных алгебраических уравнений $(n-1)$ -й степени, которая, как известно [3], в общем виде решений не имеет.

Однако, пользуясь тем, что уравнения записаны для реальных систем, входная величина x которых является вещественным положительным или отрицательным числом, можно из последних $n/2$ уравнений системы (6) сначала определить параметры $b_1, b_2, \dots, b_{n/2}$, вы-

разив их через результаты измерения $(y_1 - y'_1), (y_2 - y'_2), \dots, (y_{n/2} - y'_{n/2})$, и тесты $(x + \theta_1), (x + \theta_2), \dots, (x + \theta_{n/2})$, а затем, подставив полученные значения b_i в первое уравнение системы (6), получим одно уравнение с одним неизвестным x , решение которого относительно этого неизвестного будет представлять в общем виде алгоритм функционирования тестово-дифференциальной ИИС.

Согласно правилу Крамера [3] решения последних $n/2$ уравнений системы (6) относительно параметров $b_1, b_2, \dots, b_{n/2}$ запишутся в виде

$$b_1 = \frac{D_1}{D}, \quad b_2 = \frac{D_2}{D}, \dots, \quad b_l = \frac{D_l}{D}, \dots, \quad b_{n/2} = \frac{D_{n/2}}{D},$$

где D —определитель вида:

$$D = \begin{vmatrix} (x+0_1)^1(x+0_1)^3\cdots(x+0_1)^{n-1} \\ (x+0_2)^1(x+0_2)^3\cdots(x+0_2)^{n-1} \\ \vdots & \vdots & \ddots & \vdots \\ (x+0_{n/2})^1(x+0_{n/2})^3\cdots(x+0_{n/2})^{n-1} \end{vmatrix},$$

а D —определитель вида

$$D_i = \begin{vmatrix} (x + \theta_1)^1 (x + \theta_1)^3 \cdots (x + \theta_1)^{2i-3} (y_1 - y_1^1) (x + \theta_1)^{2i+1} \cdots (x + \theta_1)^{n-1} \\ (x + \theta_2)^1 (x + \theta_2)^3 \cdots (x + \theta_2)^{2i-3} (y_2 - y_2^1) (x + \theta_2)^{2i+1} \cdots (x + \theta_2)^{n-1} \\ \vdots & \vdots \\ (x + \theta_{n/2})^1 (x + \theta_{n/2})^3 \cdots (x + \theta_{n/2})^{2i-3} (y_{n/2} - y_{n/2}^1) (x + \theta_{n/2})^{2i+1} \cdots (x + \theta_{n/2})^{n-1} \end{vmatrix}$$

Пользуясь теорией определителей [3], из (7) получим выражение для параметров b_i :

$$L_1 = \frac{1}{(x + \theta_1)(x + \theta_2) \cdots (x + \theta_{n/2}) \prod [(\theta_u - \theta_g)(2x + \theta_u + \theta_g)]} \times \\ \times \sum_{j=1}^{n/2} (-1)^{l+i} (y_j - y'_j) (x + \theta_1)(x + \theta_2) \cdots (x + \theta_{j-1}) (x + \theta_{j+1}) \cdots (x + \theta_{n/2}) \prod [(\theta_u - \theta_g)(2x + \theta_u + \theta_g)] \left[\sum_{\alpha \neq 1}^{\frac{n}{2}-1} (x + \theta_{\alpha_1})^2 \cdots (x + \theta_{\alpha_{n/2-1}})^2 \right],$$

$1 \leq g < u \leq \frac{n}{2}, \quad g \neq j, \quad u \neq j. \quad (8)$

В выражении (8) последний сомножитель представляет собой сумму всевозможных произведений по $\frac{n}{2} - i$ различных тестов. Число

таких произведений равно числу сочетаний $C_{\frac{n}{2}}^{\frac{n}{2}-1}$, т. е. сумма берется

по всем сочетаниям $\left(\frac{n}{2} - i\right)$ чисел $\alpha_1, \alpha_2, \dots, \alpha_{n-i}$ из чисел $1, 2, \dots$

$\frac{n}{2}$. Запись $a \neq j$ означает, что все сочетания, включающие j -й тест $x + 0$, из суммы исключаются.

Подставляя (8) в первое уравнение системы (6), получим основное тестовое уравнение, которое представляет собой уравнение с одним неизвестным x . Влияние всех параметров $b_1, b_2, \dots, b_{n/2}$, а следовательно, и параметров a_1, a_2, \dots, a_n функции преобразования ИС на результат измерения исключено. Этим обеспечивается полное исключение всех медленно меняющихся аддитивных и мультипликативных погрешностей результатов измерения.

виде Решение первого уравнения системы (6) относительно измеряемой величины x при подстановке этого уравнения в формулу (8) пред-
(7)ставляет собой обобщенный тестово-дифференциальный алгоритм
повышения точности ИИС.

Из этого алгоритма как частный случай могут быть получены все известные алгоритмы при любых степенях полинома, описывающего реальную функцию преобразования ИС. Так, для случая квадратичной функции преобразования, описанной в [2], получим из (8) и (6) известный алгоритм.

$$x = \frac{(y_0 - y_0)}{(v_0 - v_0) - (v_0 - v_0)} \theta. \quad (9)$$

Использование тестово-дифференциальных алгоритмов дает возможность строить точные системы для измерения электрических и особенно неэлектрических величин на базе неточных исходных элементов. В [2] описана в качестве примера силоизмерительная система, позволяющая получить погрешность 0,25 % в диапазоне температур -50 – 50°C при погрешности исходной ИС порядка 10 %.

Разработанный обобщенный тестово-дифференциальный алгоритм повышения точности ИС дает возможность практически для всех видов функций преобразования—как линейных, так и существенно нелинейных синтезировать точную ИИС на базе неточных исходных элементов.

Литература

1. Бромберг Э. М., Куликовский К. Л. Тестовые методы повышения точности измерений. М., «Энергия», 1978. 2. Гасанов Э. И. «ДАН Азерб. ССР» XXXIX, 1983, № 4, 33–38. 3. Курош А. Г. Курс высшей алгебры, М., «Наука», 1968.

АЗИСИ

Поступило 20. XI 1983

Е. И. Һәсәнов
ИНФОРМАСИОН-ӨЛЧҮ СИСТЕМЛӘРИНИН ДӘГИГЛИЈИНИН
ЖҮКСӘЛДИЛМӘСИ ҮЧҮН ҮМУМИЛӘШДИРИЛМИШ ДИФФЕРЕНСИАЛ-
ТЕСТЛІ АЛГОРИТМ

Мәгәләдә тестли вә дифференциал методлар асасында дәғиглијин йүксәлдилмәсіннен үмумиләшdirилмиш алгоритминин алымасы мәсәләләрindан бәһс едилди. Тәклиф олуан метод тест блокларында садә аддитив тестләрдән истифадә үчүн шәрәйт ярадыр. Мә'лүм олдугу кими, бу чүр тестләр електрик вә хүсусән гејри-электрик параметрләреү үчүн соңынан асапталыгыла яратылырып.

Тәклиф олунан алгоритмні практики тәтбігі өлчү системинин үмуми хәтасының көзделуесінде көрсетілген.

E. I. Gerasimov

GENERALIZED TEST-DIFFERENTIAL ALGORITHM OF EXACT INCREASING OF INFORMATION-MEASURING SYSTEMS

This paper deals with the problems of precision increase on the basis of combination of two methods of reformation and test methods. The combined methods make it possible to use the realization of algorithms of increase in precision only for adequate tests, which sufficiently expands the sphere of the use of perspective test methods employed in the increase of precision for measuring electric and particularly non-electric volumes.

В. И. ИВАНОВ-ОМСКИЙ, Р. Б. РУСТАМОВ, В. А. СМИРНОВ, Ш. У. ЮЛДАШЕВ

КОГЕРЕНТНОЕ ИЗЛУЧЕНИЕ С ОПТИЧЕСКОЙ НАКАЧКОЙ В $\text{Cd}_x\text{Hg}_{1-x}\text{Te}$ НА СВЯЗАННОМ ЭКСИТОНЕ

(Представлено академиком АН Азербайджанской ССР Э. Ю. Салаевым)

Спонтанное и когерентное излучения наблюдались авторами работ [1, 2]. В [1] спонтанное излучение состояло из одной достаточно широкой полосы. Эта полоса интерпретировалась как излучательная межзонная рекомбинация. С увеличением оптической накачки спонтанная линия сужалась и появлялось когерентное излучение с модовой структурой. В [2] также наблюдалось когерентное излучение на эпитаксиальных слоях $\text{Cd}_x\text{Hg}_{1-x}\text{Te}$.

Нами исследовались спектры фотолюминесценции как спонтанного, так и когерентного излучения в $\text{Cd}_x\text{Hg}_{1-x}\text{Te}$. Состав образцов $x \sim 0,3$, концентрация основных носителей $n_i \sim 10^{14} \text{ см}^{-3}$, ориентация (III). Эксперименты проводились при температуре жидкого гелия — 4,2 К.

Для записи спектров фотолюминесценции исследуемого материала использовалась установка, собранная на основе спектрометра ИКС-21 с репликой 200 шт/мм. Оптическая накачка фотолюминесценции осуществлялась полупроводниковым гетеролазером $\text{Ca}_{1-x}\text{Al}_x\text{As}$ с энергией кванта $\hbar\omega = 1,45$ эВ при температуре $T = 4,2$ К. Излучение от образца на выходе спектрометра регистрировалось охлаждаемым жидким азотом приемником Ge: Au.

На рис. 1 показаны спектры фотолюминесценции, полученные нами на пропускание (а) и на отражение (б). Как видно, спектр фотолюми-

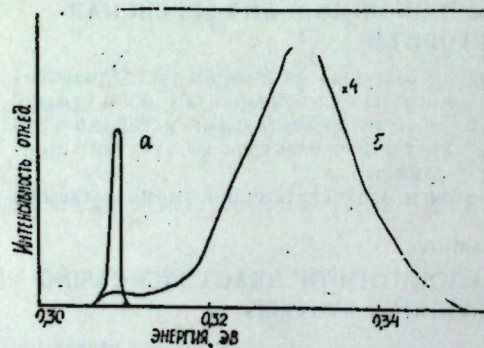


Рис. 1. Спектры фотолюминесценции на пропускание (а) и на отражение (б)

несценции на отражение (б) состоит из двух полос. Линейная зависимость интенсивности фотолюминесценции от интенсивности оптической накачки, большая полуширина линии, а также наблюдение фотолюми-

несценции вплоть до температуры жидкого азота позволили нам прописать коротковолновую полосу межзонным излучательным переходам. Более длинноволновая полоса обусловлена рекомбинацией экситонов, связанных на глубоких нейтральных акцепторах [3].

Из рис. 1а видно, что спектр фотолюминесценции на пропускание состоит только из одной достаточно мощной по интенсивности полосы. Энергетическое положение этой полосы совпадает со связанным экситоном в спектре фотолюминесценции на отражение. Увеличение интенсивности этой линии обусловливается усилением примерно на порядок мощности оптической накачки. Одна из наиболее характерных черт этой полосы — ее небольшая полуширина (~ 1 мэВ), суперлинейная зависящая от интенсивности оптической накачки. Такая суперлинейная зависимость экситонной полосы объясняется процессом фотонейтрализации компенсированных акцепторных центров [4].

Отсутствие межзонного перехода в спектре фотолюминесценции на пропускание связано с его большим коэффициентом поглощения.

Нами исследовалось также когерентное излучение в $\text{Cd}_x\text{Hg}_{1-x}\text{Te}$. В когерентном излучении усиление должно равняться, по крайней мере, потерям. Как известно, оно описывается следующим выражением:

$$g = \frac{c^2 j \eta}{8 \pi q n^2 v^2 \Delta v d},$$

где j — скорость возбуждения, η — коэффициент излучательной рекомбинации, n — показатель преломления, v — частота излучаемых фотонов в спонтанной полосе полуширины Δv , d — толщина активной области. Следовательно, полупроводник с меньшей шириной запрещенной зоны будет иметь большее усиление. С другой стороны, экситонная рекомбинация будет давать наибольшее усиление.

Все эти факторы позволили нам создать источник когерентного излучения в $\text{Cd}_x\text{Hg}_{1-x}\text{Te}$ на связанных экситонах. Вначале образцы механическишлифовались, затем травились в полирующим травителе (10% Br + 90% $\text{C}_2\text{H}_5\text{OH}$). В конечном счете образцы имели толщину около 50 мкм. Для создания резонатора Фабри—Перо образцы колотились. Длина резонатора составляла 200–300 мкм.

Геометрическое расположение оптической части установки показано на рис. 2. Как видно, излучение от гетеролазера $\text{Ga}_{1-x}\text{Al}_x\text{As}$

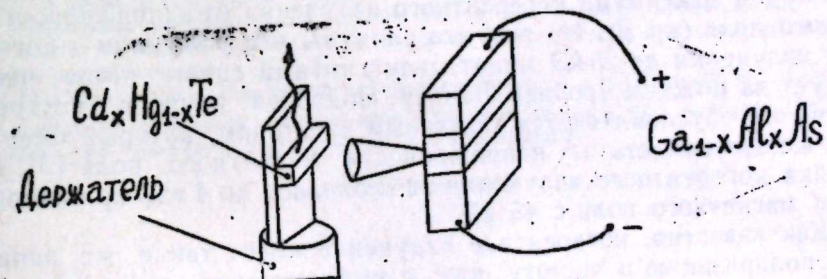


Рис. 2. Геометрическое расположение оптической части экспериментальной установки для исследования когерентного излучения

падало на поверхность (111) образца $\text{Cd}_x\text{Hg}_{1-x}\text{Te}$, а когерентное излучение в $\text{Cd}_x\text{Hg}_{1-x}\text{Te}$ исходило из сколотых граней образца.

На рис. 3 показаны спектры когерентного излучения в $Cd_xHg_{1-x}Te$ при различных значениях оптической накачки. Мощность 320 Вт/см² соответствует значению ниже порогового, а 365 Вт/см²—выше поро-

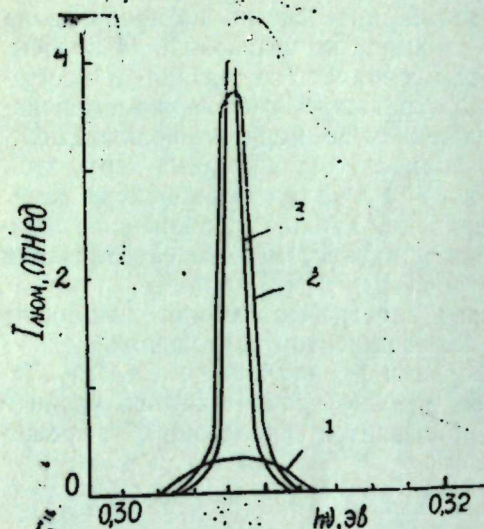


Рис. 3. Спектры когерентного излучения при различных оптических накачках:

1 — при 320 ; 2 — при 365 ; 3 — при 1000 Вт/см^2

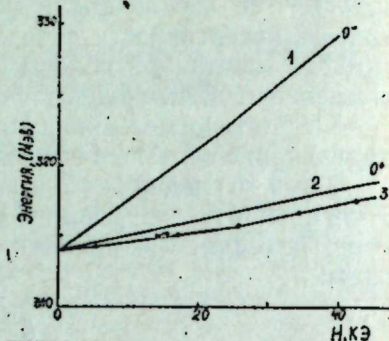


Рис. 4. Зависимость когерентного излучения от напряженности магнитного поля:

1, 2 — верхний и нижний уровни Ландау соответственно; 3 — положение максимума фотолюминесценции когерентного излучения при различных магнитных полях

гового. Дальнейшее увеличение мощности накачки не приводит к усилению интенсивности когерентного излучения. Это обстоятельство объясняется тем, что когерентное излучение переходит в режим насыщения.

Из-за малой эффективной массы электронов в $Cd_xHg_{1-x}Te$ ($x \sim 0,3$) большой интерес представляет изучение зависимости когерентного излучения от напряженности магнитного поля. На рис. 4 показаны верхний и нижний уровни (кр. 1 и 2) Ландау, а также зависимость положения максимума когерентного излучения от напряженности магнитного поля (кр. 3). Из рисунка следует, что максимум когерентного излучения до 25 кэ имеет диамагнитный сдвиг, после чего он следует за нижним уровнем Ландау. Подобная природа когерентного излучения обусловливается связанным экситоном, который имеет такую же зависимость от напряженности магнитного поля [5]. Перестройка когерентного излучения наблюдалась до 4 мэВ при напряженности магнитного поля с 45 кэ.

Как известно, когерентное излучение имеет такое же направление, поляризацию и частоту, как и вынуждающее его излучение. В силу этого нами была снята зависимость интенсивности фотолюминесценции от угла поворота анализатора. Выходящее когерентное излучение имело поляризацию. Степень поляризации составляла $\sim 25\%$.

Таким образом, нами впервые наблюдено когерентное излучение в $Cd_xHg_{1-x}Te$ на связанном экситоне.

Литература

1. Melngallis I. a. Strauss A. J. Appl. Phys. Lett., 8, 1966, 179.
2. Нагман T. C. J. Electr. Materials, 8, 1979, № 2, 191.
3. Иванов-Омский В. И., Курбанов К. Р., Мальцева В. А., Смирнов В. А., Юлдашев Ш. У. ФТП, 17, 1983, № 1, 27.
4. Курбатов Л. Н., Машенко В. Е., Могалькин Н. Н., Бритов А. Д. Радиотехн. и электрон., 12, 1967, № 7, 1298.
5. Иванов-Омский В. И., Кохановский С. И., Сейсян Р. П., Смирнов В. А., Юлдашев Ш. У. ФТП, 25, 1983, 4.

Физико-технический институт
им. А. Ф. Иоффе АН СССР

Институт космических
исследований
природных ресурсов АН Азерб. ССР

Поступило 20. III 1984

В. И. Иванов-Омский, Р. Б. Рустемов, В. А. Смирнов, Ш. У. Юлдашев

$Cd_xHg_{1-x}Te$ ЭЛАГЭЛИ ЕКСИТОНДА ОПТИКИ ДОЛДУРУЛМУШ КӨНЕРЕНТ ШУАЛАНМАСЫ

$Cd_xHg_{1-x}Te$ ($x=0,3$)-дә фотолюминесценция спектрләриниң эксолуимасы вә һопдурулмасы тәлгиг олуимушдур. Эксолуима фотолюминесценция спектри ини золагдан ибарәттәр. Гысадалғалы золаг зонадакы шуаланма рекомбинасијасы илэ, даға узуудалғалы золаг исо дәрин иеңтәрлек акцепторларла әлагәли экситонларын рекомбинасијасы илэ шәртләнір.

Иондурулма фотолюминесценция спектриндә бир вә өзөнгө гыса хәтт мүшаһидә олуңур. Енергетик вәзијәттән, еләгә дә өз табиэтине көрә бу хәтти билдәләнә. Дәрени иеңтәрлек акцепторларла әлагәли экситонларын рекомбинасијасының аид едирик.

Мәгәләдә ил дафә олараг, экситонда әлагәли $Cd_xHg_{1-x}Te$ -дә көнөрент шуаланмасы нағында мә'лумат верилир. Көнөрент шуаланмасының магнит саһесиниң кәркинилийнән асылылығы гејд едирил. Бурада һәмчинин $Cd_xHg_{1-x}Te$ -дә көнөрент шуаланмасының полярлышма дәрәчәси тә'жин едилемишdir.

V. I. Ivanov-Omskii, R. B. Rustamov, V. A. Smirnov, S. U. Yuldashev
COHERENT RADIATION WITH OPTICAL PUMPING IN $Cd_xHg_{1-x}Te$
ON A BOUND EXCITON

Reflection and transmission photoluminescence spectra in $Cd_xHg_{1-x}Te$ ($x=0,3$) were investigated. Reflection photoluminescence spectrum consists of two bands. Short-wave band is conditioned by interzone radiative recombination, and that of long-wave is due to recombination of excitons, which are bound on deep neutral acceptors.

Transmission photoluminescence spectrum has one band which is narrow enough. We explain this band by its energetic position and by its nature as recombination of excitons, which are bound on deep neutral acceptors.

This work is first to announce about coherent radiation on a bound exciton in $Cd_xHg_{1-x}Te$. The dependence of coherent radiation upon intensity of magnetic field is shown. The degree of $Cd_xHg_{1-x}Te$ coherent radiation polarization is also determined.

ФИЗИЧЕСКАЯ ХИМИЯ

А. Г. АБДУЛЛАЕВ, М. С. ГУСЕЙНОВА, Т. Д. ИБРАГИМОВ

МАТЕМАТИЧЕСКАЯ МОДЕЛЬ ПРОЦЕССА
ЭЛЕКТРОХИМИЧЕСКОГО ОСАЖДЕНИЯ CdHgTe

(Представлено академиком АН Азербайджанской ССР М. И. Алиевым)

В последние годы резко возрос интерес к получению и изучению свойств твердых растворов CdHgTe. Это связано с развитием фото- и оптоэлектроники, использующих на основе пленок CdHgTe высокоеффективные приемники ИК-излучения, которые обладают высокой обнаружительной способностью.

Получение однородных по молярному составу монокристаллов CdHgTe сопряжено со значительными технологическими трудностями. При изготовлении различных устройств для целей фото- и оптоэлектроники требуются тонкие пластины из CdHgTe (5—100 мкм), которые получают резкой, шлифовкой, полировкой монокристаллов. Однако эти процессы приводят к нарушениям в слоях монокристаллов и делают проблематикой целесообразность изготовления таких пластин.

Разработка методов получения слоев CdHgTe, которые бы обладали однородным молярным составом и физическими свойствами, приближающими к свойствам монокристалла, является весьма актуальной задачей. В частности большой интерес представляет возможность получения пленок CdHgTe при комнатных температурах электрохимическим методом. Между тем работы, описывающие получение CdHgTe этим методом, в литературе отсутствуют.

Настоящая статья посвящена получению тонких слоев CdHgTe электрохимическим методом и составлению математической модели процесса.

ЭКСПЕРИМЕНТ

Электрохимическое осаждение тройного сплава CdHgTe осуществлялось из электролита, содержащего водные растворы солей CdSO₄ и Hg(NO₃)₂, а также TeO₂, в режиме постоянного тока (pH 5—6, температура 20—25°C, плотность тока 3—5 А/дм²). Анализ образцов проводился на электронном микроскопе «УЭМ-100 С».

После проведения серии экспериментов (37 опытов) получены данные, которые и использованы для отыскания математического описания процесса, т. е. математической модели. Усредненные по значениям входных параметров результаты приведены в табл. 1. (Концентрации на входе приводятся в молях, а на выходе — в процентах).

С учетом сложности процесса, а также невозможности получения количественных соотношений из-за недостаточной изученности механиз-

ма процесса получены эмпирические соотношения, удовлетворяющие некоторым общим и обязательным условиям, таким, как сохранение масс, энергий зарядов и т. д.

Таблица 1

x_1	x_2	x_3	y_1	y_2	y_3
0,05	0,01	0,03	4,52	67,33	28,15
0,5	0,002	0,003	17,16	50,27	32,57
0,05	0,002	0,003	11,50	57,56	30,94
0,008	0,002	0,005	9,91	59,02	31,07
0,1	0,002	0,003	14,58	53,93	31,49
0,008	0,005	0,01	7,60	61,43	30,94
0,01	0,002	0,003	9,97	59,23	30,80
0,001	0,001	0,003	9,05	57,97	32,98

Отметим, что значения выходных параметров, т. е. y_1 , y_2 и y_3 , — даны в виде концентраций, поэтому имеем

$$y_1 + y_2 + y_3 = 100\%.$$

Кроме того, при построении модели должны выполняться условия

$$y_{i(1)} = 0 \text{ при } x_{i(1)} = 0,$$

$$y_{i(1)} \neq 0 \text{ при } x_{i(1)} \neq 0, \text{ а } x_{i(2,3)} = 0.$$

По определению, $y_i = \frac{P_i}{P_1 + P_2 + P_3} \cdot 100\%$, где P_i — вес i -го компонента в сплаве CdHgTe. В силу вышеуказанных условий и экспериментальных данных получены следующие расчетные уравнения модели:

$$y_1 = \frac{\theta_0 + \theta_2 x_2 + \theta_3 x_3 + x_1 (\beta_0 + \beta_2 x_2 + \beta_3 x_3)}{1 + c_2 \frac{x_2}{x_1} + a_3 \frac{x_3}{x_1}},$$

$$y_3 = \frac{r_0 + r_1 x_1 + r_2 x_2 + x_3 (t_0 + t_1 x_1 + t_2 x_2)}{x_1 + a_2 \frac{x_2}{x_3} + a_3}.$$

Коэффициенты этих зависимостей, найденные методом наименьших квадратов, сведены в табл. 2.

Таблица 2

θ_0	θ_2	θ_3	β_0	β_2	β_3	r_0
13,073	1907,777	-961,261	19,207	-9510,026	3403,104	-59,069
r_1	r_2	t_0	t_1	t_2	a_2	a_3
10831,889	122660,749	-55259,573	-13203,411	37513,924	0,0934	0,0068

Используя полученную модель, можно исследовать поведение системы при различных входных параметрах, варьируя начальные значения концентраций Cd, Hg, Te в исследуемом интервале.

Отметим, что значения u_1 и u_3 найденные по уравнениям (1) и (2), с достаточной точностью совпадают с их экспериментальными значениями для исследуемого интервала. Средняя погрешность этих значений не превышает 5–10%.

Выводы

1. Получены тонкие слои твердых растворов CdHgTe электрохимическим методом при комнатной температуре.

2. Построена математическая модель процесса, характеризующая зависимость выхода CdHgTe от концентрации входных компонентов в исследуемом интервале.

Литература

- Горбунова К. М., Полукаров Ю. М. «Электрохимия», I, 1964.
- Колежук К. В. Автореф. канд. дисс. Киев, 1981.
- Абдуллаев А. Г., Гусейнова М. С. «Азерб. хим. ж.», 1978, № 1.
- Ваграмян А. М., Усачев Д. Н., Клименко Н. Л. ЖФХ, 35, 1961.
- Левин А. И. Теоретические основы электрохимии. М., 1972.

ИПО КИ АН Азерб. ССР

Поступило 20. XII 1983

А. Г. Абдуллаев, М. С. Гусейнова, Т. Д. Ибраимов

CdHgGe-УН ЕЛЕКТРОКИМЈЕВИ ЈОЛЛА АЛЫНМАСЫ ПРОСЕСИНИН РИЈАЗИ МОДЕЛИ

Мәгәләдә отаг температурида CdHgGe-үн назик гатларының сабит чәрәјан режиминде электрокимјеви јолла алымасындан болыс едилир.

Бурада төдгөн олунаш интервалда CdHgGe-үн чыхышының кириш компонетләриндән асылылыгының характеристикасы едән процессин ријази модели верилир. Ымчинин кириш параметләринин мұхтәлиф гүйметләринде системни вазијәттің көстөрилир.

A. G. Abdullayev, M. S. Guseynova, T. A. Ibraimov

MATHEMATICAL MODEL OF ELECTROCHEMICAL DEPOSITION PROCESS

The work describes the obtaining of thin layers of CdHgTe by electrochemical method at room temperature and at constant current.

The mathematical model of the process is given, which characterises the dependence of CdHgTe output depending on the concentration of initial components in investigating interval.

The behaviour of the system at different magnitudes of initial parameters in the investigated interval is studied.

АЗӘРБАЙЧАН ССР ЕЛМЛӘР АКАДЕМИЯСЫНЫН МӘРҮЗӘЛӘРИ

ДОКЛАДЫ АКАДЕМИИ НАУК АЗЕРБАЙДЖАНСКОЙ ССР
ТОМ XL ЧИЛД № 6

1984

УДК 547.584.07+517.269+547.279+543.253

ФИЗИЧЕСКАЯ ХИМИЯ

М. С. САЛАХОВ, Н. Ф. МУСАЕВА, Р. С. САЛАХОВА, Э. Ш. МАМЕДОВ

ПОЛЯРОГРАФИЧЕСКОЕ ИССЛЕДОВАНИЕ КИНЕТИКИ ПРОЦЕССА РАСТВОРЕНИЯ ЧЕТЫРЕХХЛОРИСТОГО СЕЛЕНА В АЦЕТОНЕ

Реакцию взаимодействия четыреххлористого селена (SeCl_4) с непредельными соединениями осуществляют обычно в органических растворителях — четыреххлористом углероде или хлороформе [1], серном эфире [2, 3] и др.

Количественные данные по растворимости SeCl_4 в этих растворителях в литературе отсутствуют. Учитывая большую активность SeCl_4 в реакциях присоединения [2] или замещения [1], необходимо подобрать такие растворители, которые хорошо растворяют компоненты реакции при комнатной или низких температурах.

Ранее нами [4] было показано, что реакция присоединения SeCl_4 к N-аллилиминидам циклических 1,2-дикарбоновых кислот протекает в эфире или четыреххлористом углероде при температурах минус 20—30°C.

Далее было обнаружено, что ацетон при комнатной температуре хорошо растворяет оба компонента реакции и является удобным растворителем для изучения кинетики этой реакции полярографическим контролем SeCl_4 в реакционной смеси. Однако при выполнении кинетических экспериментов замечено, что продолжительность растворения SeCl_4 в ацетоне существенно сокращается с понижением температуры опыта.

В связи с этим представляло интерес изучить кинетику растворения SeCl_4 в ацетоне. Кинетику растворения SeCl_4 контролировали полярографическим определением его концентрации в ацетоне при температурах 5, 10, 15 и 20°C. Температура термостата регулировалась контактным термометром.

Опыт начинали с введения определенного количества (0,221 г) SeCl_4 в коническую колбу, содержащую 25 мл ацетона. Пробу отбирали микрошприцем после непродолжительного перемешивания содержимого колбы магнитной мешалкой. Зарегистрированную высоту первой волны восстановления SeCl_4 на полярограмме принимали за начало реакции. Скорость вращения оставалась всегда постоянной — 60 об/мин.

Объем проб был постоянен — 10 мкл, промежутки времени t , через которые отбирали пробы, были произвольными, но при этом соблюдали следующие условия: продолжительность отбора проб была минимальной и тем меньше, чем короче промежутки времени между отборами.

Сперва при полном растворении заданного количества SeCl_4 в 25 мл ацетона определяли высоты волны его, соответствующие концентрации при полном растворении (c) — H , мм. Затем в другом суде начинали проводить процесс растворения и определяли высоты

волны восстановления SeCl_4 , соответствующие промежуткам времени $t - H$, после чего определяли текущую концентрацию (C_t) по уравнению

$$C_t = \frac{H_t}{H} \cdot C. \quad (1)$$

Если кинетические кривые $\lg \frac{C}{C - C_t} - t$ линейны, то скорость растворения SeCl_4 вычисляли обычным способом по уравнению

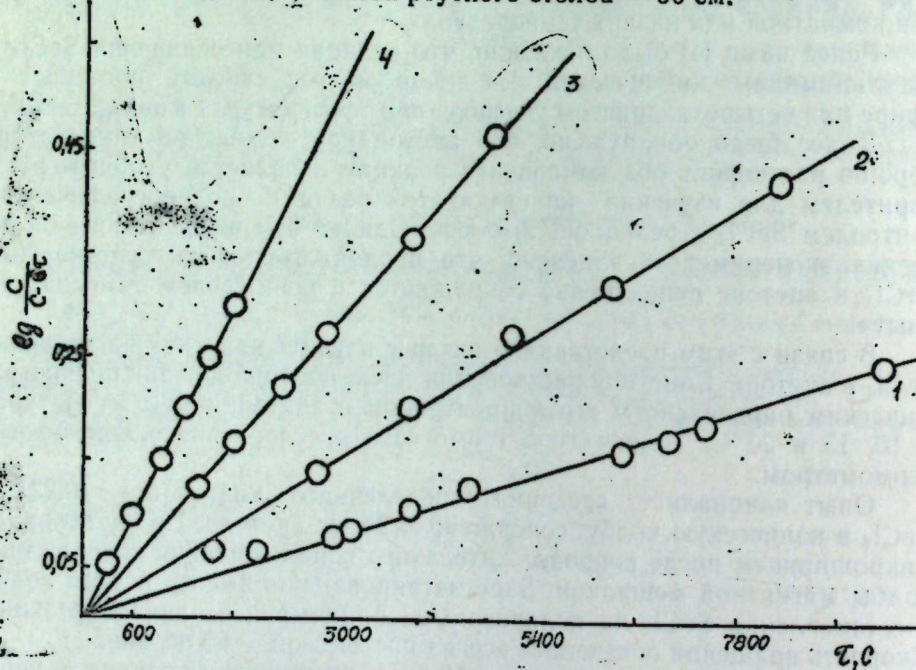
$$k = \frac{2,303}{t} \lg \frac{C}{C - C_t}, \quad (2)$$

которое является уравнением кинетики реакции первого порядка. Его можно записать в виде уравнения [5]

$$\lg \frac{C}{C - C_t} = kt. \quad (3)$$

где k — константа скорости растворения, выраженная в секундах.

Условия полярографирования были следующими: фон — 0,1 N раствор KCl в 25 %-ном водном растворе ацетона, объем фонового раствора — 5 мл, температура полярографирования $25 \pm 1^\circ\text{C}$, подавитель кислородных волн — сульфит натрия, период капания ртути — 3,5 с, масса одной капли — 5,5 мг/с, высота ртутного столба — 50 см.



Кинетика растворения SeCl_4 в ацетоне при различных температурах:
1 — 5; 2 — 10; 3 — 15; 4 — 20 °C

Высоты волн восстановления были взяты как среднее из трех измерений. Минимальная концентрация SeCl_4 для надежного определения при помощи этого метода составляла $0,05 \cdot 10^{-3}$ М при чувствительности $6 \cdot 10^{-8}$ мА.

Константы скорости и параметры активации вычислялись по методу наименьших квадратов [6]. Достоверность их проверялась при помощи t -критерия Стьюдента с надежностью 0,95 [7].

Кинетические кривые зависимости $\lg \frac{C}{C - C_t} - t$ имеют вид прямых (рисунок), проходящих через начало координат. Воспроизведенность скорости растворения очень хорошая — точки мало отклоняются от прямых. По результатам отдельных опытов составлена таблица, в которой приведены значения концентраций и скоростей растворения SeCl_4 для промежутков времени t , средние величины констант скоростей и термодинамических параметров активации растворения, вычисленные из температурной зависимости констант скорости первого порядка.

Кинетика процесса растворения SeCl_4 в ацетоне при различных температурах

	5°C		10°C		15°C		20°C	
$t, \text{с}$	$C_t, \text{моль/л}$	$k, \text{с}^{-1}$	$t, \text{с}$	$C_t, \text{моль/л}$	$k, \text{с}^{-1}$	$t, \text{с}$	$C_t, \text{моль/л}$	$k, \text{с}^{-1}$
2800	0,0868	$0,6109 \cdot 10^{-4}$	1600	0,0863	$1,0620 \cdot 10^{-4}$	1300	0,1381	$2,2132 \cdot 10^{-4}$
3900	0,1214	$0,6363 \cdot 10^{-4}$	2800	0,1554	$1,1796 \cdot 10^{-4}$	1800	0,1813	$2,2096 \cdot 10^{-4}$
9500	0,2417	$0,6057 \cdot 10^{-4}$	3900	0,2072	$1,2053 \cdot 10^{-4}$	2400	0,2244	$2,1723 \cdot 10^{-4}$
11400	0,2762	$0,6081 \cdot 10^{-4}$	5100	0,2589	$1,2402 \cdot 10^{-4}$	2900	0,2589	$2,1814 \cdot 10^{-4}$
12000	0,2935	$0,6314 \cdot 10^{-4}$	6300	0,2935	$1,2029 \cdot 10^{-4}$	3900	0,3108	$2,1200 \cdot 10^{-4}$
12600	0,3021	$0,6281 \cdot 10^{-4}$	8200	0,2453	$1,1961 \cdot 10^{-4}$	4900	0,3626	$2,1796 \cdot 10^{-4}$

$$k_{cp} = (0,61 \pm 0,007) \cdot 10^{-4} \text{ с} \quad k_{cp} = (1,18 \pm 0,05) \cdot 10^{-4} \text{ с} \quad k_{cp} = (2,17 \pm 0,03) \cdot 10^{-4} \text{ с} \quad k_{cp} = (3,93 \pm 0,14) \cdot 10^{-4} \text{ с}$$

$\lg A$	$11,59 \pm 0,16$
$E_a, \text{ ккал/моль}$	$20,12 \pm 0,20$
$\Delta H^\ddagger, \text{ ккал/моль}$	$19,55 \pm 0,19$
$\Delta S^\ddagger, \text{ э. с.}$	$15,32 \pm 0,7$
$\Delta G^\ddagger (235,6 \text{ К}), \text{ ккал/моль}$	15,18

Как видно, полученные нами значения константы скорости растворения при 20°C примерно в 7 раз больше, чем при 5°C .

Температурный коэффициент реакции равен 1,93 в интервале $5-10^\circ\text{C}$ и постепенно уменьшается с повышением температуры (до 1,81 в интервале $15-20^\circ\text{C}$), что указывает на кинетический контроль реакции растворения SeCl_4 [8] в ацетоне.

На основании полученных данных можно сказать, что полярографический метод может служить достаточно надежной основой научных представлений о реальных процессах растворения и весьма полезным дополнением при проектировании и усовершенствовании отдельных технологических схем.

Литература

- Деркач Я. Я., Пасмурцева Н. А. ЖОрХ, 9, 1973, 1415.
- Riley F., Vengels F. J. J. Org. Chem., 27, 1962, 2651.
- Мамедов Э. Ш., Салахова Р. С., Гаджили Т. М., Шахтахгинский Т. Н. «ДАН Азерб. ССР», XXXI 1978, № 5, 38.
- Мамедов Э. Ш., Салахов М. С., Ахмедов Г. Г., Салахова Р. С.

Бабаев Р. Х., Шахтахтинский Т. Н. Авт. свид. СССР № 771127, 1980.
 «Бюлл. изобр.» 1980, № 38. 5. Veleva St. React. Kinet. Catal. Lett., 13, 1980, 351.
 Б. Батуинер Л. М., Позин М. Е. Математические методы в аналитической технике.
 Л., «Химия», 1971, 7. Зайдель А. Н. Ошибки измерений физических величин. Л.,
 «Наука», 1974. 8. Каковский И. А., Поташников Ю. М. Кинетика процессов
 растворения. М., «Металлургия», 1975.

Институт хлорорганического синтеза
 АН Азерб. ССР

Поступило 27. IV 1981

М. С. Салахов, Н. Ф. Мусаева, Р. С. Салахова, Е. Ш. Мамедов

**СЕЛЕНДОРДХЛОРИДИН АСЕТОНДА ҮЭЛЛОЛМА (ПРОСЕССИННИН
 КИНЕТИКАСЫНЫН ПОЛЯРОГРАФИК ҮСУЛЛА ТӘДГИГИ)**

Мәгаләдә селендордхлоридин асетонда үэлл олмасы кинетикасынын полјарографија
 үсулу илә тәдгигидон, һәмни процесси сүр'эт сабиттән, кинетики ә термодинамики
 параметрләринни тә'жинидән бәйс едилир.

M. S. Salakhov, N. F. Musaeva, R. S. Salakhova, E. Sh. Mamedov
**POLAROGRAPHIC INVESTIGATION OF KINETICS FOR SOLUTION PROCESS
 OF SELENIC CHLORIDE IN ACETONE**

The kinetics of solution process of selenic chloride in acetone is studied polarographically. The
 rate constants, kinetic and thermodynamical parameters of activation for the reaction studied are
 determined.

АЗЭРБАЙЖАН ССР ЕЛМЛӘР АКАДЕМИЈАСЫНЫН МӘРҮЗӘЛӘРИ

ДОКЛАДЫ АКАДЕМИИ НАУК АЗЕРБАЙДЖАНСКОЙ ССР

ТОМ XL ЧИЛД

№ 6

1984

УДК 547.569.9+541.49+5+1.65+543.422.4

ОРГАНИЧЕСКАЯ ХИМИЯ

М. А. ШАХГЕЛЬДИЕВ, И. А. АЛИЕВ, Э. А. АГАЕВА

**ЭЛЕКТРОННЫЕ ЭФФЕКТЫ В АРОМАТИЧЕСКИХ
 СОЕДИНЕНИЯХ ЭЛЕМЕНТОВ VI ГРУППЫ**
 Электронодонорные свойства сelenоэфиров

(Представлено академиком АН Азербайджанской ССР Т. Н. ШАХТАХТИНСКИМ)

Элементоорганические соединения VI группы периодической системы являются достаточно сильными электронодонорами благодаря наличию у гетероатома неподеленных электронных пар (НЭП), способных к координации.

В то время как в литературе имеется обширный материал [1, 2] по электронодонорной способности эфиров и тиоэфиров, сведения об электронодонорных свойствах сelenоэфиров весьма ограничены [3, 4]; к тому же трактовка полученных результатов в ряде случаев противоречива [5].

В настоящей статье представлены результаты изучения методом ИК-спектроскопии электронодонорных свойств ряда сelenоэфиров PhSeR и R₂Se, где R — углеводородный остаток. В качестве меры электронодонорных свойств принят величина $\Delta\nu(\text{OH})$ — сдвиг частоты валентных колебаний фенольного гидроксила (относительно «свободных» мо-

значения $\Delta\nu(\text{OH})$ в ИК-спектрах H-комплексов *n*-типа
 соединений $\text{R}_2\text{R}'$ с фенолом

R	R'	(OH), cm^{-1}			$\Sigma\delta^*$
		$\delta=0$	$\delta=S$	$\delta=Se$	
C ₆ H ₅	CH ₃	150	171	168	+0,6
C ₆ H ₅	C ₆ H ₅	155	183	178	+0,5
C ₆ H ₅	C ₆ H ₇ -H	159	175	178	+0,485
C ₆ H ₅	C ₆ H ₇ -изо	168	192	178	+0,41
C ₆ H ₅	C ₆ H ₉ -H	162	177	177	+0,47
C ₆ H ₅	C ₆ H ₉ -изо	165	181	177	+0,475
C ₆ H ₅	C ₆ H ₉ -трет	212	200	189	+0,438
C ₆ H ₅	C ₆ H ₁₁ -H	165	174	181	+0,34
C ₆ H ₅	C ₆ H ₁₁ -цикло	170	195	193	+0,34
C ₆ H ₅	CH ₂ C ₆ H ₅	136	179	174	+0,815
C ₆ H ₅	C ₆ H ₅	103	149	147	+0,12
C ₂ H ₅	C ₂ H ₅	282	242	234	-0,2
H-C ₆ H ₅	C ₆ H ₇ -H	285	248	238	-0,23
C ₃ H ₇ -изо	C ₃ H ₇ -изо	297	262	252	-0,38
C ₄ H ₉ -H	C ₄ H ₉ -H	287	255	240	-0,26

лекул фенола), наблюдаемый при образовании фенолом комплекса с H-связью. Как известно [6], процесс образования H-комплексов не сопровождается разрывом ковалентных связей в реагирующих молекулах и

их глубокой перестройкой, поэтому прочность H-связи типа O—H...Se отражает величину электронной плотности на атоме Se в основном состоянии сelenоэфира, т. е. в конечном счете — его электронодонорные свойства.

В таблице приведены результаты измерений электронодонорной способности сelenоэфиров (в единицах сдвига $\Delta v(OH)$ фенола как способности протонодонора), а также значения $\Delta v(OH)$ для H-комплексов типа O—H...O [7] и O—H...S [8] с целью сопоставления относительной электронодонорной способности атомов O, S и Se в изоструктурных соединениях. Как видно, значения $\Delta v(OH)$ для PhSeR составляют 168—193 cm^{-1} , что заметно больше значений $\Delta v(OH)$ для аналогично построенных эфиров (кроме R-*трет*-C₄H₉), но с точностью до ошибки измерения ($\pm 3-5 \text{ cm}^{-1}$) совпадают со значениями $\Delta v(OH)$ для структурно подобных тиоэфиров (стр. [9]). Вместе с тем в соединениях PhЭR при R-*трет*-C₄H₉ наблюдается закономерное понижение значений $\Delta v(OH)$ и соответственно понижение электронной плотности на атоме Э в порядке O > S > Se. Аналогичная тенденция имеет место и в ряду R₂Э: последовательная замена атома Э на O, S и Se приводит к понижению электронодонорных свойств соединения. Таким образом, в случае изоструктурных арилаллифатических соединений PhЭR, отличающихся друг от друга природой гетероатома Э, электронодонорная способность уменьшается при варьировании Э в ряду Se ≈ S > O. В алифатических же соединениях R₂Э наблюдается обратная последовательность O > S > Se.

Что же касается влияния заместителей при атоме селена на электронодонорные свойства сelenоэфиров, токазалось, что здесь же как и в случае H-комплексов фенола с эфирами и тиоэфирами, наблюдается линейная корреляция величин $\Delta v(OH)$ с суммой индукционных констант Таfta ($\Sigma\sigma^*$) для этих заместителей:

$$\Delta v(OH) = (219 \pm 12) - (84 \pm 5) \Sigma\sigma^*, r = 0.998, s = 2.1.$$

Исключение составляют дифенилселенид и фенилбензилселенид, точки которых заметно отклоняются от линии регрессии в сторону более высокой основности*, поэтому соответствующие им значения $\Delta v(OH)$ в корреляцию не включены.

Высокие значения коэффициента корреляции r и реакционной константы r в уравнении свидетельствуют о том, что формирование электронодонорных свойств сelenоэфиров происходит без заметного участия вакантных орбиталей атома селена. Тот факт, что зависимость $\Delta v(OH) = f(\Sigma\sigma^*)$ охватывает как фениловые, так и предельные сelenоэфиры, указывает на довольно слабое, p, π -сопряжение в PhSe-группе.

Отмеченные выше способности влияния заместителей в соединениях PhЭR и R₂Э на электронодорную способность атома Э могут быть связаны с относительным вкладом эффекта сопряжения НЭП атома Э с π -системой бензольного кольца в распределение электронной плотности у первых. p, π -Сопряжение в PhЭ-группе приводит к значительному понижению электронной плотности на атоме Э и как следствие — к уменьшению величин $\Delta v(OH)$ в результате снижения способ-

* Причины указанного явления будут обсуждены позднее.

ности орбитали НЭП атома Э к межмолекулярному перекрыванию 1s орбиталью атома H протонодонора [10].

Как следует из данных спектроскопии ЯМР¹³ [11], способность гетероатомов к p, π -сопряжению убывает в последовательности O > S > Se. Поэтому следует ожидать, что в соединениях PhЭR атомы Э по их электронодонорной способности должны располагаться в ряд O < S < Se. Полученные нами результаты полностью согласуются с этими представлениями. С другой стороны, внутри каждой группы периодической системы наблюдается монотонное понижение основности (сверху вниз) по отношению к протонным кислотам, донорам H-связи [3]. Так, для алкильных соединений VI группы получен ряд основности O > S > Se > Te, совпадающий с полученным нами рядом относительной основности соединений R₂Э. Наблюдаемая практически одинаковая электронодонорная способность тио- и сelenоэфиров обусловливается [12] близкими значениями электро-отрицательности атомов S и Se. Эти наблюдения применительно к соединениям PhЭR получают объяснение, если принять во внимание величину электроотрицательности фенила и тот факт, что в тиоэфирах p, π -сопряжение несколько больше, чем в сelenоэфирах.

Как известно [13], p, π -сопряжение гетероатома с бензольным кольцом определяется стерическими условиями для перекрывания p -орбитали НЭП гетероатома 2p-орбиталью углерода. Поэтому стерическое ингибирование p, π -сопряжения должно приводить к повышению электронодонорной способности. Соединения PhЭR при R-*трет*-C₄H₉ существуют в неплоской гош-форме из-за стерических препятствий компланарности [14]. У тиоэфиров и сelenоэфиров в этом случае сопряжение НЭП гетероатома с π -системой бензольного кольца практически нарушено. Последнее согласуется с характером изменения величин $\Delta v(OH)$ для соединений PhЭC₄H₉-*трет* в последовательности O > S > Se.

Использованные в работе сelenоэфиры синтезированы и очищены известными методами [15]. ИК-спектры H-комплексов сelenоэфиров с фенолом в CCl₄ снимались на спектрофотометре ИКС-14. Детали экспериментов приведены в [7].

Литература

- Гурьянова Е. Н., Гольдштейн И. П., Ромм И. П. Донорно-акцепторная связь. М., «Химия», 1973.
- Трофимов Б. А. Гетероатомные производные ацетилена. М., «Наука», 1981.
- Ариетт Э. М. В кн.: «Современные проблемы физической органической химии». М., «Мир», 1967.
- Смоленцев А. В., Гольдштейн И. П., Гурьянова Е. Н., Катаева Л. М., Катаев Е. Г., Кочетков К. А. «ДАН СССР», 219, 1979, 1416.
- Егорочкин А. Н., Скobelева С. Е. «Усп. хим.», 48, 1979, 2216.
- Эпштейн Л. М. «Усп. хим.», 48, 1979, 1600.
- Аагаев Э. А., Шахгельдиев М. А., Искандерова Т. Ю. «Лаур. хим. ж.», 1972, № 1, 69.
- Алиев И. А. Канд. дисс., 1976.
- Швец А. А., Гончарова Л. В., Осипов О. А. ЖХХ, 51, 1981, 642.
- Луцкий А. Е., Батракова Л. П., Федотова Л. А. ЖХХ, 42, 1972, 1920.
- Бжезовский В. М. Автореф. канд. дисс. Иркутск, 1977.
- Вагаеват Т. М., Nelson T., Nelson S. M., Рид A. D. E. Trans. Faraday Soc., 65, 1969, 41.
- Ингольд К. Теоретические основы органической химии. М., «Мир», 1973.
- Dewar P. S., Ernst B., Gilmore S. R., Godfrey M., Mellor I. M. Tetrahedron, 30, 1974, 455.
- Jensen K. A. Organic Selenium Compounds. Their Chemistry and Biology. John Wiley and Sons, Inc. N. Y., 1973.

ЛГУ им. С. М. Кирова

Поступило 1. X 1981

М. Э. Шахгельдиев, И. Э. Алиев, Е. А. Агаева

VI групп элементләринин ароматик бирләшмәләриндә электрон эффектләри.
Селенефирләрин електродонор хассәләри.

Мәгаләдә ИГ-спектроскопија үсулу илә фенолун OH-группуну валент рэгсиини тезлијинин дәјиши мәснине көрә 15 ароматик вә алифатик селенидин фенолла O-H...Se типли H-комплекс эмәлә катирамәснине эсасын нисби эсаслылыгы өјрәнилмишdir. Бир-бiriндән Э һетероатомуну тәбиэтине көрә фәргләнән PhЭR типли изоструктур ариалифатик бирләшмәләрдә Э-ниң електродонор ғабилијети ашагыдақы ардычылышыла азальыр; Se≈S>O. R₂Э типли алифатик бирләшмәләрдә исә эксине ардычылышы O<S<Se -нәзәрә чарпыр. Аналоги ардычылышы O>S>Se, PhЭC₄H₉-учлу бирләшмәләринин електродонор хассәләринин дәјиши мәснине дә мүшәнидә олунур ки, бу да фәза өтенимли иктиласидә практики олараг P_iP-гошулманын позулмасы илә изән едилә биләр. Алкиларил вә диалкилселениндләрин п-эсаслылыгы Se атомунда олан өвәзедичинин индуксија эффекти илә тә'јин ед'лир. Диалкил вә алкилфенилселениндләрин Δν(OH)-а көрә корреляцијасы көстәрмишdirкі Δν(OH)-ынын јекан хәтти асылылыгы селен атомудакы өвәзләйичиләрин Σσ* сабитләри илә мүәјжид олунур.

M. A. Shakhgeldiev, I. A. Aliev, E. A. Agaeva

ELECTRONIC EFFECTS IN AROMATIC COMPOUNDS OF VI GROUP ELEMENTS. ELECTRODONOR PROPERTIES OF SELENIUM ESTERS

Based on the shift of stretching frequency of phenol OH group in the formation of O-H...Se type H-complexes, relative basicity of 15 aromatic and aliphatic selenium sulphides was investigated by IR-spectroscopy.

It was shown that in the case of isostructural aryl aliphatic compounds PhЭR, differing by the nature of Э heteroatom, electrodonor ability was decreasing in varying Э in a series Se≈S>O. However, in aliphatic compounds R₂Э a reverse sequence O>S>Se was observed. An analogous order of changing electrodonor properties O>S>Se was also established for tert-C₄H₉ ЭPh compounds in which p,π-conjugation due to steric hindrances of coplanarity was practically broken.

It was found that n-basicity of selenides was determined by induction effects of substituents at the selenium atom. Correlation analysis Δν(OH) for dialkyl- and alkylphenylselenides on the whole showed that a single linear dependence Δν(OH) on σ* constant substituents at the selenium atom was expressed quite unambiguously.

АЗӘРБАЙЧАН ССР ЕЛМЛӘР АКАДЕМИЈАСЫНЫН МӘРУЗӘЛӘРИ

ДОКЛАДЫ АКАДЕМИИ НАУК АЗЕРБАЙДЖАНСКОЙ ССР

ТОМ XL ЧИЛД

№ 6

1984

УДК 547.379+541+52.362

УЗВИ КИМЈА

Ә. Б. НӘСИРОВ, Б. З. РЗАЈЕВ, Р. І. ГУЛИЈЕВ

СТИБИУМ УЗВИ БИРЛӘШМӘЛӘР

(Азәрбајҹан ССР ЕА академики Т. Н. Шактахтински тәгдим етмишdir)

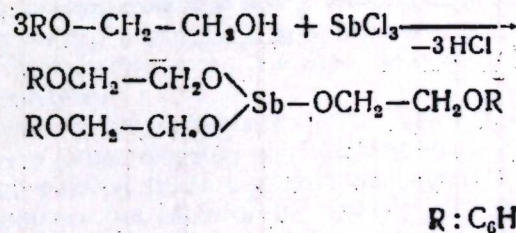
Стибит туршусунун фенил вә параметилфенил-етиленгликол ефирләrinin синтези.

Стибиум үзви бирләшмәләр узви кимјанын ән аз өјрәнилмиш саһесидир. Буна бахмајараг, бир сырь стибиум үзви бирләшмәләр арсен кимјасында тәтбиг олунап үсуллар эсасында синтез едилмишdir. Учлу алкилстибитләрин бә'зи нұмајәндәләри илк дәфә Левик тәрәфинидән 1850-чи илдә синтез олунмушdur.[1]

1881-чи илдә Михаелис вә онун әмәкдашлары трифенилстибит, дифенилстибит туршусу, набелә дикәр стибитарил тәрәмәләринин алынма, үсулуну тәклиф етмишләр.

Стибиум —3— хлоридин асетиленлә гарышлылыгы тә'сир реаксијасы Бертло вә Юнгфлеј тәрәфинидән өјрәнилмишdir. Соңralар һәмни реаксија эсасында Несмејанов вә Борисов (1945) беш вә үчвалентли стибиум бирләшмәләринин синтез етмишләр. XX әсрин башланғычында дәрман васитәләри әлдә етмәк мәгсәди илә кимјачылар арсен тәрәмәли бә'зи дәрманларын алынмасы бахымындан стибиумун да тәрәмәләринин синтез үсүлү үзәринде тәдгигат апармышлар. 1913-чу илдә Шмит вә Уленхут бу мәгсәдлә бир сырь стибиум үзви бирләшмәләр, о чүмләдән «стибенил»-п-аминофенилстибит туршусунун натриум дузуну синтез етмәјә мүәффәф олмушлар. Соңralар Салварсанын охшары олан әлагәли бирләшмә алмаға тәшәббүс көстәрмишdir.

Бу ишдә илк дәфә олараг этиленгликолун моноефири илә стибиум-3-хлоридин гарышлылыгы тә'сирли реаксијасы тәдгиг едилмишdir. Реаксијапын схеми ашагыдақы кимидir:



Көстәрилән схем үзәре јени типли стибиум үзви бирләшмәләр олан стибит туршусунун фенил вә параметилфенилтиленгликол ефирләри синтез едилмишdir.

ИГ-спектрдә интенсив удулма саһеси $A_2 = 01600\text{cm}^{-1}$.

Тәчрубы ниссә.

Механики гарышдырычы, экс сојудучу, термометрлә тәчниз едилмиш учбогазлы реақсија колбасына 3 мол. этиленгликолун моноарил-

ефири вә 1 мол. стибиум-3-хлорид төкулдүкдән соңра үзәринә 2—3 мл гаты сульфат түршесү элавә едиләрәк, гарышдырылмагла 110—115°C-дә 8—10 saat мүддәттәндә гыздырылып. Реаксија мәңсуллары отаг температурunda бир saat гарышдырылдыгдан соңра колбаја төкулүб дистилләедилир.

Реаксија кирмәзин хам мәңсул гарышыгдан говулур. Галыг дистиллә олуңур вә 174—176°C-дә (30 mm-дә) гајнајан стибит түршесүнүн фенилтиленгликол ефири топланып.

174—176°C (30 mm)-дә гајнајан ефириң чыхымы 40% пД^{20} 1,5790, d_4^{20} 1,4097-дир. Стибит түршесүнүн фенилтиленгликол ефири рәнкисиз маједир, ефирдә, бензолда һәлл олур, суда асан һидролиз едилир.

Мұвағиг сурәтдә стибит түршесүнүн параметилфенилтиленгликол ефири синтез олуңмушдур.

170—174°C (30 mm)-дә гајнајан ефириң чыхымы 42%, пД^{20} 1,5700, 1,3920-дир.

Нәтичә

Илк дәфә стибит түршесүнүн фенил вә параметилтиленгликол ефирләринин синтез үсулу ишләнилмишидир.

Әдәбијат

1. Быков Г. В. История органической химии. Изд-во «Наука», М., 1978, с. 234.

Научысап елми мәркәзи

Алымышдыр 22 IV 1982

А. Б. Насиров, Б. З. Рзаев, Р. Ю. Кулиев

СИНТЕЗ ФЕНИЛ- И ПАРАМЕТИЛФЕНИЛЭТИЛЕНГЛИКОЛЕВЫХ ЭФИРОВ СТИБИТОВОЙ КИСЛОТЫ

В статье впервые описан способ получения фенил- и параметилфенилэтиленгликоловых эфиров стибитовой кислоты и приведен ряд показателей полученных эфиров.

A. B. Nasirov, B. S. Rzayev, R. Ya. Guliyev

SYNTHESIS OF PHENYL-AND PARAMETHYLPHENYLETHYLENLIGLIKOLEN ESTERS OF ANTIMONY ACID

The method of formation of phenyl- and paramethylphenylethylene liglikolen esters of antimony acid was worked out and certain properties of these esters are determined.

АЗӘРБАЙЧАН ССР ЕЛМЛӘР АКАДЕМИЯСЫНЫН МӘРҮЗӘЛӘРИ

ДОКЛАДЫ АКАДЕМИИ НАУК АЗЕРБАЙДЖАНСКОЙ ССР

ТОМ XL ЧИЛД

№ 6

1984

УДК 539.3

ГЕОМЕХАНИКА

Акад. АН Азерб. ССР Ф. М. БАГИР-ЗАДЕ, Р. Ю. АМЕНЗАДЕ

О ПРОБЛЕМАХ СОЗДАНИЯ И ЭКСПЛУАТАЦИИ ПОДЗЕМНЫХ ХРАНИЛИЩ ГАЗА

Проблема создания и расчета подземных хранилищ газа ПХГ весьма актуальна, что обусловлено его рациональным потреблением и рабочей производительностью действующих магистралей газопроводов. В работе [1] рассматриваются некоторые теоретические вопросы создания ПХГ с учетом геологических особенностей резервуара и намечаются пути их рационального решения. Однако получить хорошую модель ПХГ, учитывая при этом эффективные и экономичные методы отбора газа, можно лишь при учете геологических, механических, химических и математических аспектов проблемы, которые тесно переплетаются между собой. В этой связи в данной статье, которая является, на наш взгляд, необходимым дополнением к [1], исследуются неосвещенные в ней вопросы, а именно: влияние на окружающую среду создания и главным образом — эксплуатации ПХГ. Известно, что резкое изменение состояния геолого-промышленных и физико-механических показателей резервуара, содержащего ПХГ, может последовательно привести к заметному изменению самой структуры, а порой ее морфологических особенностей, и в результате — к деформации расположенных на данной местности сооружений и порче транспортных путей.

Существен и другой аспект этого вопроса: изменение состояния геологической среды, в частности ее коллекторских свойств, в результате геомеханических процессов. Все это указывает на необходимость учета в каждом конкретном случае на примере рассматриваемой нами структуры влияния создания и эксплуатации ПХГ. Проблема формирования геологических структур обширна и многогранна, и потому охватить ее весьма трудно. Остановимся на главных взаимосвязанных моментах этой сложной проблемы.

а. *Неоднородность геологической среды.* Подземные среды представляют собой структурные формы, являющиеся чередованием геологических образований разных типов с различными геолого-минералогическими и физико-химическими свойствами. Только учет свойств каждого из геообразований может дать объективную картину состояния всего геологического массива в целом. В общем случае неоднородность можно рассматривать или как идеализацию непрерывного изменения свойств в среде, или как скачкообразное изменение свойств при прохождении через поверхность раздела различных геологических образований.

б. *Анизотропия физических свойств среды.* При расчетах необходимо учитывать тот факт, что большинство геологических структур проявляет разные физические свойства в различных направлениях, т. е. что

они являются существенно анизотропными средами, и неучет этого может существенно исказить реальную картину состояния среды.

в. *Ползучесть геологических пород*. Этот вопрос представляется нам очень важным, ибо именно это свойство среды, содержащей ПХГ, может привести к существенному изменению объема и формы последнего и тем самым к нежелательным изменениям давления газа, что, в свою очередь, приведет к нарушению режима эксплуатации ПХГ и в некоторых случаях к выходу из строя оборудования — к аварии. Полное закрытие естественных подземных полостей, используемых в качестве ПХГ, происходит в основном за счет ползучести пород.

г. *Долговечность ПХГ*. Цикличность в эксплуатации ПХГ приводит к цикличности изменения в нем давления газа, а это, в свою очередь, — к цикличности силового воздействия на окружающие породы. Накопление повреждаемости в конечном счете и вызывает разрушение ПХГ. Отсюда следует, что время эксплуатации ПХГ не безгранично, а имеет свой предел, существенным образом зависящий от долговечности пород окружающей геологической среды.

д. *Влияние внешних и внутренних факторов, определяющих физическое состояние геологической среды и носящих случайный характер*. Известно, что большинство процессов, происходящих в природе, в том числе на поверхности и в толще земной коры, носит случайный характер. Так как ими определяется физическое состояние геологической среды, отсюда непременно следует вероятностный характер этого состояния. Поэтому одним из важнейших путей расчета состояния геологических сред является тот, который основан на методах теории случайных процессов.

е. *Тепловые эффекты*. Как известно, температура геологических пород изменяется в зависимости от глубины их залегания. Различные геологические образования имеют разные термодинамические характеристики. Ко всему прочему, цикличность изменения давления газа в ПХГ непременно приводит к изменению его температуры. Отсюда можно понять, как важен и необходим учет тепловых процессов, происходящих в геологической среде. Не последнюю роль играют добавочные усилия в среде, вызываемые изменением температурного поля, — температурные напряжения. В этом случае необходимо использовать методы термодинамики в сочетании с методами механики сплошной среды.

ж. *Учет возможных химических реакций*. Газ, нагнетаемый в ПХГ, с течением времени может вступать в химическую реакцию с окружающими его продуктами. Это приводит к изменению как внутрихранилищного давления газа, так и температурного баланса. Этот аспект, хотя и кажется маловероятным, однако в некоторых случаях может сыграть решающую роль. Кроме всего прочего, не следует игнорировать и возможности возгорания газа внутри хранилища и вытекающих отсюда последствий.

Понятно, что все приведенные факторы, определяющие физическое состояние геологической среды, а также определяемые ими процессы, находятся в неразрывной связи между собой, и учет этой взаимосвязи представляет собой сложную, а подчас и не разрешимую на данный период задачу. Поэтому расчет физического состояния геологической среды с располагаемым в ней ПХГ требует учета конкретных обстоятельств для данной среды. Так, например, для ползучей неоднородной анизотропной среды с учетом наличия температурного поля оп-

ределяющее соотношение может быть записано в виде (здесь приводится соотношение для нестареющего материала)

$$\varepsilon_{ij} = \Pi_{ijkl}(x^a) \sigma_{kl} + \int_{-\infty}^t K_{ijkl}(x^a, t - \tau) \sigma_{kl}(\tau) f_{ij}(T(t), T(\tau)) d\tau,$$

где σ_{ij} , ε_{ij} — компоненты тензора напряжений и деформаций, Π_{ijkl} , K_{ijkl} — модули мгновенной и длительной упругости, f_{ij} — функция зависимости от температуры.

Литература

1. Багир-заде Ф. М., Амензаде Р. Ю. В кн.: «Геология и гидрогеология Азербайджана». Баку, 1983, 13—20.

АГУ им. С. М. Кирова

Поступило 29. X 1983

Ф. М. Бағырзадә, Р. Й. Эмэнзадә

ЖЕРАЛТЫ ГАЗ АНБАРЛАРЫНЫН ЖАРАНМАСЫ ВӘ ИСТИСМАРЫ ПРОБЛЕМЛЭРИ НАГГЫНДА

Мәгаләдә жералты газ анбарларынын жаранмасы вә истиスマрлын этраф мүнитә тә'сири проблеми илә әлагәдар мәсэләләр тәдгиг олунур. Бурада мұхтәлиф физики, механики вә киміждөн амилләреңиң алмагла, қеоложи структурларын вәзијәттинин тә'жинолуима хүсусијәтләри еүрәнилір.

F. M. Bagir-zade, R. Yu. Amenzade

ABOUT THE PROBLEMS OF THE CREATION AND THE EXPLOITATION OF UNDERGROUND GAS STORAGES

The questions, bound with the problem of influence of the underground gas storages creation and the exploitation on the surroundings, are investigated. The peculiarities, connected with the definition of the geological structure state by the account of different physical, mechanical and chemical factors, are discussed.

Член-корр. АН Азерб. ССР А. Н. ГЮЛЬАХМЕДОВ, И. А. АГАЕВ, А. А. ХАЛИЛОВА

**ВЛИЯНИЕ ЙОДА И СЕЛЕНА НА УРОЖАЙ И КАЧЕСТВО
ВИНОГРАДА В УСЛОВИЯХ ХАНЛАРСКОГО РАЙОНА
(МАЛЫЙ КАВКАЗ) АЗЕРБАЙДЖАНСКОЙ ССР**

Рациональное применение микроудобрений на виноградниках, особенно на низкообеспеченных подвижными формами микроэлементов почвах, способствует повышению плодородия почвы и продуктивности насаждений, улучшению качества продукции и значительному увеличению валовых сборов винограда.

В настоящей статье приведены результаты определения эффективности различных концентраций растворов солей йодистого калия и селенистокислого натрия на урожай и качество винограда сорта Ркацители. Возраст насаждений 12 лет.

Изучением виноградной лозы растворами солей йода и селена в условиях Ханларского района до нас не занимались. Исходя из этого нами для проведения полевых исследований была выбрана территория совхоза «Гянджа» Ханларского района. (Опытное поле расположено на светло-каштановых почвах). Опыты в течение шести лет (1972—1977 гг.) проводились на фоне N_{120} P_{150} K_{150} кг/га д. в. (аммиачная селитра, простой суперфосфат и сульфат калия).

Площадь делянок — 375 м², учетная — 225 м², нагрузка кустов — по 60 глазков, площадь питания — 2,5×1,25 м. Делянки состоят из пяти рядов, из них три средние — учетные, а две боковые — защитные. Опора на виноградниках — проволочная, вертикальные шпалеры. Число учетных кустов в каждой повторности — 22.

Растворы солей применялись в следующих концентрациях: йодистый калий (KJ) — 0,01; 0,05; 0,1 и 0,2%; селенистокислый натрий (Na_2SeO_3) — 0,001; 0,005; 0,01; 0,02; 0,03; 0,04 и 0,05%.

Агрохимическая характеристика

Глубина, см	Гумус, %	Карбонаты	рН водной супензии	Азот			
				валовой, %	легкогидролизуемый, %	водорастворимый	поглощенный
				мг/кг			
0—20	2,37	4,9	7,2	0,18	90	8,40	14,75
20—40	1,86	7,7	7,2	0,15	70	6,90	11,54
40—60	1,68	9,0	7,4	0,11	50	5,75	10,20
60—80	0,79	10,2	7,5	0,08	35	3,16	8,34
80—100	0,63	11,5	7,8	0,05	23	2,19	6,78

Опрыскивание растворами солей микроэлементов проводилось двукратно: за 10—12 дней до начала цветения и в период формирования ягод винограда (в стадии горошения). Соли растворяли в небольшом количестве воды и смешивали с 1%-ной бордосской жидкостью.

Фосфорные и калийные удобрения вносились в осенне-зимний период под вспашку на глубину 30—35 см (расстояние от штамба — 50—60 см), а азотные в два срока: 50% годовой нормы — ранней весной, до распускания почек, в межурядья на глубину 15—18 см, а 50% — за 10—12 дней до начала цветения, в межурядья перед культивацией на глубину 12—15 см. После внесения азотных удобрений проводилось орошение.

В опытах применялись обычные для виноградарских хозяйств приемы агротехники: кусты на зиму не укрывали, участок — полноценный (примесь 6%). Нами определялось количество гроздей на кусте, средний вес одной грозди и урожай с учетных кустов каждой делянки.

Данные урожая обработаны методом дисперсионного анализа [5]. В соке ягод винограда фиксировали содержание общего сахара (ареометром) и титруемую кислотность (1/3 нормальным раствором $NaOH$).

В почвенных образцах опытных участков определяли pH водной суспензии — потенциометрически, карбонатность — кальциметром, общий гумус и азот — по Тюрину, легкогидролизуемый азот — по Тюрину и Коноповой, водорастворимый аммиак — реактивом Несслера, поглощенный аммиак — по Коневу, нитраты — по Грандаль-Ляжу, содержание общего фосфора — по Мещерякову, водорастворимого фосфора — методом Дениже в модификации Малюгина и Хреновой, подвижный фосфор — по Мачигину, валовой калий — по Смиту, водорастворимый калий — по Александрову, обменный калий — по Протасову (табл. 1).

Микроэлементы определялись следующими методами: селен-желатинокомплексным колориметрически [2—4], йод — по Глущенко и Миненковой [6].

Агрохимическая характеристика почв с учетом генетических горизонтов позволила выявить определенную закономерность, заключающуюся в том, что в изучаемых нами светло-каштановых почвах содержание как макро-, так и микроэлементов тесно связано с количеством гумуса и корбонатностью этих почв. Следует отметить, что содержание усвоемых форм макро- и микроэлементов крайне недостаточно.

Виноградная подкормка виноградного куста весьма благотворно повлияла на образование гроздей на кусте (табл. 2). Наиболее высокий эффект получен по вариантам опрыскивания раствором йодистого

Таблица 1
почв опытных участков

N/NO ₃	Фосфор (калий)			Селен, мг/кг	Йод, мг/кг
	валовой, %	подвижный, мг/кг	валовой, %		
3,20	0,21	17,00	2,89	285,0	0,15
2,88	0,18	12,26	2,62	256,2	0,18
2,42	0,14	10,64	2,47	234,6	0,11
1,77	0,11	8,44	2,30	180,7	0,22
1,43	0,09	6,08	2,23	146,5	0,35

Таблица 2

Влияние двукратного опрыскивания растворами солей йодистого калия и селенистокислого натрия на структурные элементы, урожай и качество винограда сорта Ркацители

Варианты опыта	В среднем за 1972—1977 гг.						Урожай винограда по годам, ц/га						Прибавка % на 1/га
	Лпогарн на кг/га, мт.	Бес. ягод, кг/кг	Качес- тво ягод, %, кг	Качес- тво ягод, %, кг	Качес- тво ягод, %, кг	Качес- тво ягод, %, кг	1972	1973	1974	1975	1976	1977	
Контроль—б/у (опр. борд.ж.)	20,2	107,4	2,22	17,6	6,71	46,8	79,0	44,2	65,0	92,0	98,2	70,9	—
N ₁₂₀ P ₁₃₀ K ₁₅₀	22,7	126,4	2,93	18,9	6,17	62,0	109,9	59,8	83,0	112,8	134,6	93,7	—
Фон (опр. борд.ж.)	23,7	132,6	3,22	19,2	5,95	64,1	123,4	63,7	88,6	130,5	148,0	103,1	9,4 10,0
Фон+0,001%-ный Se	24,2	135,1	3,36	19,3	5,90	66,6	126,6	65,9	91,5	135,6	157,9	107,4	13,7 14,6
Фон+0,005%-ный Se	24,2	138,5	3,43	19,3	5,91	69,8	124,8	68,7	94,4	138,7	162,8	109,9	16,2 17,3
Фон+0,01%-ный Se	23,7	132,3	3,21	19,2	6,05	64,0	121,0	66,0	92,8	124,1	147,5	102,6	8,9 9,5
Фон+0,02%-ный Se	23,2	130,4	3,09	18,9	6,23	62,2	116,4	63,9	90,7	118,0	141,3	98,8	5,1 5,4
Фон+0,03%-ный Se	22,8	126,5	2,95	18,6	6,46	60,6	110,6	60,9	83,8	113,4	137,7	94,5	0,8 0,9
Фон+0,04%-ный Se	22,5	123,1	2,83	18,2	6,75	58,3	103,7	58,8	80,2	110,2	132,5	90,6	-3,1 -3,3
Фон+0,05%-ный Se	24,3	137,8	3,43	19,3	5,87	72,3	130,4	68,2	95,7	137,4	154,6	109,8	16,1 17,2
Фон+0,05%-ный J	24,5	144,7	3,62	19,5	5,75	77,8	134,1	74,5	101,4	141,2	166,2	115,9	22,2 23,7
Фон+0,1%-ный J	24,0	138,8	3,41	19,3	5,82	67,9	132,2	69,6	97,6	138,8	147,9	109,0	15,3 16,3
Фон+0,2%-ный J	23,8	132,7	3,23	19,2	5,97	64,4	127,9	64,4	93,3	131,4	140,0	103,5	9,8 10,5

кания, хотя количество гроздей на кусте значительно увеличивалось и под влиянием селенистокислого натрия. При внесении различных концентраций раствора йодистого калия количество гроздей в среднем за 6 лет увеличилось в пределах 4,8—7,9% по сравнению с удобренным фоном и на 17,8—21% — по сравнению с контролем без удобрений. Опрыскивание раствором соли селенита натрия дало увеличение количества гроздей в среднем за 6 лет на 0,4—6,6% по отношению к фону и на 12,9—19,8% — по сравнению с абсолютным контролем.

При проведении полевых опытов с многолетними культурами год действия удобрений обычно не учитывается. Исходя из этого в первый год опыта (1971) учет урожая официально не проводился, и потому данные в таблицах не приводятся. Использование различных концентраций солей микроэлементов путем внекорневой подкормки, по-видимому, содействовало (последствие микроэлементов) увеличению количества гроздей на кустах виноградника. В среднем за 6 лет значительно увеличивается также средний вес грозди. Причем по вариантам, когда произведена подкормка йодом, положительный эффект достигает по отношению к фону 5,0—14,5% и относительно контроля — 23,6—34,7%. В случае применения раствора селенита натрия вес гроздей увеличился на 0,1—9,6% по сравнению с фоном и на 17,8—29,0% — по сравнению с контролем.

Кроме показателей по структурным элементам, в табл. 2 приведены данные о действии внекорневой подкормки на урожай винограда. Наилучшие результаты получены при опрыскивании раствором 0,05%-ного йодистого калия и 0,01%-ного селенита натрия. Урожай по этим вариантам в среднем за 6 лет был на 22,2 и 16,2 ц/га, или на 23,7 и 17,3%, выше по сравнению с удобренным фондом.

Необходимо отметить что прибавка урожая по годам колебалась почти по всем вариантам. Так, например, при внекорневой подкормке селеном прибавка относительно удобренного фона составляла 0,2—28,4, йодом — 2,2—31,8 ц/га.

Эффективность внекорневой подкормки растворами солей микроэлементов отразилась и на качестве винограда — его сахаристости и кислотности сусла. В среднем за 6 лет при внекорневой подкормке сахаристость сусла превысила фоновый вариант на 0,3—0,6%. Наиболее высокие показатели получены там, где производилось опрыскивание растворами йодистого калия. В вариантах с опрыскиванием раствором селенистокислого натрия, несмотря на значительное увеличение урожая, сахаристость ягод была ниже, чем в случае применения для подкормки йода (табл. 2).

При внекорневой подкормки виноградника йодом и селеном снижается соответственно и кислотность сусла. При этом отмечается определенная зависимость кислотности ягод от процентной концентрации растворов солей микроэлементов.

Выводы

- Светло-каштановые почвы, как показали результаты химических анализов, имеют относительно слабую степень обеспеченности усвояемыми формами азота, фосфора, калия, йода и селена.

- Шестилетние опыты по изучению влияния внекорневой подкормки виноградника выявили положительное влияние микроэлементов на

урожай и качество винограда на фоне N₁₂₀ P₁₅₀ K₁₅₀. Наиболее эффективным оказалось применение 0,05%-ного раствора йодистого калия и 0,01%-ного раствора селениита натрия. Наибольшая прибавка урожая при внесении подкормке указанными растворами составляла 22,2 и 16,2 ц/га, сахаристость ягод возрастала на 0,6 и 0,4%, а кислотность снижалась на 0,42 и 0,26 г/л по сравнению с фоном.

3. Повышенные концентрации растворов солей йодистого калия не оказывают существенного действия как на величину урожая так и на его качество.

4. Увеличение концентрации растворов солей селенистокислого натрия отрицательно действует как на урожайность, так и на качество сока ягод винограда.

Институт почвоведения
и агрохимии АН Азерб. ССР

Поступило 28. II 1983

Э. Н. Күләмәев, Н. А. Агаев, А. А. Хәлилова

АЗӘРБАЙЧАН ССР (КИЧИК ГАФГАЗ) ХАNLAR РАJОНУ ШӘРАИТИНДӘ ЙОД ВӘ СЕЛЕНИН ҮЗҮМҮН МӘҢСҮЛДАРЛЫГЫНА ВӘ КЕЙФИЙЛЭТИНӘ ТӘ'СИРИ

Ханлар районунун «Кәнчә» совхозунда микролементләрдән юд вә селен дузларыны мүхтәлиф мәңсүлларынын үзүм биткисинин кәмийјәт вә кејфијјетинә тә'сирини єјрәмәк мәгсәдилә 6 ил мүддәтиндә чөл тәчрубләрни апарылыштыр.

Тәчрубләрни иәтичеси көстәрмишdir ки, селен вә юд микролементләрни үзүмүн мәңсүлдәрләрни артырмагла янашы, кејфијјәт көстәрчилиләрни (үзүм ширәснәдә шәкәрин јүксәлмәснә вә туршулуғун ашағы дүшмәснә) дә мүсбәт тә'сир етмишdir.

A. M. Gyulakhmedov, N. A. Agaev, A. A. Khalilova

THE INFLUENCE OF IODINE AND SELENIUM ON THE YIELD AND QUALITY OF GRAPES IN CONDITIONS OF THE KHANLAR REGION (THE MINOR CAUCASUS) OF THE AZERBAIJAN SSR

The carried out five-year field experiment in the fields of «Gandzha» sovkhoz of the Khanlar region showed that different two-fold sprinkle concentrations of salt solution of iodine potassium and selenitic acid sodium acted positively on the increase of the yield, on the improvement of saccharine and acidity juice of berry grapes.

АЗӘРБАЙЧАН ССР ЕЛМЛӘР АКАДЕМИЯСЫНЫН МӘРУЗӘЛӘРИ

ДОКЛАДЫ АКАДЕМИИ НАУК АЗЕРБАЙДЖАНСКОЙ ССР

ТОМ XL ЧИЛД

№ 6

1984

БИОХИМИЯ

Э. Н. НОВРУЗОВ, С. М. АСЛАНОВ

НЕКОТОРЫЕ ДАННЫЕ О ХИМИЧЕСКОМ СОСТАВЕ ЗРЕЛЫХ ПЛОДОВ БУЗИНЫ ТРАВЯНИСТАЙ

(Представлено академиком АН Азербайджанской ССР В. И. Ульянищевым)

Известно, что флора Азербайджана богата различными полезными растениями. Среди них несомненный интерес представляют дикорастущие и культурные плодово-ягодные растения, которые содержат многие биологически активные вещества. К числу таких растений относится бузина травянистая (*Sambucus ebulus L.*) сем. Жимолостных (*Caprifoliaceae L.*) [1].

Азербайджан является одной из сырьевых баз бузины травянистой в СССР. Ее естественные заросли занимают здесь большие площади. Бузина травянистая встречается преимущественно в лесных районах — в Закаталах, Белоканах, Каахах, Кубе, Исмаиллах, Варташене, Кусарах, Ленкорани, Астаре и других, образуя в изреженных лесах, на порубках, по опушкам, оврагам, речным долинам, канавам, на огородах и участках сельскохозяйственных культур обширные заросли.

Корни бузины травянистой издавна применяются в народной, а в настоящее время и в научной медицине как сильное мочегонное средство при нефритах, водянке почечного происхождения, водянке брюшины и сердечной сумки, различных болезнях мочевого пузыря, диабете, а эфирное масло из цветков используется в народной медицине при самых различных заболеваниях [2]. Широко применяются зрелые плоды бузины травянистой в пищевых целях.

Сок из зрелых плодов бузины используется для подкрашивания вина. Разработан способ получения из них красного пищевого красителя [5]. Различные авторы [3, 4] приводят данные о том, что зрелые плоды бузины содержат красящие, дубильные вещества, белки, сахара, слизь, камедь, воск, эфирное и жирное масла, органические кислоты, витамин С и др. Однако в литературе данные по химическому составу бузины травянистой, произрастающей в Азербайджане, отсутствуют.

Исходя из этого мы поставили перед собой задачу изучить химический состав зрелых плодов бузины травянистой, произрастающей на территории республики. Сыре было собрано в с. Даначы Закатальского района в 1979—1980 гг.

Для определения сухого вещества, сахаров, органических кислот, витамина С, пектина, масла использовали метод Ермакова и др. [6], антицианов — [7, 8], флавоноидов — [9], токоферолов — [10], стеринов — [11], физико-химических показателей и жирнокислотного состава — [12], качественного состава сахаров и органических кислот — [13].

Проведенные химические исследования показали, что зрелые плоды бузины травянистой богаты питательными веществами, такими как сахар, органические кислоты, аминокислоты, жирное масло и биологически активные вещества — витамин С, Е, антиоцианами, флавоноидами, стеринами (таблица).

Некоторые данные по химическому составу зрелых плодов бузины травянистой, % от сырого веса

Аналитируемое вещество	1979 г.	1980 г.
Сухое вещество	25,8	29,2
Сумма сахаров	1,62	2,31
в т. ч.		
фруктоза	0,82	0,98
глюкоза	0,91	1,06
сахароза	0,19	0,25
Пектин	0,25	0,21
Органические кислоты	1,27	0,92
Красящие вещества (антиоцианы)	4,51	3,97
флавоноиды	0,03	—
Жирное масло	1,97	2,07
Витамин С	0,235	0,192
Витамин Е	0,012	0,009
Стерины	0,13	0,092
Аминокислоты	0,091	0,083

Как видно, содержание различных веществ в зрелых плодах бузины травянистой, собранной в одних и тех же местах, изменяется по годам. Так, если в 1979 г. красящие вещества составляли 4,51%, витамин С — 0,235%, органические кислоты — 1,27%, то в 1980 г. содержание их уменьшилось. Сухое вещество (29,2%), сумма сахаров (2,31%), масла (2,07%) в наибольшем количестве накопились в 1980 г.

Отсюда можно сделать вывод, что на биосинтез этих веществ по-разному влияют метеорологические условия года. Так, 1980 год был жарким и сухим, что способствовало повышению содержания сухого вещества, суммы сахаров и масла и понижению содержания красящих веществ, витамина С, органических кислот, а в более влажных условиях 1979 г. — наоборот.

Хроматографическим методом установлено, что сумма сахаров бузины представлена главным образом моносахарами (глюкозой, фруктозой), содержащимися примерно в равных количествах, и незначительным количеством сахарозы. Как видно из таблицы, количественное соотношение моносахаров не зависит от метеорологических условий года. Вероятно, это видовой признак растения.

Методом бумажной хроматографии установлено, что в состав органических кислот входят лимонная и яблочная кислоты, причем лимонная кислота преобладает.

По содержанию витамина С бузина превосходит ряд растений, богатых аскорбиновой кислотой, причем очень важно то, что аскорбиновая кислота сочетается с красящим веществом — антиоцианом. (Установлено, что в присутствии фенольных соединений усвоемость витамина С увеличивается. Кроме того, одновременное содержание аскорбиновой кислоты и антиоцианов предотвращает окисление последнего).

Качественный и количественный состав антиоцианов в зрелых ягодах

бузины представляет научный и практический интерес. В настоящее время антиоцианы используются как биологически активные (Р-витаминоактивные) препараты и безвредные пищевые красители. Судя по таблице, зрелые плоды богаты антиоцианами. Во многих источниках указывается, что бузина черная содержит антиоциан самбуции (цианидин 3-р-примверозид) и хризантемин [14].

Для установления антиоцианового состава зрелые плоды бузины травянистой экстрагировали метанолом, содержащим 1% HCl. Выделенные антиоцианы осаждали эфиrom. Полученный осадок растворяли в растворе метанола, также содержащем 1% HCl, и подвергали хроматографическому разделению. Установлено, что антиоцианы содержат шесть компонентов. Методом preparative бумажной хроматографии выделено два основных компонента. После кислотного гидролиза оба компонента дали один и тот же агликон, который идентифицирован как цианидин.

По данным хроматографии ($R_f =$), УФ-спектра а также кислотного гидролиза, первый компонент идентифицирован как цианидин-3-монофлюкозид (хризантемин), второй — как цианидин-3,5-диглюкозид (цианин).

При изучении антиоциановых экстрактов в хроматограмме обнаружено бледно-желтое пятно, которое при обработке аммиаком становится ярко-желтым, что указывает на его флавоноидное происхождение. Путем экстракции водного остатка этилацетатом, дальнейшего гидролиза полученной суммы флавоноидов 5%-ной серной кислотой, при извлечении агликона эфиrom получили сумму, состоящую в основном из одного вещества, методом бумажной хроматографии идентифицированного как кверцетин.

Показано, что зрелые плоды содержат достаточное количество жирного масла. Для выявления возможности использования этого масла изучены его физико-химические свойства и химический состав.

Для получения масла выжимки плодов промываются водой, при этом семена отделяются от кожуры и остатка сока. Высушенные семена экстрагируются петролейным эфиrom (40—60°), затем растворитель отгоняется, и получается масло. По этому способу выход масла составляет 28,84% (в пересчете на абсолютно сухое вещество). Полученное масло имеет светло-желтый цвет, прозрачное, удельный вес — 0,9263 г/см³, коэффициент рефракции n_0^{20} — 1,4412, к. ч. — 1,21, ч. омыления — 193,12, ч. Генри — 96,97, и. ч. — 182,6, родановое ч. — 98,7. После омыления 10%-ным спиртовым раствором KOH получено 2,1% неомыляемых веществ. Неомыляемые вещества содержат 0,36% фосфолипидов, 0,16 мг% каротина, 77,2 мг% суммы токоферолов.

Общепринятыми методами установлено, что сумма выделенных жирных кислот состоит из ненасыщенных, насыщенных и твердых жирных кислот. Ненасыщенные жирные кислоты имеют следующие показатели: и. ч. — 203, 99, ср. мол. — вес 275,13, насыщенные жирные кислоты: и. ч. — 3,83, ч. нейтр. — 214,86, мол. вес — 261,14, твердые жирные кислоты — соответственно 4,05; 216,50; 259,1.

Методом газожидкостной и ТСХ в сумме жирных кислот обнаружили каприловую, миристиновую, пальмитиновую, пальмитоолеиновую, стеариновую, олеиновую, линолевую, линоленовую кислоты, причем основными по содержанию являются ненасыщенные жирные кислоты: пальмитиновая (64,78), стеариновая (30,74), пальмитоолеиновая (3,44%).

Проведенные опыты показали, что масло из семян бузины травянистой высыхает в 2 раза быстрее, чем льняное, и поэтому может успешно использоваться в лакокрасочной промышленности.

Выводы

1. Зрелые плоды бузины травянистой содержат 25,8—29,2% сухого вещества, 1,62—2,31% простых сахаров, 0,92—1,27% органических кислот, 3,97—4,51% антицианов, 0,03% флавоноидов, 1,97—2,07% жирного масла, 0,192—0,235% витамина С, 0,009—0,012% витамина Е; 0,092—0,13% стеаринов.

2. Установлено, что сумма сахаров состоит в основном из глюкозы, фруктозы и небольшого количества сахарацетата.

3. В сумме антицианов обнаружено шесть компонентов: два из них идентифицированы как хризантемин и цианин.

4. Установлены физико-химические свойства жирного масла, его жирнокислотный состав и возможность использования в лакокрасочной промышленности, так как оно высыхает в 2 раза быстрее, чем льняное.

Литература

1. Прилипко Л. И. Флора Азербайджана, VIII. Баку, 1961.
2. Попов А. Л. Лесные целебные растения. М., Изд-во «Лесная промышленность», 1973.
3. Алиев Р. К., Прилипко Л. И., Дамиров И. А., Исмайлова Н. А. Мамедов Ф. Н., Улуханов Б. Г. Лекарственные растения Азербайджана. Баку, 1972.
4. Церевитинов Ф. В. Химия свежих плодов и овощей М., Сельхозгиз, 1949.
5. Чхендае З. К. Авт. свид. № 277987, 1974. «Бюлл. изобр.», № 21.
6. Ермаков А. И., Арасимович В. В., Смирнова-Иконникова М. И., Ярош Н. П., Луковников Г. А. Методы биохимического исследования растений. Л., «Колос», 1972.
7. Скорикова Ю. Г., Шафран Э. А. Тр. III Всесоюз. сем. по БАВ плодов и овощей. Свердловск, 1968.
8. Нагорное Я. В. J. Biochem., 70, 1958, № 1.
9. Гусева А. Р., Нестюк М. Н. «Биохимия», 18, 1953, вып. 4.
10. Девятинин В. А. Методы химического анализа в производстве витаминов. М., «Медицина», 1964.
11. Шайдман А. О., Фондаренко А. В. Сб. мат-лов по витаминам из природного сырья. Куйбышев, 1964.
12. Руководство по методам исследования, техническому контролю и учету производства в масложировой промышленности, кн. II. Л., 1967.
13. Методика количественной бумажной хроматографии сахаров, органических кислот и аминокислот у растений. М.—Л., Изд-во АН СССР, 1962.
14. РЖХим, 1959, № 16.

Институт ботаники им. В. Л. Комарова
АН Азерб. ССР

Поступило 22. XI 1981

Е. Н. Новрузов, С. М. Асланов

ОТВАРЫ КЭНДАЛАШЫН ЙЕТИШМИШ МЕЈВӘСИННИН КИМЈӘВИ ТӘРКИБИНИН БӘЗИ КӨСТӘРИЧИЛӘРІ

Мәгәлә Азәрбајчанда јабаны һалда јаялмыш отвары кәндәлашын ѹетишмиш мејвәсинни кимҗәви тәркібинин тәдгигинә һәсәр едилемишdir. Кимҗәви тәһлил көстәрмишdir ки, отвары кәндәлашын ѹетишмиш мејвәләри чохлу мигдарда шәкәр, үзви туршу, јағ, С витамины, антиоскапиле јанаши, Е витамины, стерин, флавоноид кими биологиялы фәзл. Маддәләрлә зәңкинди. Нәмми маддәләрләр мигдары иғлим амилләрнән асылы олар дәјишир. Мүэjjән едилемишdir ки, мејвәсинни тәркібидә б. антиоскапиле вардыр. Бунда икиси физики-кимҗәви ѡолла сианин вә хризантемин кими дәгигләшдирилмишdir. Бурада нәмчеси биткинни тохумларындан алылан јағын физики-кимҗәви хүсусијәтләрі, јағ туршуларынын тәркіби вә онун истифадә олуммаг үчүн јараплылығы көслүлүкшидir.

E. N. Novruzov, S. M. Aslanov

SOME DATA ABOUT THE CHEMICAL COMPOSITION OF THE RIPE FRUITS OF THE GRASSY ELDER

The chemical composition of the ripe fruits of the grassy elder was investigated. It is established, that it is rich in sugar, organic acids, vitamin C, anthocyanin, oil and it contains the biologically active substances such as flavonoids, vitamin E, sterols, amino acids. It is exposed, that the qualitative composition changes depend on the meteorological conditions. The presence of 6 anthocyanins is also established, 2 of them are identified as cyanin and chrysanthemum. The chemical composition of oil, extracted from the seeds, is studied and the oil acid composition and the possibility of its use are established in varnish-dye industry.

УДК 576.354.4:634.72

ГЕНЕТИКА

Г. М. РАСИ-ЗАДЕ

ЦИТОГЕНЕТИЧЕСКИЙ АНАЛИЗ ЭГИЛОПСОВО-ПШЕНИЧНОГО ГИБРИДА В F_1 И F_2

(Представлено академиком АН Азербайджанской ССР И. Д. Мустафаевым)

Известно, что у отдаленных гибридов мейоз протекает с нарушениями, проявляющимися в отставании хромосом на стадиях анафаз и телофаз первого и второго делений, в неравномерном расхождении хромосом к полюсам [1—4]. Часто нарушается нормальная функция веретена [2—5]. В результате вместо тетрад образуются полиады микроспор и тетрады с микроядрами.

Нарушения в мейозе наблюдались у эгилопсово-пшеничных [6—7, 13], у пшеничино-ржаных [8—] гибридов. Установлено, что гибриды *Aegilops cylindrica* Host x *Griflicum aestivum* L. [10] по морфологическим признакам занимают промежуточное положение между родительскими формами и бывают стерильными. Изучение мейоза у отдельных гибридов представляет большой интерес, так как межродовые гибриды являются хорошим исходным материалом для создания высокоурожайных сортов хлебных злаков. Однако работы в этой области до настоящего времени не проводились.

В данной статье приводятся результаты исследования мейоза эгилопсово-пшеничных гибридов первого и второго поколений на Апшеронской научно-экспериментальной базе Института и селекции Академии наук Азербайджанской ССР.

МАТЕРИАЛ И МЕТОДИКА

Нами получен гибрид F_1 комбинации *Aegilops avata* L. ($2n=28$) X \times *Fr.licum durum* Desf. v. *hordeiforme* (сорт Малиани 13, $2n=28$), оказавшийся на 100% стерильным. Беккроссирование проводилось родительской формой (*Fr.licum durum* Desf. v. *hordeiforme*—сорт Малиани 13). В результате получены гибриды F_2 .

Проводился подсчет хромосом у этих гибридов. Корешки фиксировали по Карниу (3:1) и Баталья (5:1:1:1) после предварительной обработки альфа-бронифталином. Для изучения мейоза у гибрида фиксировали молодые колосья по Ньюкомеру (6:3:1:1). Фиксацию проводили в утренние часы—с 8 до 11, материал после пребывания в фиксаторе в течение 4—24 ч промывали в двух-трех сменах 70 или 80° спирта, а затем в спирте такой же концентрации хранили в холодильнике. Использовали методику приготовления давленых препаратов. Пыльники на разных этапах развития раздавливали в капле ацетокармина. Цитоисследование проводили на микроскопе МБИ-11. Интересу-

ющие нас моменты фотографировали с помощью фотонасадки типа МФН-12. В мейозе особое внимание уделялось стадиям метафазы, анафазы, телофазы и образованию тетрад микроспор. Определяли процент нормальных тетрад и тетрад с микроядрами.

РЕЗУЛЬТАТЫ ИССЛЕДОВАНИЙ

Полученные гибридные растения были морфологически промежуточными, унаследовавшими признаки обоих родителей (рис. 1). Анализ корешков гибрида F_1 (шесть растений) и F_2 (двадцать четыре растения) показал, что в соматических клетках имеется 28 хромосом.

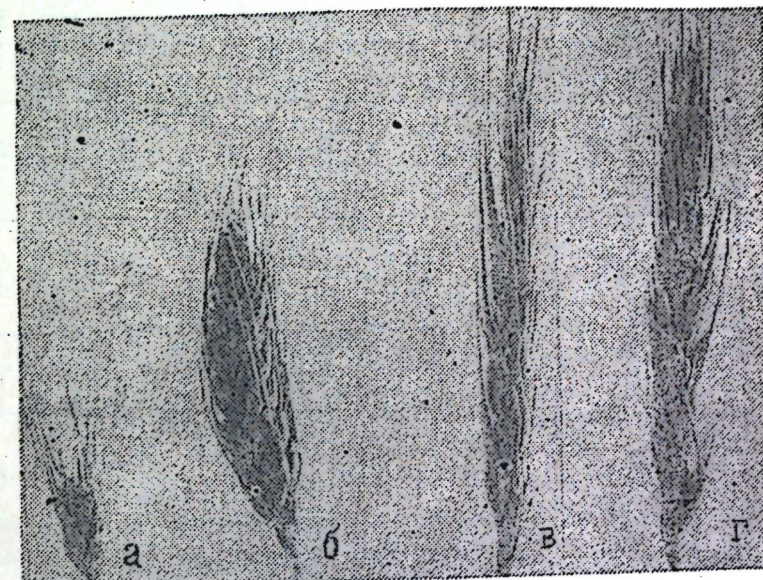


Рис. 1. а — материнская форма; б — отцовская форма; в — гибрид F_1 ; г — гибрид F_2

При анализе мейоза у эгилопсово-пшеничных гибридов первого поколения в метафазе I (M I) обнаруживается 14 бивалентов. В некоторых МКП количество бивалентов варьировало от 4 до 14.

В метафазе I мейоза встречаются клетки со следующим количеством би- и унивалентов: $12_{II} + 4_I$, $10_{II} + 8_I$, $9_{II} + 10_I$, $8_{II} + 12_I$ и др. В основном число унивалентов в клетках на стадии метафазы I колеблется от 2 до 8 (рис. 2 а—б), очень редко встречаются клетки с 12 унивалентами.

Данные по нарушениям на различных стадиях мейоза приведены в таблице. Как видно, процент нарушений в первом и во втором делениях мейоза высокий. В M I встречаются отставшие биваленты, основная масса которых располагается в экваториальной части (рис. 2 б). Из 54 изученных клеток с метафазой I 38 оказались с нарушениями на $70,37 \pm 6,21\%$. В анафазе I мейоза отмечались нарушения, выражавшиеся в отставании и забегании хромосом. В некоторых клетках встречаются мосты (рис. 2 в—д). Из 42 изученных клеток 26 имели нарушения на $61,90 \pm 7,49\%$.

Исследуемая форма: Aegilops ovata L. <i>Triticum durum</i> Desf. v. <i>hordeiforme</i> (сорт Малинин 13)	Стадия меоза	Забегание хромосом		Отставание хромосом		Мости		Тетрады с микроядрами		Всего клеток с нарушениями	
		Кол-во просматриваемых клеток	Число	Число	%	Число	%	Число	%	Число	%
F₁											
MI		54	16	29,63	22	40,74	—	—	—	—	38
AI		42	4	9,52	9	21,46	13	30,95	—	—	26
TI		36	6	16,67	16	44,44	7	19,44	—	—	29
MI		44	6	13,64	30	68,18	—	—	—	—	36
AI		38	4	10,53	20	52,63	10	26,32	—	—	34
TI		34	2	5,88	22	64,71	6	17,65	—	—	30
Тетрады		224	—	—	—	—	—	159	70,98	159	70,98±3,03
MI		48	11	22,92	19	39,58	—	—	—	—	30
AI		36	2	5,56	8	22,22	10	27,78	—	—	20
TI		32	4	12,50	10	31,25	4	12,5	—	—	18
MI		46	6	13,04	22	47,83	—	—	—	—	28
AI		34	2	5,88	10	29,41	6	17,65	—	—	18
TI		31	2	6,45	11	35,48	4	12,90	—	—	17
Тетрады		236	—	—	—	—	—	143	60,59	143	60,59±3,18

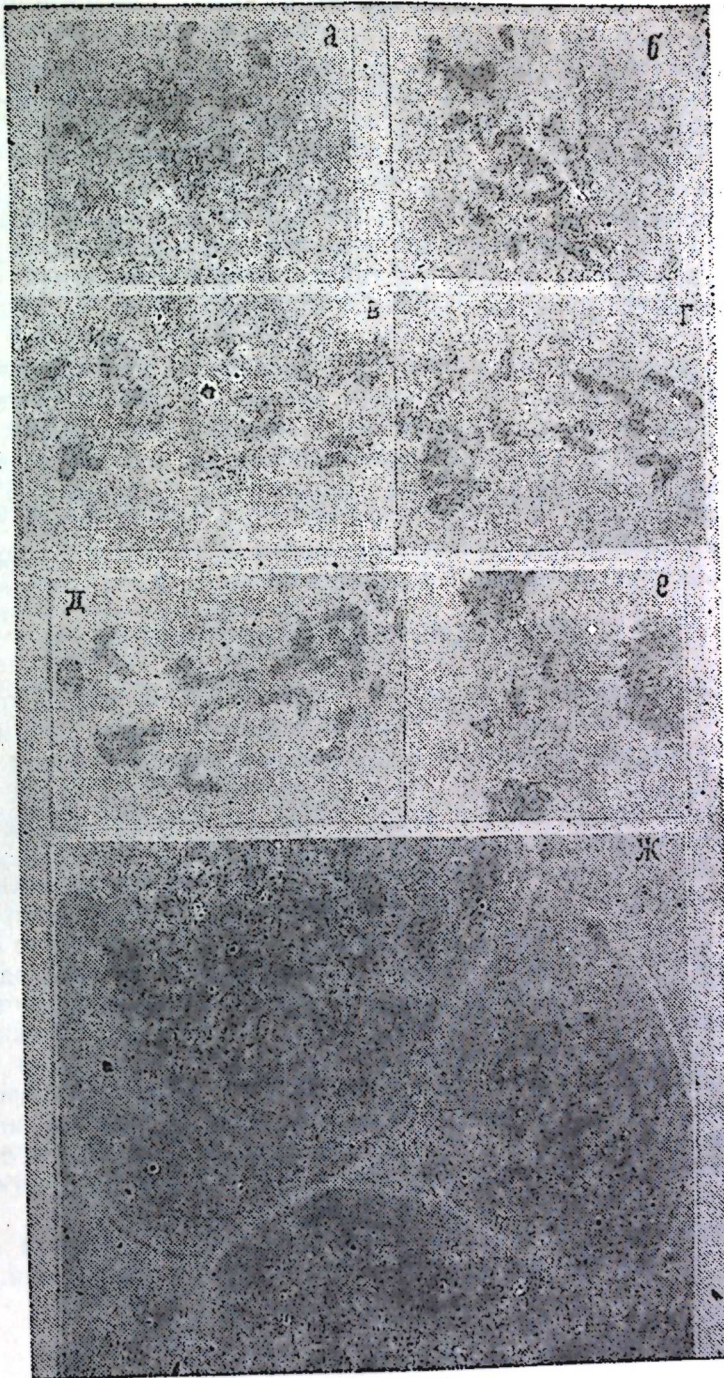


Рис. 2. Некоторые этапы мейоза межродового гибрида F₁ Aegilops ovata L x *Triticum durum* Desf v *hordeiforme*: а — метафаза I с отстающими универсалентами; б — анафаза I с отстающими универсалентами; в — телофаза I с отстающими бивалентами; ж — тетрада микроспор (об. 10X90X).

На стадии телофазы I наблюдается от одной до пяти оставших хромосом, а часто две или четыре (рис. 2е). Во втором делении нарушения аналогичны. В анафазе II было 10,53% с забегавшими и 52,63% — с отстающими хромосомами. Нарушения в III разнообразны, в ряде случаев наблюдаются отстающие хромосомы на экваторе. У гибридов F_1 подсчитывали тетрады с микроядрами. Из таблицы видно, что процент тетрад с микроядрами составляет $70,98 \pm 3,03$.

В процессе мейоза у гибрида F_2 по сравнению с F_1 отклонений бывает значительно меньше. При анализе мейоза у гибридов второго поколения в метафазе I количество унивалентов колеблется от 2 до 6. Данные по нарушениям на различных стадиях мейоза F_2 также приведены в таблице. Из 48 исследованных клеток с метафазой I 30 оказались с нарушениями ($62,50 \pm 6,99\%$). В анафазе I мейоза отмечаются нарушения в отставании и забегании хромосом. Иногда встречаются мосты. Из 36 исследованных клеток 20 — с нарушениями ($55,56 \pm 8,28\%$). На стадии телофазы I наблюдаются одна или две отставшие хромосомы. Во втором делении нарушения аналогичны. В анафазе II было 5,88% с забегавшими и 29,41% с отстающими хромосомами. В телофазе II наблюдаются отстающие хромосомы. У гибридов F_2 подсчитывали тетрады с микроядрами. Процент их $60,59 \pm 3,18$.

ОБСУЖДЕНИЕ ПОЛУЧЕННЫХ ДАННЫХ

Нестабильность числа хромосом в мейозе часто встречаются при отдаленной гибридизации. Это явление характерно для форм, полученных от скрещивания разных видов пшениц с эгилопсами и пыреем [3, 9, 11]. Ли и Ту [3] показали, что у гибридов от скрещивания *Tr. timopheevii* \times *Aegilops bicornis* встречаются нарушения в промейотическом митозе. Нарушение веретена наблюдается и в мейозе. Для пшенично-ржаных гибридов характерно нарушение веретена на ранних стадиях мейоза [8]. Показано, что нарушение веретена может иметь место и после мейоза, после образования тетрады микроспор. В результате в тетрадах не образуются клеточные перегородки и вместо четырех одноядерных микроспор возникает одна микроспора с четырьмя ядрами. Такое явление отмечает Моффет для семейства *Liliaceae* [12]. Наши исследования показали, что в тетрадах наблюдается одна крупная микроспора с микроядрами, а остальные микроспоры — мелких размеров (рис. 2ж). У эгилопсово-пшеничных гибридов нарушения веретена наблюдаются в основном в мейозе, в митозе они отсутствуют. Нестабильность числа хромосом, отставания и забегания в AI и AII, образования микроядер — результат нарушения функции веретена.

Как показано в [9—11], нестабильность числа хромосом зависит от генотипов родительских форм, участвующих в скрещивании.

Выводы

1. У эгилопсово-пшеничных гибридов число хромосом равно $2n=28$.
2. При анализе мейоза на разных стадиях (метафаза I, анафаза I, телофаза I, анафаза II, телофаза II и образование тетрад микроспор) выявляются нарушения клеток. Причина этого — нарушение функции веретена в мейозе.

Литература

1. Сорокина О. И. В кн: «Полиплоидия у растений». М., 1962, 142—117
2. Голубовская И. Н., Шкутина Ф. М., Хвостова В. В. «Генетика», 1967 № 1, 25—33.
3. Li H. W., Gu D. S. Bot. Bull. Acad. Sinica, I, 1917, № 3, 173—186.
4. Фурсов В. И., Шарипова М. А. Тез. докл. III съезда Всесоюз. о-ва генетиков и селекционеров им. Н. И. Вавилова. Л., «Наука», 1977. 482, 8. Хвостова В. В., Праведникова Г. Л. «ДАН СССР», 138, 1961, № 1, 215—218.
5. Кожахметов К. Автореф. канд. дисс. Алматы, 1971. 7. Мустафаев И. Д., Пиралов Г. Р. «С.-х. биол.», XII, 1977, № 2. 8. Шкутина Ф. М. «Генетика», 1966, № 6, 107.
9. Shung-Jui Y. Canad. J. Genet. Cytol., 7, 1965, № 1, 112—123.
10. Belea A. Acta Biologica Acad. Sci. Hungar., XVII, 1968, № 1—2, 151—160.
11. Thomas H., Peregine W. T. N. Chromosoma, 15, 1964, № 2, 123—131.
12. Moffet A. A. Genetics, 25, 1937, № 3, 315—329.
13. Kihara H. Cytologia, 19, 1954, 336—357.

Поступило 13. 1981

Институт генетики и селекции
АН Азерб. ССР

К. М. Расизадэ

F_1 ВЭ F_2 ЕКИЛОПС-БУГДА ҮБРИДЛЭРИНИН СИТОКЕНЕТИК АНАЛИЗИ

Ситологи тэлгигатлар көстәрир ки, F_1 вэ F_2 үбридлэринин *Aegilops ovata* *L.* \times *Triticum durum* Desf. v. *hordeiforme* (Маллани-13 сорт) комбинасијасында бэдэн нүчэргэлэриндэки хромосомларын сајы 28-дир.

Анализлэр иэтничесидэ мүзүйэн олуимушдур ки, меөзэда метафаза I, анафаза I, метафаза II вэ анафаза II просесснди позгунулгур баш верир. Икинчи иэслин үбридлэриндээ позулма һаллары бирничи иэслэ нисбэтэн аздыр.

G. M. Rasi-zade

CYTogenETICAL ANALYSIS OF AEGLIOPS-WHEAT HYBRIDS IN F_1 AND F_2

Cytological studies show that the hybrids of the first and second progenies of *Aegilops ovata* L. \times *Triticum durum* Desf. v. *hordeiforme* (Maliani 13 variety) combination have 28 chromosomes in the somatic cells. Breaches are observed in MI, AI and MII, AII at meiosis analysis. It is observed that F_2 hybrids have less deviations than F_1 hybrids at meiosis.

К СТРУКТУРНОЙ СПЕЦИАЛИЗАЦИИ ПРОВОДЯЩЕЙ СИСТЕМЫ ПАПОРОТНИКОВ ТАЛЫША

(Представлено академиком АН Азербайджанской ССР В. И. Ульянищевым)

Папоротники относятся к числу наиболее древних групп высших растений. Поданным А. Л. Тахтаджяна [1], папоротники произошли от псилофитных и изменились в процессе их эволюции как по форме, так и по внутреннему строению. При рассмотрении структурной специализации наибольший интерес представляет степень специализации проводящей системы растений. Этот вопрос последовательно разрабатывался на примере папоротников Кавказа [2].

В настоящей статье приводятся данные по структурной специализации проводящей системы папоротников и классификация их по степени специализации этой системы.

Из физико-географических зон Азербайджана наибольшее число папоротников отмечено для Талыша [3]. Представители Filicoids распространены здесь в лесных и безлесных — полупустынных условиях.

Последовательные исследования представителей *Sinopteridaceae* Koidz., *Adiantaceae* (C. Presl) Ching, *Pteridaceae* Reichb., *Cryptogrammaceae* Pic., *Hemionitidaceae* Pic. Ser., *Hypolepidaceae* Pic. Ser., *Thelypteridaceae* Pic. Ser., *Aspleniaceae* Mett. ex Prenk, *Athyriaceae* Alston, *Oncocleaceae* Pic. Ser., *Aspidiaceae* Mett. ex Grank., *Polypodiaceae* Bercht et Presl. (30 видов) позволили выявить особенности строения стелы для каждой систематической группы и установить степень их специализации.

У высших растений разные типы стелы (первичная проводящая система осевых органов вместе со связанный паренхимой тканью) представляют интерес при изучении путей эволюции этих растений. Исходным типом стелы является протостела. Этот тип стелы в современной флоре характерен для плаунов и некоторых папоротников [4].

В процессе эволюции строение папоротников изменилось и специализировалось в разных направлениях в связи с приспособлением к различным условиям среды. Наиболее примитивным типом стелы является протостелический тип, в котором проводящая ткань составляет сплошную массу, где ксилема цилиндрическая, занимает центральную часть и окружается флоэмой (гаплостела). Относительно подвижным типом протостелы является ксилема с радиальными выступами (актиностела). На следующем этапе специализации ксилема разбита на отдельные пластинки (плектостела).

В процессе эволюции протостела дала начало сифоностеле (или сердцевинной ткани) — с флоэмою только снаружи (эктофлойная и внутри и снаружи (амифлойная). Амифлойная сифоностела типична

для папоротников, и, когда разбита на радиальные ряды, получается тип диктиостелы.

А. Л. Тахтаджян [1] при характеристике специализации папоротников в разных направлениях отмечает, что у проводящих пучков примитивных папоротников к каждому листу отходит по одному листовому следу: у подвижных часто листовой след разделяется на несколько меристел. Иногда проводящая система листового следа примитивнее, чем организация стелы.

К. И. Мейером [5] исследованы папоротники из представителей дикой флоры и культуры, выращенных в оранжереях Ботанического сада МГУ. В результате отмечено, что развитие идет от простостелы через соленостелию к диктиостелии. Дифференциация элементов проводящей системы на стадии, типичной для данного вида, достигает различной степени совершенствования в зависимости от места заложения проводящей системы. В зародыше-проростке формируется лестничная трахеида, перицикл, а эндодерма позже; дифференциация флоэмы задерживается еще больше; в соленостелии к ним присоединяются ситовидные трубки, внутренняя эндодерма и перицикл, т. е. появляются все элементы проводящей системы.

С точки зрения эволюционной анатомии растений особый интерес представляет, наряду с примитивными признаками у некоторых родов, наличие относительно совершенных трахеид (точечная трахеида, сосуды) (*Pteridium*).

Анализируя результаты исследования папоротников Талыша, попытаемся классифицировать их по степени специализации проводящей системы.

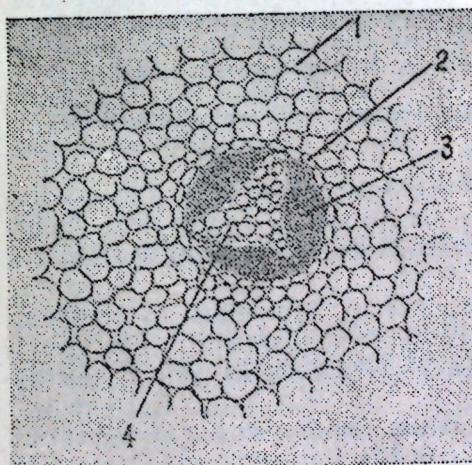


Рис. 1. *Cheilanthes porsica* (Вогу)
Mett. ex Kuhn. (ув. 9×10).
Черешок:
1 — основная паренхима; 2 — эндодерма;
3 — проводящий пучок;
4 — ксилема

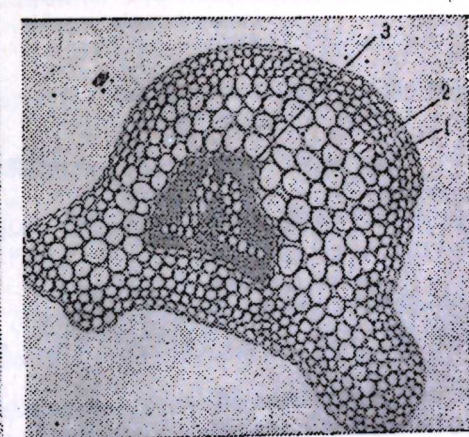


Рис. 2. *Woodsia alpina* (Волт)
Gray (ув. 4×9). Черешок:
1 — эпидермис; 2 — основная паренхима;
3 — проводящий пучок

К примитивным видам папоротников относятся виды с одним проводящим пучком в нижней части черешка, как у видов *Agromyza* (Hemiopteridaceae); *Adiantum capillus* (*Adiantaceae*); *Cheiloleptophylla* (*Hemiopteridaceae*); *Adiantum capillus* (*Adiantaceae*), *Asplenium adiantum-nigrum*, *A. ruta-*

muraria, *A. septentrionale*, *Phyllitis scolopendrium* (Aspleniaceae); *Wood-sia alpina*, *Athyrium filix femina*, *Cystopteris fragilis* (Athyriaceae), *Mateuccia struthiopteris* (Onocleaceae), *Pteris cretica* (Pteridaceae). Однако в пределах примитивности эти виды отличаются степенью специализации проводящей системы: наиболее примитивный тип стелы у *Anogramma leptophylla* (протостела), относительно продвинутый тип стелы у *Ch. persica* и *P. interjectum* (актиностела)—рис. 1.

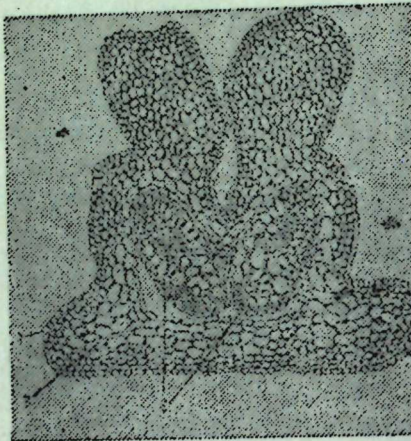


Рис. 3. *Thelypteris palustris* Schott (ув. 4×9). Черешок: 1 — эпидермис; 2 — основная паренхима; 3 — проводящие пучки

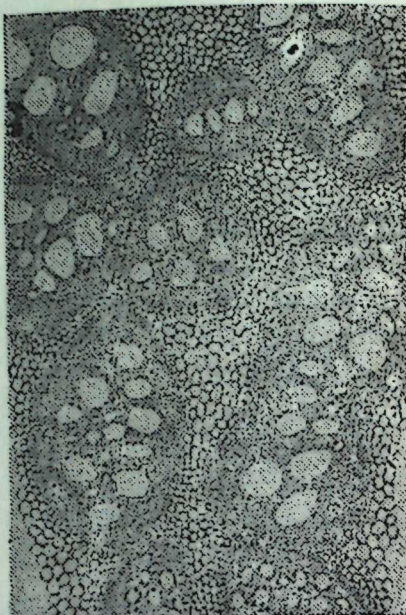


Рис. 4. *Pteridium aquilinum* (L.) Kuhn (ув. 4×9). Корневище, стела полистелического типа

Несколько более продвинутый тип стелы характерен для некоторых родов *Adiantum*, *Asplenium*, *Woodsia*, *Athyrium*, *Cystopteris*, *Mateuccia*, *Pteris*, *Polypodium vulgare*—переходный тип от актиностелы к плектостеле (рис. 2).

К более продвинутым видам относятся *Asplenium trichomanes*, *Ceterach officinarum* (Aspleniaceae), *Thelypteris palustris* (Thelypteridaceae), *Cystopteris fragilis* (Athyriaceae)—переходный тип к диктиостеле (рис. 3).

К видам с продвинутыми признаками по структурной эволюции проводящей системы относятся виды родов *Polystichum*, *Dryopteris* (Aspleniaceae), *Pteridium* (Hypolepidaceae)—диктиостела и полистела (рис. 4).

Выводы

На основании представленных данных по примитивности и продвинутости проводящей системы папоротников можно сказать:

1. Из 30 видов папоротников, распространенных в Талыше, большинство при наличии примитивного строения проводящей системы приспособилось к современным лесным условиям (*Polypodium* и др.).

2. Виды рода *Asplenium* отличаются некоторой специализацией проводящей системы, тогда как виды родов *Polystichum* и *Dryopteris* или представители семейства Aspleniaceae содержат признаки структурной эволюции проводящей системы, характерной для папоротников.

При выполнении данной работы непосредственная помощь и руководство осуществлены З. А. Новрузовой.

Литература

1. Тахтаджян А. Л. Высшие растения, 1. М.—Л.: Изд-во АН СССР, 1956;
2. Новрузова З. А., Аскеров А. М.: «ДАН Азерб: ССР», XXXV, 1979, № 9;
3. Аскеров А. М., Бобров А. Е. «Бот: ж.» 57, 1972, № 10;
4. Жизнь растений, IV. М., «Просвещение», 1978.
- 5: Мейер К. И. Практический курс морфологии и систематики высших растений. М., «Сов: наука», 1948.

Институт ботаники им. В. Л. Комарова
АН Азерб. CCP

Поступило 2. X 1981

В. С. Аббасова

ТАЛЫШ ГЫЖЫЛАРЫНЫН КЕЧИРИЧИ СИСТЕМ ГУРУЛУШУНДА ИХТИСАСЛАШМА

Анатомик тәдгигатлар иетичесинде Талыш гыжылары кечиричи системләrinin ихтиисаслашма дәрәчәләrinе көрү группала айрылышында.

Примитив (ибтидаи) гурулуша малик нөвләр (протостела типли стела) дахилиндә иисбәтән ирәлиләмиш типләр (мәс. *Cheilanthes* чинсин нөвләри) актиностел типли стелаја малиkdir.

Буилара иисбәтән јүksək ихтиисаса уграмышларын стеласы актиностел типдән плектостел типине кечирициdir (*Adiantum*, *Woodsia* və c. чинис нөвләri).

Ирәлиләмиш нөвләрин стеласы плектостел типлиdir (*Ceterach*, *Thelypteris* və c. нөвләri).

Polystichum, *Dryopteris* гыжы чинсләри гурулуш тәкамулу чәhәтдән эи ирәлиләмиш әlamətlərə малиkdir.

V. S. Abbasova

THE STRUCTURAL SPECIALIZATION OF THE CONDUCTING SYSTEM OF TALYSH FERNS

The classification of Talysh ferns by the degree of the specialization of its conducting system is given. Primitive limits of relatively advanced representatives of *Cheilanthes* genus, more advanced transitional ones from Actinostelle to Plectostelle, the most advanced ones—Plectostelle, *Ceterach*, *Thelypteris* were isolated.

The species with the indications of structural evolution—dicotiotella, polystella—are given.

М. А. КАСУМОВ

КРАСНЫЙ КРАСИТЕЛЬ ИЗ ШТОК-РОЗЫ И ЕГО ИСПОЛЬЗОВАНИЕ В ПИЩЕВОЙ ПРОМЫШЛЕННОСТИ

(Представлено академиком АН Азербайджанской ССР И. Д. Мустафаевым)

Выпуск продукции высокого качества требует соблюдения оптимальных технологических режимов производства и применения высококачественного сырья.

После того как было установлено [1], что широко используемый в пищевой промышленности синтетический «амарант» обладает канцерогенными свойствами и он был изъят из употребления, перед учеными была поставлена задача отыскать взамен него новый безвредный краситель, пригодный для подкраски пищевых продуктов. Поиски были ограничены теми видами растений, которые обладали красными или красно-фиолетовыми цветками, т. е. в большом количестве содержали красный пигмент.

В процессе работы над пищевыми красителями наше внимание привлекла шток-роза розовая (*Alcea rosea* L.).

Род *Alcea* из семейства *Malvaceas*, распространенный главным образом в восточной части Средиземноморья, насчитывает около 60 видов. В СССР встречается 34 вида, из них в Азербайджане — 8 (1 — в культуре). Обладает декоративными, лекарственными, масличными, медоносными и красильными свойствами. Самой перспективной для получения безвредных красящих веществ является черная форма шток-розы розовой (*Alcea rosea f nigra*).

В диком виде растет на Балканах и в Малой Азии. Широко распространена в СССР как декоративная культура. Растение многолетнее, травянистое. Корневище толстое, многоглавое, с мощным стержнем, достигающим 40—60 см, корни мясистые, диаметром 7—8 (10) см. Стебель прямой, толстый, жестковато-волосистый, 100—275 (380) см высоты. Цветки крупные, имеют в поперечнике 5—7,5 (8) см. Венчик простых цветков состоит из 5 выемчатых лепестков. Лепестки красные, красно-черные, черно-фиолетовые, розовые, малиновые, белые, розовато-белые и т. д.

Ввиду возможного комплексного использования в разных отраслях народного хозяйства различных форм шток-розы розовой (красной, красновато-фиолетовой, черновато-красной, черно-фиолетовой, малиновой, розовой, черной и др.) мы изучили некоторые биологические особенности этого растения [6].

В цветках шток-розы обнаружены антициановые глюкозиды: цианидин-3-глюкозид, дельфинидин-3-глюкозид и мальвидин-3,5-диглюкозид. Лепестки шток-розы розовой содержат 11—13 (14) % безвредных анти-

циановых красящих веществ, которые можно использовать для подкраски бисквитных кремов, карамели, патоки, дрожжей, лимонадов, товарных сиропов, киселей, хлебобулочных, колбасных и других пищевых продуктов в цвета от красного до розового [3—5, 7].

Для обеспечения нужд пищевой и мясо-молочной промышленности СССР дешевыми и безвредными красными красителями, которые содержат ценные биологически активные вещества, мы задались целью разработать простую, дешевую, современную технологию получения антициановых красящих веществ.

Новая технология получения красного пищевого красителя из шток-розы

С целью упрощения технологии производства и расширения сырьевой базы в качестве растительного сырья используют лепестки шток-розы розовой; экстракцию проводят смесью ацетон — вода в соотношении 1:1 при температуре 50—55°C и с последующей отгонкой ацетона.

Пример. 0,5 кг воздушно-сухих лепестков шток-розы розовой помещают в колбу, заливают смесью ацетон — вода в равном соотношении (1:1) до 5 л и нагревают при 50—55°C в течение 20—25 мин с обратным холодильником. Полученную вытяжку сливают, сырье вновь заливают смесью ацетон — вода в равном соотношении (1:1) и проделывают ту же операцию. В результате двух экстракций получают 10 л вытяжки. Вытяжку фильтруют через обычный фильтр, а ацетон отгоняют до сухого остатка, т. е. содержание сухих веществ должно составлять 60 г.

Полученный в виде порошка продукт представляет собой сумму красящих веществ — 12—13 (14) % в пересчете на воздушно-сухое сырье — темно-вишневого цвета, без запаха и вкуса. Краситель легко и быстро растворяется в воде и спирте. Окрашенные кондитерские изделия — мармелад, фруктово-угодные кисели, карамель и безалкогольные напитки не имеют постороннего привкуса и запаха. Полученный красящий экстракт может заменить синтетический краситель «амарант».

Предлагаемый способ позволяет сократить затраты на получение 1 кг красителя и длительность процесса, способствуя тем самым расширению сырьевой базы для получения пищевых красителей.

Получено разрешение Министерства здравоохранения СССР (письмо № 123-10/3708 от 11. VIII 1978 г.) на использование красного пищевого красителя из лепестков шток-розы в производстве различных пищевых продуктов; в кондитерской, мясо-молочной промышленности и др.

Нами проведены работы по замене в колбасах и нитрита натрия, так как это вещество является канцерогенным. При выработке колбас (молочной и чайной) на 100 кг сырья добавлялось 1,8 мг (вместо 7,65 мг) нитрита натрия, что составляло 25 % от нормы, и 75 % водного раствора красителя шток-розы — 0,6 г на 300 мл воды.

Выработанные колбасы были представлены на дегустацию, где установлено, что опытные партии не отличаются от контрольных. Товарный вид, запах-аромат, вкус, консистенция, сочность опытных колбас были оценены по 5-балльной системе и получили, так же как и контрольные батоны, общую оценку 4. Затем образцы опытных и контрольных колбас были направлены на бактериологическое исследование, результаты которого показали, что наличие микрофлоры в них намного ниже допустимых пределов. Исходя из этого дегустационная комиссия сочла возможным разрешить использование в варенных колбасных изделиях

водного раствора красителя из цветков шток-розы взамен 75 % нитрита натрия (акт от 17. V 1980 г.).

Основные свойства красного пищевого красителя из лепестков шток-розы*

Основные физико-химические свойства красного пищевого красителя, полученного из лепестков шток-розы, следующие:

Содержание сухих веществ, %	45
Содержание красящих веществ, г/кг	40
Титруемая кислотность, град	109—110
Титруемая кислотность в пересчете на лимонную к-ту, %	8—11,2
pH	1—3
Содержание общей золы, %	0,4—0,5
Соли тяжелых металлов	Отс.

Красящие вещества лепестков шток-розы не только придают продуктам определенный цвет, но и повышают пищевую ценность изделий. Полученный антициан улучшает состояние кожи и слизистых оболочек, уменьшает неприятный запах тела, помогает заживлению ран, стимулирует обмен веществ в клетках, ослабляет спазмы кровеносных сосудов, понижает кровяное давление и т. д.

При употреблении в пищу окрашенных пищевых продуктов на организм человека первыми действуют красящие и ароматические вещества — они стимулируют работу желез пищеварительного аппарата.

Выводы

Предварительные фитохимические анализы показали, что изученные нами формы шток-розы содержат пигменты, принадлежащие группе антициановых глюкозидов: цианидин-3-глюкозид, дельфинидин-3-глюкозид и мальвидин-3,5-диглюкозид.

Впервые нами разработан новый, экономически более выгодный способ получения антициановых красящих веществ для нужд кондитерской, карамельной, мясо-молочной, ликеро-водочной и эфиро-масличной промышленности.

Разработанная технология получения красящего вещества весьма проста, не требует сложного оборудования и дорогостоящих реагентов.

Полученное нами антициановое красящее вещество по сравнению с известными обладает лучшими качествами, так как не содержит примесей, снижающих качество препарата.

Новое антициановое красящее вещество из лепестков шток-розы может успешно заменить канцерогенный синтетический краситель «камарант» и 75 % нитрита натрия.

Пищевое антициановое красящее вещество из лепестков шток-розы обладает Р-витаминной активностью и считается синергистом аскорбата.

В полученных нами антициановых красящих пигментах присутствуют ценные для питания человека биологически активные компоненты — витамины, аминокислоты, углеводы, ароматические вещества, минеральные соли и др.

Настоящий антициановый краситель обладает хорошей красящей

способностью, термостойкостью, ароматом, при окрашивании пищевых продуктов долгое время сохраняет свой цвет и не изменяет его при хранении в течение гарантийного срока.

Для обеспечения пищевой промышленности красным красителем из шток-розы рекомендуем ввести это растение в культуру на неблагоприятных почвах в горных районах республики.

Литература

1. Андрианова М. М. «Вопросы питания», 1970, № 5.
2. Андреев В. В. Сухомлинова О. А. «Перспективы промышленного производства и применения естественных пищевых красителей». Кишенев, 1971.
3. Касумов М. А. «Изв. АН Азерб. ССР, серия биол. наук», 1978, № 5.
4. Касумов М. А., Керимов Ю. Б., Бабаев Р. А., Исаев Н. Я. Авт. свид. СССР № 704971, 1979. «Бюлл. изобр.», 1979, № 47.
5. Касумов М. А. «Элм ве хаят», 1980. 6. Касумов М. А. «ДАН Азерб. ССР», XXXVII, 1981, № 11.
7. Касумов М. А. В сб.: «Природа Азербайджана», 1983, № 5 (39).

Институт ботаники
им. В. Л. Комарова АН Азерб. ССР

Поступило 18. VIII 1983

М. Э. Гасымов
КУЛХЭТМИДӘН АЛЫНАН ГЫРМЫЗЫ БОЛАГДАН ЈЕИНТИ СӘНАЈЕСИНДӘ
ИСТИФАДӘ ОЛУНМАСЫ

Мөгаләдә күлхәтми биткисинин ботаникى тәсвири верилир, яни ишләнниб назырлаймыш технология үсулла онун ләчәкләриндән алынан гырмызы рәнкли бојаг маддәси илә јеинти мәһсүлларынын бојанмасында, һәмчинин инсан организмыннан әнәмийзәтнән бәйс өдилир.

M. A. Gasymov

RED DYE FROM THE HOLLYHOCK AND ITS USE IN FOOD INDUSTRY

The article deals with the botanical characteristics of hollyhock, the red dye obtained on a new elaborated technology from the petals, which has useful properties for human organism, and its use in food industry.

* Автор выражает благодарность ст. науч. сотр. Института ботаники канд. биол. наук Г. Г. Асадову за помощь, оказанную при определении физико-химических свойств красителя.

З. Һ. БАЈРАМОВ

СӘФӘВИЛӘР ДӘВЛӘТИНДӘ ДАРУГӘ ВӘ ШӘНӘР ИДАРӘ
СИСТЕМИНДӘ РОЛУ

(Азәрбајҹан ССР ЕА академики Э. С. Сүмбатзадә төгдим етмишdir)

Азәрбајҹан Сәфәви дәвләтиндә шәнәр идарә системи вә онун туралуши барадә индијә гәдәр ајрыча тәдгигат әсәри јазылмамышдыр. И. П. Петрушевски, О. А. Әффандијев, Э. Э. Рәһимани, А. П. Новоселтсев, М. Х. Һејдәров, К. К. Кутсија, алман алими Рөһрбөрн, Инкилтәрә алими В. Ф. Минорски, мұасир Иран тарихчиси Нәсруллаһ Фәлсәфи Сәфәвиләrin дәвләт гурулушундан, шәнәр һәјатындан бәһс едәркән шәнәр идарә гурулушуна, о чүмләдән даругә мәсөләсүнә дә тохумушлар[1].

Мәгәләдә даругә, онун вәзиғә вә ихтијараты, шәнәрин идарә олунмасында ролу һагтында мәнбәләрдәки мә'лumatы арашдырмағы гарышы да мәгсәд гојмушут.

Мә'лум олдуғу кими, даругә (داروغه) шәнәр идарә системинде инициативи ишләр бахыр вә мұасир диллә десәк, полис рәиси һесаб олунурdu. В. Ф. Минорски јазыр ки, «даругә» монгол дилиндә рәис мә'насында ишләниб, үмуми бир идарә истилаһыдыр.[2]

«Тәэкирәт әл-мұлук» әсәринде даругәнни вәзиғеси белә шәрһ едилir: «Даругә диванбәји чүзүүндәндир гә эсасән шәнәри ичәридән вә дышарыдан горујур ки, һеч кәс гануидан кәнәр иш көрүб, дава-далаш салмасын, шәр'ә хилаф олан ишләри (шәраб ичмәк, гумарбазлыг вә с.) гадаған етсии ки, һеч кәс хилаф ишләр көрмәсии, шәрият еңкамларына зидд иш көрәнләри чәзаландырыны; мүгәссирләрдән төрәтдикләри чинајет ишләри мұвағиғ чәrimә алсын; даругә кечәдән үч saat кечмиш Гејсәрийјә (шах базарына) кәлмәли, сопра табелијинде олан шәхс-ләрлә ат үстүндә һәр даи үзү шәнәрин мүәјжән бир тәрәфини (chidac исә табелијинде олан адамларла шәнәрин дикәр тәрәфини) қәэмәли иди.[3]

Даругәнни табелијинде горчу, гулам, топчу вә туфәнкчиләр вар иди. Даругә һәмин адамлары дәстә башчылары гојараг шәнәрин мәһәлләләрин тә'јин едирди ки, кечә-күндүз һәмин мәһәлләләри горујуб мұнағизә етсиләр, шәр'ә хилаф һәрәкәтләрни, гануиданкәнар ишләрин гарышыны алсынлар.

Баһасы вә ja дәјәри 5—12 түмән олан мұбаһисәли мәсөләләри даругә, бу мәбләгдән јухары олдугда исә диванбәји һәлл едирди. Даругә илә диванбәјинин нүгүг вә ихтијараты арасындағы фәрг бундан ибарт иди ки, даругәнни һәлл едә биләчәни ишә диванбәји гарыша биләрди. Лакин мәсәлә диванбәји чатдыгда даругәнни о ишә гарышмага ихтијары јох иди.[4]

Гејд етмәк лазымдыр ки, миришәб (кечә-әмири вә ja кечә полиси башчысы) дә даругәје табе иди. О да өз дәстәси илә кечәләр мәһәлләләри кәзир, баш вермиш оғурлуг һадисәләри барадә күндүз даругәје

мә'лumat верирди. Җинајәткар әлә кечикдә оғурламыш малын 2/6 һиссәсии (Нәсруллаһ Фәлсәфијә көрә 1/3 һиссәсии) миришәб өзүнә көтүүр, галан һиссәсии исә диваңбәји вә даругәнни иштиракы илә саңибинә чатдырырды. Мүәյҗән едилмиш вахтда кечә әмири оғурлары әлә кечирә билмәдикдә вә тапмадыгда оғурламыш малын дәјәрини өзү өдәмәли иди.[5]

Миришәб кечәләр базар чөркәләрни, тичарәт, сәнәткарлыг магазаларыны торумгла шәһірдә гајда-гануун қозләмәли иди.[6] О, гарәтилик, адам өлдүрмә вә һәр чүр шәрият гајдаларынын позулмасына چавабдең иди; әснаф үзвәleri вә әснафларарасы мұбаһисәли мәсәләләри һәлл едә билмәдикдә ишә даругә гарышырды. О, тәһигат апарыб, күнаңкары мүәյҗәнләшдирмәли, ону мәс'улијәтә чәлб етмәли иди.[7]

Нәсруллаһ Фәлсәфи әсәринин идарә гурулушу һагтындакы баһисинде бу барадә јазыр ки, даругә шәһір этрафынын горунмасы үзә мәс'ул мә'мур иди вә шәһір қозэтчиләрнин рәиси олмаг е'тибарилә өзү мүгәссирләри чәзаландырыр вә чәримәләр алырды[8].

Жухарыда тәјд етдијимиз кими, кечә вә күндүз шәһір инициамыны горујан бүтүн мә'мурлар вә шәһір мұнағизәси илә мәшғул олан горчулар, гуламлар, топчулар да мүәјжән мә'нада она табе иди[9].

1684-чу илдә Азәрбајҹанда олмуш алман сәјјаһы Енгелберт Кемпфер, Исфаһан даругәсіндән данышаркән јазыр ки, о пајтахтда сакитлијин тә'мин едилиб горунмасы үчүн мәс'улијјет дашыјыр, ганунлары позан адамлары тә'гиб едир, мүгәссирләри бә'зән нәгд чәримә едир, бә'зән дә һәбс етмәклә чәзаландырыр. О, әсәсләрә* дә башчылыг едир. Әсәсләрин башчысы кечәләр өз забитләри вә шәбәкәрләрни (кечә қозэтчиләри) илә пајтахтда кәзир вә чинајеткавлары тутурдулар [10].

1683-чу илдә Азәрбајҹана көлмиш Франса сәјјаһы Сансонун мә'лumatына көрә, даругәдән башга мүшриф (баш нәзарәтчи) адланан баш нәзарәтчи вәзиғеси дә мөвчуд олмушшур. Бу алам даругәнин көмәкчиси сајылырды [11]. Даругәнни иллик мәвачиби 400 түмән иди ки, мүгәссирләрдән, чаниләрдән алынан чәримәләр һесабына өдәнилирди[12]. Иллик чәримә мәбләги 400 түмәнә чатмадыгда да даругәје вериләчәк мәвачибин кәсирини шаһ өз һесабына өдәјирди[13].

Гејд етмәк лазымдыр ки, јүксәк диван идарәсінин катибләрнин (мүнишиләрнин) әрекәтләре дә даругә адланырды; даруге-ји фәррашхана (фәррашхана даругәси), даруге-ји дәфтәрхана (дәфтәрхана даругәси) вә с. [14] Алман сәјјаһы Енгелберт Кемпферин јаздығына көрә, лешкәрневис (гошуну сијаһы алан), този дәфтәрханасы (бөлүчү, бөлүмә, веркиләри бөлмә), мәмалик дәфтәрханасы (өлкәнин бүтүн кәлир вә мәхаричини гејд едән вә һесаба алан малијә дәфтәрханасы), хассә дәфтәрханасы (шаһын әмлакыны, онларын кәлирни вә мәхаричини һесаблајан вә гејд едән дәфтәрхана) мөвчуд олмушшур[15].

Азәрбајҹанын мәшһүр тарихчиси Искәндәр бәј Мүнши 1585-чи илдә Әлигулу хан адлы бирисинин дәфтәрхана даругәси тә'јин олундуғуну билдирир[16]. Ајры-ајры тајфалар үчүн дә даругә тә'јин олунурду. Гази Әһмәд Гуми һ. 956 (1549)-чы илдәки һадисәләрдән бәһс едәркән јазыр ки, Шатыр бәј Шаһверди бәјин гоһумларындан олуб Азухлу улусунун даругәси иди[17]. Искәндәр бәј Мүнши исә һ. 957 (1548)-чи ил һадисәләрниндән бәһс едәркән Шатыр бәјин түркман тајфасынын даругәси олду-

* Шәнәрин кечә мұнағизәси илә мәшғул олан полис мә'мурлары рәиси миришәб илә јанаши, әсәсләши вә јаҳуд еңдас адланырды.

Гејд: миришәб-кечә әмири; әсәсләши-кечә қозэтчиләрнин рәиси, еңдас-һадисәзүндән олуб, һадисә төрәдәнләри тә'гиб едән мә'мур.

ғуны билдирир [18]. Гази бәj Чәркәсии Ы. 1034 (1624—25)-чү илдә Кылан даругәлијиндән чыхарылыб хан рүтбәси верилмәклә Ширван бәjләрбәji тә'jин едилмәси һаггында мә'lumat бөjүк бир әjalәtә дә даругә тә'jин олундуғуны көстәрир [19]. Дөврүн мәнбәләrinи диггәтлә нэзәрдән кечирдикдә мә'lum олур ки, даругә тәкчә шәhәr полис рәиси дејил, ejini заманда мүejjәn шәhәr вә шәhәrәтрафы маһал вә ja бүтөв бир әjalәt шаһын хүсуси әмлакы (Хассә) олдугда ораја да даругә тә'jин едилди: Бир гајда олара хассә әмлакын ида-рә едилмәси даругәjә тапшырылырды. Сәфәвиләр дөврүндә хассә әразијә рәhбәрлик едәиләрә даругә вә ja hаким дејилирди: Бу ики термин соҳ ваҳт синоним кими ишләимишdir. Мәсәлән, 1533 — 1578-чи илләрдә Тәбрiz хассә олдуғу ваҳт ораја даругә тә'jин етмишиләр. Белә ки, 1571-чи илдә Тәбрiz үсјаны башланан заман Аллаhгулубәj, үсјанын кедишиндә исә jени тә'jин олунмуш Баба Султан Тәбрiz hакими олмушлар. Һалбуки, Исқәндәр бәj Мүниши онларын hәр икисини даругә адландырмышдыр[20].

Хассэ эмлака шаһ тәрәфиндән даругә тә'жин едиләркән, о бу саһәдә тәк инзабати-полис мә'муру кими галмыр, хассәнни там һакимни олурду.

1636—1639-чу илләрдә Голштинија елчиләриниң тәркибиндә Азәрбајчанда олмуш Адам Олеари мушаһидә етмишdir ки, Гәзвин Сәфәвиләр дөвләтинин пајтахты оларкән орада хан јох иди, шәһәри анчаг даругә вә мә'мурлар идарә едирди. Адам Олеари языр: «Биз Гәзвинә яхынлашан заман даругә бир нечә јүз атлы вә пијада илә бизи гарышылады[21]. Адам Олеаринин гејдләри хассә әмлакының даругә тәрәфиндән идарә олундуғуну вә хассә әмлакының ихтијаратының там она анд олдуғуну долајы шәкилдә тәсдиг едир. Јенә һәмни мәнбәдә көстәрилир ки, Гәзвин, Исфаһан, Қашан, Техран, Һәмәдан, Мәшһәд, Кирман, Һәрмүз шәһәрләриндә, һабелә Күрчүстаның бир һиссәсендә вә башга јерләрдә дә хан дејил, анчаг даругә вардыр; хан олмадығына көрә неч бир гошун да јохдор вә бу вилајетләр, шәһәрләр шаһа чох бәйүк верки өдәјиrlәр[22].

Бурадан айын олур ки, көстәрілән шәһәрләр, вилајетләр бүтән лукдә (јаҳуд онларын бир һиссәси) вә хүсусилә дөвләтин мәркәзи шәһәри, бир гајда олараг, хассә әмлакына аид олдуғу үчүн шаһын тә'жин етди жаңынан даругәләр тәрәфиндән идарә едилмисидир.

Османлы тарихчиси Хачә Сә'дәддин Әфәнди Чалдыран дөјүшүндөн соңракы һадисләр барәдә јазаркән көстәрир ки, Тәбриз даругәси олан Ыалвачы оғлу Һүсәйн бәј Тачлы ханымы ахтармаг вә Тәбризи горумаг үчүн керидә галмышды [23]. Белә бир мәс'улийәтли ишин мәһз Тәбриз даругасинә тапшырылмасы вә шәһәрни бу дөврдә пајтахт олмасы бурада да хассә әмлакынын даругәнин ихтијаратында олдуғуну еһтимал етмәјә әсас верир.

Мәркәздән даругә илә бирлиқдә вәзири дә тә'јин олунурду. Чох вахт вәзири илә даругә арасында ихтијарат үстүндә ихтилаф дүшүрдү. Бә'зән даругә рүтбә чәһәтдән вәзиirlәрдән јүксәкдә дурур, бә'зән дә вәзири даругә илә ejni һүгуга малик олурду [24]. Шәһәр әчинәби гошуналар тәрә-финдән тәһлүкә алтына алындыгда шәһәр мұдафиәсінин тәшкили вәзири-дән даһа чох даругә тәрәфиндән һәјата кечирилирди. Белә һалларда даругә вәзиирдән даһа јүксәкдә дурурду. Даругә чох вахт хан рүтбәси дә алыр вә һәрби јүрүшләрдә иштирак едириди. Даругәнин 200—300, бә'зән дә 500 дөјүшчесү олурdu[25].

Шәһәр хассәје чеврилдикдә дәрһал ораја даругә тә'јин едилирди. Ын дә даругә вәзиғеси әмирлик рүтбәси верилмәси илә мұшајнәт олурду. Мәсәлән, һ. 973 (1565—66)-чү илдә Jagub бәj јұзбашы Әфшар

эмирлик рүтбэси алыб Тэбриз даругэсн тө'жин олунмушду[26]. Гази Эх-мэд Гуми 1585-чи ил надисэләриндэн бәйс едәркән «һөкумет» илә «даругэ» истилаһыны бир јердә синоним кими ишләтмишdir. О јазырды: «Элигулу ханын гардашы Һүсеңигулу хан Тэбризин һөкумети вэ даругэсн тө'жин едиlldи». Һәмин даругәний 500 нәфэр мулазими вар иди[27] Бу вәзијјэтә биз Күрчустаңда да тәсадуф едирик. Белә ки, 1572-чи илдә чар Симон тәрәфиндән верилмиш бир фәрманда шәһәр «моурави» (накими) термини әвзанин «шәһәр даругэсн» ишләммишdir. Башга бир фәрманда күрчү дилиндә синхрон мәтининдә һәминн соы «даругэ» ишләнмишdir. Ш. А. Месхиа бу барәдә јазып: «Биз кафи мигдарда сәнәдләр эсасында тәсдинг едирик ки, даругэ тамамилә «моурови» сөзүнә уйғун кәлир вэ даругэ һесабына топланылан верки (самоурови) һесабына топланылан веркинин ејнидир»[28].

Беләликлә, хассә ёлан олуумуш вә ја олуумамыш шәһәрләрдә даругәнин бөјүк вә мүйүм ихтијараты вар иди. Лакин хассә шәһәрләрдә даругә там ихтијар саиби вә билаваситә шаһа табе олдуғу һалда, хассә олмајан шәһәрләрни даругәсін әжаләт бојләрбәјисинә вә һакиминә табе иди. Бунданә әлавә, хассә олмајан шәһәрдәки даругәни әжаләт бәјләрбәјисинин өзү тә'җин стдији һалда, хассә шәһәрә даругә билаваситә шаһны фәрманы илә тә'җин едилирди. Бу, даругә институту тарихи илә бағлы олна башлыча хүсусијәттәр.

Эдэбијат

1. И. П. Петрушевский. Очерки по истории феодальных отношений в Азербайджане и в Армении в XVI — начале XIX вв. Л., 1949; Іенә онун. Азербайджан в XVI—XVII вв. «Сборник статей по истории Азербайджана», вып. 1, Баку, 1949, сн. 249-251; О. А. Эфендиев. Азербайджанское государство Сефевидов. Баку, 1981; А. А. Рахман. «Тарих-и алам арај-и Аббаси» как источник по истории Азербайджана, Баку, 1960; А. П. Новосельцев. «История СССР», № 1, 1959; М. Х. Гейдаров. Ремесленное производство в городах Азербайджана в XVII в. Баку, 1967, сн. 140-141; К. К. Куцая. Города и городская жизнь Сефевидского Ирана. Автореф. докт. диссерт. Тб., 1967, сн. 8-9; Раһрберн. Незаме әjalat дәр довре-je Сәфәви: Алиян дилиндән фарс дилинә тәрчүмә едәни Қејкавус Җаһандари, Тегран, 1349; В. Ф. Минорски. Саземане едари-je Җокумәт-и Сәфәви, Тегран, 1334, сн. 136; Нәсруллаh Фәлсәфи. Зәндәгани-je Шаh Аббас әvvәl, II чилд, Тегран, 1334, сн. 412-413; III чилд, сн. 255. 2. В. Ф. Минорски. Қестәриләn әсәри, сн. 136. 3. Тәзкират әл-мулук, Тегран, 1332, сн. 48. 4. Іенә орада, сн. 48. 5. Тәзкират әл-мулук, сн. 48-49; Нәсруллаh Фәлсәфи. Қестәриләn әсәри, II чилд, сн. 412-413, həm dә. бах: К. К. Куцая. Қестәриләn әсәри, сн. 8-9. 6. Нәсруллаh Фәлсәфи. Қестәриләn әсәри, III чилд, сн. 255. 7. М. Х. Гейдаров. Қестәриләn әсәри, сн. 140-141. 8. Нәсруллаh Фәлсәфи. Қестәриләn әсәри, II чилд, сн. 412-413. 9. Іенә орада. 10. Енгелберт Кемпфер. Дәр дәrbare шаһәни-je Иран. Қејкавус Җаһандарының фарс дилинә тәрчүмәси, Тегран, 1350, сн. 104-105. 11. «Сәфәриаме-je Сансон», сн. 40. 12. Іенә орада, сн. 40. 13. Нәсруллаh Фәлсәфи. Қестәриләn әсәри, II чилд, сн. 413. 14. В. Ф. Минорски. Қестәриләn әсәри, сн. 136; Нәсруллаh Фәлсәфи. Қестәриләn әсәри, III чилд, сн. 254. 15. Енгелберт Кемпфер. Қестәриләn әсәри, сн. 111. 16. Искәndәr бәj Mүnши. Тарих-и алам арај-и Аббаси, Тегран, 1350, сн. 325. 17. Гази Әhmәd Гуми. Ҳұласат әt-тәварих. Берлин иүсхәси. Азәrb. CCP EA TIZA, вәр. 173 б. 18. Гази Әhmәd Гуми. Ҳұласат әt-тәварих. Берлин иүсхәси, вәр. 108; Тарих-и алам арај-и Аббаси, сн. 128. 19. Тарих-и алам арај-и Аббаси, сн. 1040. 20. Гази Әhmәd Гуми. Ҳұласат әt-тәварих. Тегран иүсхәси, вәр. 236; Тарих-и алам арај-и Аббаси, сн. 118. 21. Адам Олеарий. Подробное описание путешествия голиштинского посольства в Московию и Персию в 1633, 1634, 1639 гг. Пер. с немец. П. Барсов. М., 1870, сн. 110. 22. Іенә орада, сн. 885. 23. Ҳаç Сә'даддим Әфәнді. Тач-әt- тәварих. IV чилд. Истамбул, 1979, сн. 219. 24. Раһрберн. Қестәриләn әсәри, сн. 188. 25. Тарих-и алам арај-и Аббаси, сн. 686; Чұнабәди. Роззат-үс-сәфәвијә. Азәrb. CCP EATIEA, № 3515, вәр. 377. 26. Гази Әhmәd Гуми. Ҳұласат әt-тәварих. Берлин иүсхәси, вәр. 226 а, б. 27. Іенә орада. Тегран иүсхәси, вәр. 481-482. 28. Ш. А. Месхия. Города и городской строй феодальной Грузии. Тб., 1959, сн. 246.

Степанакерт Педагоги Институту

Алматы шаңдауры 1, XI 1982

ДАРУГА В СЕФЕВИДСКОМ ГОСУДАРСТВЕ И РОЛЬ ЕГО В СИСТЕМЕ ГОРОДСКОГО УПРАВЛЕНИЯ

В статье рассматривается вопрос о должностях даруги, его функциях и правах, о роли в сефевидской администрации. «Даруга» по-монгольски — «начальник». По сведениям «Газират ал-илюк», он охранял город и его окрестности, следил за исполнением законов администрации и предписаний шариата. В распоряжении даруги находились ответственные за охрану города горчу, топчу и туфекчи; следовательно, в современном понятии даруга — это начальник городской полиции.

Миршеш (ночной эмир) также был подчинен даруге. Жалованье даруги составляло 400 туманов и выплачивалось за счет штрафа, взысканного с нарушителей порядка, уголовников и т. д.

Даругами являлись также начальники секретариата управления дивана (даруга-и фаррашхана, даруге-и дефтерхана и т. д.). Назначенный шахом для управления его собственным доменом — хассе даруга являлся одновременно и государственным чиновником. Судя по источникам, нередко термины даруга и хаким выступали как синонимы. Даруга в хассе шаха подчинялся только шаху, а в других городах, не входящих в хассе, — беглярбеку и хакиму провинции.

Z. H. Bairamov

DARUGHA IN THE SAFAVI STATE AND ITS ROLE IN CITY ADMINISTRATING SYSTEM

On the basis of original sources, the article concerns the matter of the title «darugha», which played a significant part in city administrating system of the Safavi state. From the original sources it became clear, that the darugha performed a function of not only city police chief, but he also managed a district of a city or at times the entire area, being a part of the shah's «chasse».

УДК 930.26

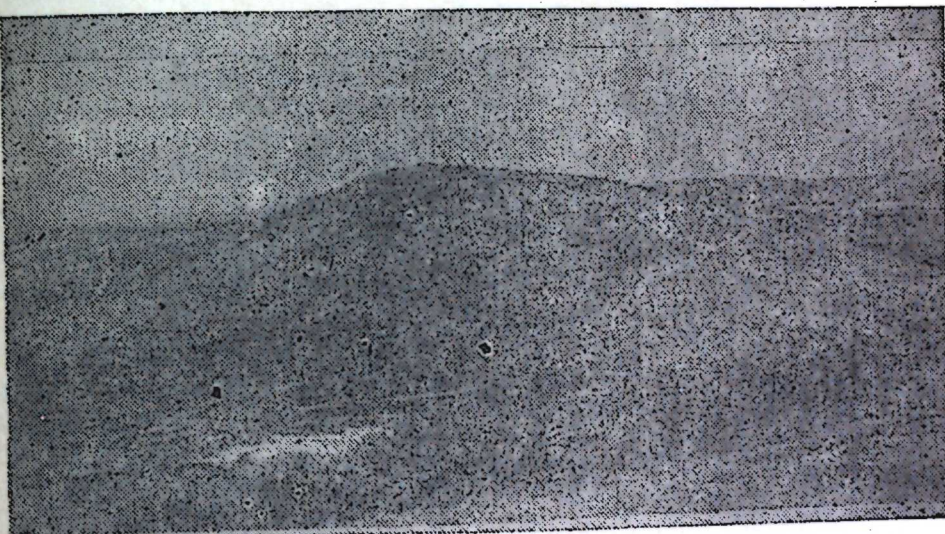
АРХЕОЛОГИЈА

Т. Р. ЭЛИЈЕВ

РУСТЭПЭ ЎАШАЙШ ЈЕРИ ҖАГГЫНДА ИЛК МӨЛУМАТ

(Азәрбајҹан ССР ЕА академики З. М. Бүнјадов тәгдим етмисидир)

Бакы—Дэвэчи шосе јолунун сағында, Дэвэчи шэһэринии чэйнубдан бир километрлијинде мүхтэлиф һүндүрлүкдэ тәпелэр силсиләси узаныр. Буилар арасында јерли чамаатын «Рустеп» адландырыдыры тәпә өз формасы вә өзәмәти илә диггәти чәлб едир (I-чи шәкил).



1-шы шеккад. Абидәнин үмуми көрүнүшү.

Рустәпә илк дәфә Азәрбајҹан ССР ЕА Тарих Институтунун «Азәрбајҹанын археологи абидәләр күллијаты» экспедицијасы тәрәфиндән 1979-чу илдә шимал-шәрги Азәрбајҹанда гејдә алымышдыр.

Експедисија иәтичесиндә, тәпәниң илк дәмір дөврүнә аид жаша-
йың іери одмасының тәсдиг едән материаллар тапылыштыр.

Рустәпә абиәси шимал-гәрә вә чәнуб тәрәфдән әкин үчүн истифадә олунан саһә илә, шәргдән шоран торпагларла, гәрбдән исә шосејолу илә әнатә олуумушдур. Абиә Хәзэр дәнизииниң гәрбидә-12 километријиндә јерләшир. Тәпәниң үстү јасты олуб, үч тәрәфдән диккәр. Диккәр дөрдүнчү тәрәф—чәнуб-шәрг тәрәф исә иисбәтән майлиди.

Жашаыш жеринин усту вә жамачлары отла әртүлү олдуғундан жаҳшы саҳланылмышдыр. Жалныз шәрг тәрәфдә: абиде чүзи тәбии дағынтыя (10 кв.м-э гәдәр саһә) мә'руз галмышдыр. Бурадан исә галын күл гаты

вә керамика нұмұнәләрінә малик мәдәни тәбәгәнин 3,5 м-э жағын олдуғу айдын көрүнүр.

Рустәпә жашаыш жері үстүнүн саңаси 2300 к.м., һүндүрлүјү чәнубшәрг тәрәфдән 6 м, дикәр тәрәфләрдән исә 20 м-э чатыр. Тәпәнин кәнарлары жер сәтіндән ашағы олуб, гамыш битән батаглыгла әнатә едилмишидир. Бу исә жашаыш жеринин вахтилә хәндәклә даирәж алымасы, һәмчинин мұдағиә олумасы һағында фикир сөјләмәjә имкан верир.

Абидәдән 200—250 м гәрбдә, шумланмыш саңадә һәмин жашаыш жеринин гәбиристанлығы олмушудур. Лакин тәсәрруфат ишләри заманы гәбиристанлығы гисмән дағыдылмышдыры. Жерли чамаатын сөјләдиинә көрә, торлаг ишләри апарыларқен даш гуту типли гәбиrlәрә, керамика нұмұнәләрінә, мунчуг вә метал бәзәк әшжаларына тәсадүf едилмишидир. Тәессүf ки, һәмин мадди-мәдәниjәт нұмұнәләри бизе кәлиб чатмамышдыр.

1979—1980-чи илләрдә апарылан археологи кәшфијјат заманы Рустәпәнин үстүндән вә дағынтыя мә'рүз галмыш жамачындан, һәмчинин гәбиристанлығы жеридән ашағыда көстәрилән бир сыра кил габ нұмұнәләри топланмышдыр.

Тәсәрруфат күпүнүн ағзындан гырыг. Габ түнд боз рәнкдә олуб, дулус чархында назырланмышдыр. Килинин тәркибинде айдын нәзәрә чарпан түм дәнәләри вә парчаланмыш балыггулағы һиссәчикләри вардыры. Кил ашағы кејфијјетли олса да, габ жағы биширилмиш вә давамлыдыры. Күпүн ағзынын диаметри 15 см-дир. Ағыз һиссә бир аз харичә мејл етдирилмиш вә кәнарлары бурулмуш кәндирә-охшар нахышла нашиjәләнмишидир. Қевдә ағыз һиссә илә бирбаша бирләшир.

Габын дахили һиссәсінин һамарланмасы үчүн истифадә едилмиш дулус бычағы бир-биринә паралел он батыг вә габарыг хәтт әмәлә кәтирмишидир.

Күпүн ағзынын диаметри вә чијин һиссәси онун енли көвдәли олдуғуна көстәрир (2-чи шәкил, 1).

Күп чијиндән гырыглар (2 әдәд). Бүнлар айры-айры құпләрә мәхсус олуб, түнд боз рәнкә чалыр. Һәр икиси тәркибинде сохлу гум гарышығы олар килдән назырланмышдыры. Күп гырыглары үзәриндән габын көвдәсіни чијин һиссәдән аյран кәмәр кечир. Кәмәрин үстү исә нахышланыб далғавары шәклә салынмышдыры.

Габ түрыгларынын галынлығы (1,2 см; 1,6 см) вә формасы онларын ири тәсәрруфат күпүнүн һиссәләри олдуғуны сөјләмәjә әсас верир (2-чи шәкил, 4,6).

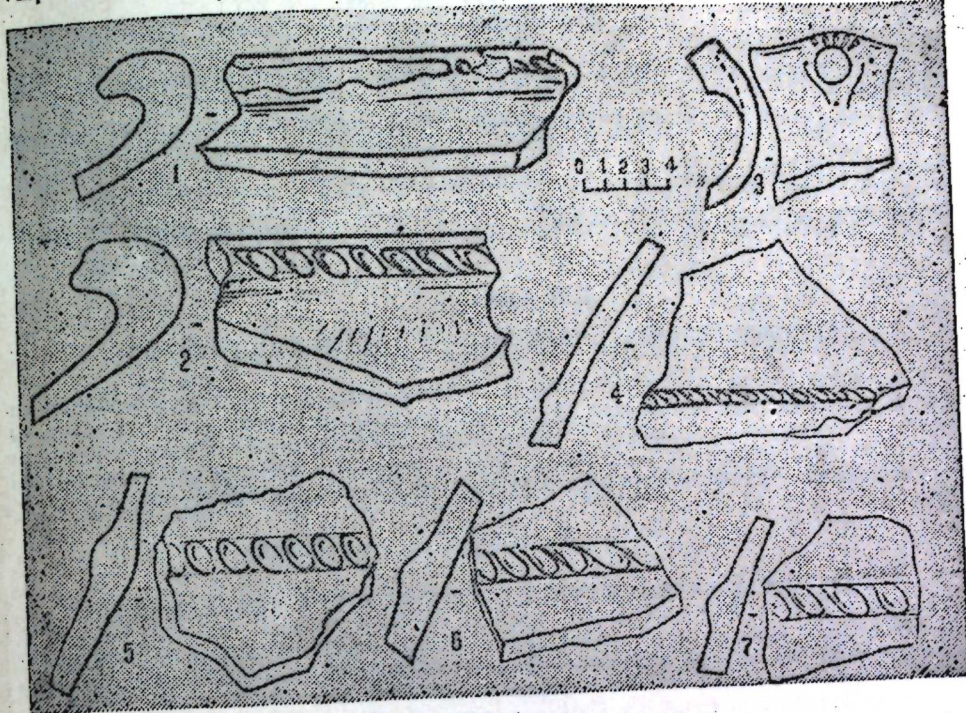
Сүддан бичимли габын ағзындан гырыг. Гырыг керијә майлидир. Кили тәмизdir вә биширилдикдән соңра гарантыйл рәнк алмышдыры. Сох давамлыдыры. Белә ки, габын гырыг жері-кәсійі гара рәнкли чајдаши гәлләсіни хатырладыр. Габын һәр икі сәтінә бозумтул ширә чәкилмишидир.

Габын ағыз һиссәсінін көвдә илә бирләшdirән чубугвары туллардыры. Онун үзәриндә жуарыдан-ашағы дағру чәртмә үсулу илә беш дәрени хәтт чәкилмишидир.

Килинин тәмиз әрмасы вә габын үзәринин ширләнмәси һәмин гырыгын мәишәт габына мәхсус олдуғуны көстәрир (2-чи шәкил, 3).

Күп ағзынын гырығы. Түнд боз рәнкдәdir вә гум гарышығы сохрудур. Ағыз һиссә харичә мејл етдириләрәк кәнарлары нахышла нашиjәләнишидир. Габын бояз һиссәсіндән ашағыja, чијин үзрә габарыг хәттәр чәкилмишидир (2-чи шәкил, 2).

Күп гырыглары (2 әдәд). Һәр икі күп тырығы мұхтәлиф габын чијин һиссәсінин гырығыдыр. Қәсикдә гум гарышығы олар мұхтәлиф рәнкли кил гатлары айдын һисс олунур. Габларын дахили һиссәси кобуд назырланмышдыры. Харичи сәтни исә һамар олуб, боз рәнкә чалыр. Һәр икі гырығын үзәриндә габарыг вә басма нахышларла боззедилмиш гуршаг



2-Чи. Шәкил Абидәдән ашкар олумуш керамика нұмұнәләри.

вардыры (2-чи шәкил, 5,6). Гырыглардан биринин үзәриндә гуршагдан жуары габарыг паралел хәттләр чәкилмишидир (2-чи шәкил, 6).

Тәсвиr етдијимиз материаллар Дағыстандан тапылмыш бир сыра мадди-мәдәниjәт нұмұнәләри илә охшардыр. Бу исә тәсадүf дејилдир, белә ки, шимал-шәрги Азәрбајҹан Дағыстанла, хүсусен онун чәнуб һиссәси илә вайид әрази бүтөвлүjү тәшкіл едир.

Рустәпә керамика нұмұнәләринин әксәриjәти «кәндирвары» нахышла боззедилмишидир. Енни заманда, онларын тәркибинде гум гарышығы вә балыггулағынын хырдаланмыш һиссәчикләри сохрудур. Бу тип нахышлы вә тәркибли габлар Дағыстанын Жуарыгуныб жашајыш жериндей¹, Мака гәбиrlәrinidәn², Берикеj даш гуту тәбириндәn³ вә с. абидәләрдән ашкар олунараг е. э. VII—IV әсрләрә аид едилмишидир.

Дағыстанын илк дәмир дөврү тәдгигатчысы М. И. Пикул да тәртиб етдији археологи абидәләрин үмүмиләшдирилмиш таблосунда⁴ «кәндирвары» нахышлы габлары илк дәмир дөврүнүн иккичи мәрһәләсінә, јә'ни е. э. VII—IV әсрләрә аид едәрәk, онларын е. э. I миниilliјин орталарында даға кениш жајылдығыны көстәрир.

Рустәпә жашаыш жеридән ашкар едилмиш керамика нұмұнәләри жуарыда гејд олунан әразидән тапылмыш мадди-мәдәниjәт нұмұнәләри охшардыр. Биз дә дағыстанлы тәдгигатчыларын фикирләри илә разылашарааг Рустәпәни е. э. VII—IV әсрләрә аид жашаыш жері несаб едирик.

Үмид едилә биләр ки, кәләчәк тәдгигатлар чох мараглы абиә олан
Рустепе һагында даһа әтрафлы мә'лумат алмаға имкан верәчәкдир.

Әдәбијат

1. «Древности Дагестана», Махачкала, 1974, таб. 2, рис. 1. с. 287.
2. Котович В. Г. Новые археологические памятники Южного Дагестана, МАД, 1959, т. 1, с. 142—143, 145.
3. «Памятники эпохи бронзы и раннего железа в Дагестане». Махачкала, 1978, с. 139, рис. 2, 4.
4. Пикуль М. И. Эпоха раннего железа в Дагестане. Махачкала, 1967, рис. 30.

Азәрбајҹан ССР ЕА
Тарих Институтунун
Археология өз Етнографија Сектору

Алынышдыр 8. IX 1981

T. R. Алиев

ПРЕДВАРИТЕЛЬНОЕ СООБЩЕНИЕ О ПОСЕЛЕНИИ РУСТЕПЕ

Статья посвящена поселению Рустепе Дивичинского района. На поверхности и склонах холма собрана небольшая коллекция керамики. В основном это фрагменты больших хозяйственных кувшинов с «веревчатым» орнаментом. Аналогичная керамика характерна для памятников Дагестана. Анализ керамики и визуальное обследование памятника позволяют датировать поселение Рустепе VII—IV вв. до н. э.

T. R. Aliyev

PRELIMINARY INFORMATION ABOUT RUSTEPE SETTLEMENT

The suggested article is devoted to the Rustepe settlement (Divichi district). On the surface and slopes of the hill the small collection of ceramics was gathered. On the whole these are fragments of economical pitchers with «cord ornament».

Analogous ceramics is typical for Daghestan memorials. The analysis of ceramics and visual investigation of memorials allow us to date the Rustepe settlement from VII-IV ages B. C.

МҮНДӘРИЧАТ

Ријазијат

- Ч. Е. Алланвердијев, А. Э. Бәширов. Идарәетмә вә интерполјасија мәсәләләрнин гошма олмасы һагында
В. Ш. Јусифов. Бикомпактларын һомеоморф ийкасларының јарымгруппалары
Н. Ш. Һүсәјнов, Ф. Э. Эскәров. Бүтүн ох үзәринде өз-өзүнә гошма олмајан иккичи тәртиб фәрг тәнили үчүн сәпилмә мәсәләси
Ч. И. Мәммәдханов, В. В. Салајев. Сингулјар интегралларын локал хүсусијәтләри

3

7

11

15

Механика

- Л. Х. Талыбы. Термоөзүлү пластиклигин дәјишиң јүклөмәдә мүнаси бәтләрнен даир

19

Јарымкечиричиләр физикасы

- К. М. Нифтіев, Б. Н. Тағыјев, С. А. Абушов. Ашгарлы GaS<Sn> монокристалларының фотокечиричилүүнин хүсусијәтләри

24

Јарымкечиричиләр вә диелектрикләр физикасы

- Е. Џ. Салајев, Э. Ш. Абдиев, К. Э. Эскәров, Ф. И. Мәммәдов, С. Сејидов. Сүр'әтли электрон дәстәси ила шүаландырылыш $n\text{-Cd}_{0.2}\text{Hg}_{0.8}\text{Te}$ монокристалларының еләктрик хассәләри

29

Електротехника

- Е. И. Һәсәнов. Информасион-олчу системләрнин дәгиглиүнин јүксәлдимәсү үчүн үмүмиләшdirilmény дифференциал-тестли алгоритм
В. И. Иванов-Омски, Р. Б. Рустемов, В. А. Смирнов, Ш. У. Йұлдашов. $\text{Cd}_x\text{Hg}=x$, әлагәли экситонда оптика доддурулмуш коherент шүаланмасы

32

36

Физики кимја

- А. Н. Абдуллајев, М. С. Һүсәјнова, Т. Д. Ибраһимов. CdHgCe-ун электрокимјији јолла алынмасы просесинин ријази модели
М. С. Саланов, Н. Ф. Мусајева, Р. С. Саланова, Е. Ш. Мәммәдов. Селендерхлоридин асetonда һаллолма просесинин кинетикасының полјарографик үсүлла тәдгиги

40

43

Ұзви кимја

- М. Э. Шәһкәлдијев, И. Э. Элијев, Е. А. Агајева. VI групп элементләрнин ароматик бирләшмәләрнен электрон еффектләри. Селенефирләрнен электродонор хассәләри
Ә. Б. Нәсиров, Б. З. Рзајев, Р. Џ. Гулијев. Стибium ұзви бирләшмеләр

47

51

Кеомеханика

- Ф. М. Бағырзадә, Р. Џ. Эмәизадә. Іералты газ анбарларының яранмасы вә истиスマры проблемләри һагында

53

89

Агрокимја

Ә. Н. Күләһмәдов, Н. А. Агаев, А. А. Хәлилов. Азәрбајҹан ССР (Кичик Гафгаз) Ханлар району шәраитинда јод вә селенин үзүмүн мәһсүлдарлығына вә кејфијјетине тә'сири 56

Биокимја

Е. Н. Новрузов, С. М. Асланов. Отвары кәндалашын јетишмиш мејвасинин кимјәви тәркибинин ба'зи көстәричиләри 61

Кенетика

К. М. Расизадә. F_1 вә F_2 екилопс-буғда һибридләринин ситокенетик анализ 66

Ботаника

В. С. Аббасова. Талыш гыжыларының кечиричи систем гурулушунда ихтиласлашма 72

М. Э. Гасымов. Құлхәтмидән алынан гырмызы бојагдан јејинти сәнајесиндә истифадә олунмасы 76

Тарих

З. Н. Бајрамов. Сәфәвиләр дәвләттінде даругә ва шәһәр идарә системинде рөлү 80

Археология

Т. Р. Әлијев. Рустәп јашајыш јери һагында илк мә'лumat 85

56

СОДЕРЖАНИЕ

Математика

Член. корр. АН Азәрб. ССР Дж. Э. Аллахвердиев, А. Э. Баширов. О двойственности между задачами управления и интерполяции 3

В. Ш. Юсуфов. Полугруппы гомеоморфных отображений бикомпактов 7

Г. Ш. Гусейнов, Ф. А. Аскеров. Задача рассеяния для несамосопряженного разностного уравнения второго порядка на оси 11

Дж. И. Мамедханов, В. В. Салаев. Локальные свойства сингулярных интегралов 15

Механика

Л. Х. Талыбыл. К соотношениям термо-вязкопластичности при циклических нагрузлениях 19

Физика полупроводников

Г. М. Нифтіев, С. А. Абушов, Б. Г. Тагиев. Особенности фотопроводимости легированных монокристаллов $\text{GaSe}\langle\text{Sn}\rangle$ 24

Физика полупроводников и диэлектриков

Член-корр. АН Азәрб. ССР Э. Ю. Салаев, А. Ш. Абдинов, К. А. Аскеров, Ф. И. Мамедов, Г. С. Сейдли. Электрические свойства облученных быстрыми электронами монокристаллов $n=\text{Cd}_x\text{Hg}_{1-x}\text{Te}$ 29

Электротехника

Ә. И. Гасанов. Обобщенный тестово-дифференциальный алгоритм повышения точности информационно-измерительных систем 32

Физика полупроводников и диэлектриков

В. И. Иванов-Омский, Р. Б. Рустамов, В. А. Смирнов, Ш. У. Юлдашев. Когерентное излучение с оптической накачкой в $\text{Cd}_x\text{Hg}_{1-x}\text{Te}$ на связанным экситоне 36

Физическая химия

А. Г. Абдуллаев, М. С. Гусейнова, Т. Д. Ибрагимов. Математическая модель процесса электрохимического осаждения CdHgTe 40

М. С. Салахов, Н. Ф. Мусаева, Р. С. Салахова, Э. Ш. Мамедов. Полярографическое исследование кинетики процесса растворения четыреххлористого селена в ацетоне 43

Органическая химия

М. А. Шахгельдинев, И. А. Алиев, Э. А. Агаева. Электронные эффекты в ароматических соединениях элементов VI группы. Электродонорные свойства сelenоэфириев 47

А. Б. Насиров, Б. З. Рзаев, Р. Ю. Кулев. Синтез фенил- и параметилфенилэтиленгликоловых эфириев стибовой кислоты 51

Геомеханика

Акад. АН Азәрб. ССР Ф. М. Багир-заде, Р. Ю. Амензаде. О проблемах создания и эксплуатации подземных хранилищ газа 53

91

Агрохимия

Член-корр. АН Азерб. ССР Н. Гюльахмедов, Н. А. Агаев, А. А. Халилова. Влияние йода и селена на урожай и качество винограда в условиях Канларского района (Малый Кавказ) Азербайджанской ССР	56
Биохимия	
Э. Н. Новрузов, С. М. Асланов. Некоторые данные о химическом составе зрелых плодов Бузины травянистой.	61
Генетика	
Г. М. Расизаде. Цитогенетический анализ эгипетского-пшеничного гибрида в F_1 и F_2	66
Ботаника	
В. С. Аббасова. К структурной специализации проводящей системы папоротников Талыша.	72
Прикладная ботаника	
М. А. Касумов. Красный краситель из шток-розы и его использование в пищевой промышленности.	76
История	
З. Х. Байрамов. Даруга в сефевидском государстве и роль его в системе городского управления.	80
Археология	
Т. Р. Алиев. Предварительное сообщение о поселении Рустапе.	85

Сдано в набор 04. 06. 84. Подписано к печати 08. 10. 84. ФГ 00733. Формат бумаги 70×100 $\frac{1}{16}$. Бумага типографская № 1. Гарнитура шрифта литературия. Печать высокая. Усл. лист 7,47. Усл. кр.-отт. 7,47. Уч. изд. лист 6,06. Тираж 607. Заказ 972. Цена 70 коп.

Издательство „Элм“. 370143 Баку-143, проспект Нариманова, 31, Академгородок, Главное здание Типография „Красный Восток“ Государственного комитета Азербайджанской ССР подразделением полиграфии и книжной торговли. Баку, ул. Ази Асланова, 80

9. Текст статьи печатается на белой бумаге через два интервала на одной стороне листа стандартного размера, с полями с левой стороны (не более 28 строк на одной странице по 58–60 знаков в строке). В тексте нельзя делать рукописные вставки и вклейки.

Статьи, напечатанные на портативной машинке, не принимаются.

10. Текст статьи должен быть изложен кратко, тщательно отредактирован и подписан авторами в печать. В математических статьях желательно избегать доказательств теорем, лемм и т. п. При использовании в тексте сокращенных названий (кроме общепринятых) необходимо давать их расшифровку.

11. Математические и химические формулы и символы в тексте должны быть вписаны четко. Следует избегать громоздких обозначений, применения, например, дробные показатели степени вместо радикалов, а также exp. Занумерованные формулы обязательно выключаются в красную строку, номер формулы ставится у правого края страницы. Желательно нумеровать лишь те формулы, на которые имеются ссылки. Подстрочные и надстрочные индексы и степени следует отмечать карандашом, дугами сверху и снизу:

$$k^n, \tau_n$$

Греческие буквы нужно обводить (в кружок) красным карандашом. Буквы готического шрифта и рукописные в рукописях не использовать, векторные величины — подчеркивать черным, буквы латинского рукописного шрифта следует отметить на полях (например, Н рукоп.).

Во избежание ошибок следует четко обозначать прописные (заглавные) и строчные буквы латинского алфавита, имеющие сходное начертание (Cc; Kk; Pp; Oo; Ss; Uu; Vv; и т. д.), буквы I(i) и J(j) букву I и римскую единицу I, а также арабскую цифру I и римскую I' (вертикальная черта), I и штрих в индексах, I (латинское эль) и e. Прописные буквы подчеркивают карандашом двумя черточками снизу (C), а строчные — сверху (c).

Следует избегать знаков типа ~ (волна), ⊖, ⊕, ⊗: □ ⊖, ⊕, ⊗

(крышки) над и под буквами, а также знаков:

$$\mathbb{h} \times \underline{\epsilon}, \oint \oint, \oint, \oint$$

Латинские названия вписываются на машинке.

Слова «теорема», «лемма», «следствие», «определение», «замечание» и т. п. следует подчеркивать штриховой чертой, а текст утверждений типа теорем — волнистой чертой (исключая математические символы).

При выборе единиц измерения рекомендуется придерживаться международной системы единиц СИ.

12. При описании методики исследования следует ограничиваться оригинальной ее частью. При элементном анализе приводить только усредненные данные.

13. Необходимо тщательно проверить написание местных географических названий.

14. Цитированная литература проводится общим списком на отдельной странице: ссылки в тексте даются порядковым номером в круглых скобках над строкой (например, 1). Список литературы оформляется следующим образом:

для книг: инициалы и фамилии авторов, полное название книги, место и год издания;

для журнальных статей: инициалы и фамилии авторов, название журнала, номер тома, номер выпуска, страница и год издания.

Ссылки на неопубликованные работы не допускаются.

15. Все статьи должны иметь резюме на английском языке, кроме того статьи написанные на русском и азербайджанском языках должны иметь резюме на азербайджанском и на русском соответственно.

Публикация статьи в «Докладах» не препятствует напечатанию расширенного ее варианта в другом периодическом издании.